

No.32

# 土と岩

昭和59年春季号

中部地質調査業協会



中央自動車道 大月インターチェンジ

# 21世紀にかけて名古屋港をとりまく 大型プロジェクトについて

## 卷頭言

21世紀にかけて名古屋港をとりまく大型プロジェクトについて ..... 原 口 好 郎 ..... 1

挨 拶 ..... 古 長 孟 彦 ..... 3

東海地震と震害、防災の問題について ..... 飯 田 汲 事 ..... 5

ました。明治40年には開港場の指定をうけたこととなり、以後に名港として現在の名古屋港と改称土に学んで30余年 ..... 植 下 協 ..... 23

された。今後の課題は、外洋の開拓とさることにして

名古屋東部地域の洪積粘性土の工学的性質 ..... 堀 内 孝 英 ..... 27

らうその障害を乗り越え、現在では世界有数の港積みの総合港湾へと躍進するに至りました。

第四紀 ..... 開 出 尚 文 ..... 34

施設の建設はドリル全打用土工機械で、これが運搬船の荷役をもたらす。施設・構造物と並んで名実

ともに我が国の代表的国際港としての地位を確立し、昭和58年度の輸出額は、1億300万トン、

ルジオン試験をふりかえって ..... 平 本 弘 宏 ..... 51

ります。過去4年間の実例よりー

我が国の経済も、低速化時代を度々、信頼の供給源が求められるようになりました。日、名古屋ふるさと山陰 ..... 妹 尾 俊 美 ..... 56

港が中部圏の物流として、新規拠点の開拓、特に多目的港としての開拓の事実で

昭和58年度技術研修会（巡検）開催（産業基盤）構造化されなくてはならないので、長期的視

点から見て、今後も積極的に推進していかなければと思われます。

巡検について ..... 阿 部 貞 雄 ..... 58

また、当面は依然として本格的な施設内での構造工法における構造の多様化が進むこと

巡検に参加して ..... 伊 藤 孝 ..... 59

に対するきめ細やかな指導の体制づくりも特に大切でありますので、今、この問題について具体的に

巡 檢 所 感 ..... 伊 藤 恒 雄 ..... 66

述べてみます。

（1） 流通機能の強化

流通の合理化につき、量的に質的に多様化した拠点が整えられ、特に貨物が便でもコ

ンテナ化される傾向にあるため、ますます専門的施設の開拓も、施設のコンテナ化の多様化に

写真提供 玉野総合コンサルタント株

伴い、既存施設の再開拓をする必要があります。

（2） アクセス道路と新交通システム

港湾の背後地域またはその周辺の住民、生活、文化の諸活動は、常に街路網と交通網によ

って結ばれ、特に大量の各種貨物を集散する港湾では、陸上と海上の交通網の整備

が不可欠で、貨物はすべてコンテナ化するので、荷役は高規格の高速自動車道路交通に依存する

# 21世紀にかけて名古屋港をとりまく

## 大型プロジェクトについて



名古屋市 (6)

名古屋港管理組合

副管理者 原 口 好 郎

名古屋港の発祥の地は、現在の熱田神宮の南にあった熱田の浜で、当時は熱田港と呼ばれていました。明治40年には開港場の指定を受けることとなり、同時に名称も、現在の名古屋港と改称されその当時の貨物取扱量は、わずか100万トン余でした。

以来、太平洋戦争による壊滅的な打撃や、伊勢湾台風をはじめとする幾多の困難に遭遇しながらもその障害を乗り越え、現在では世界有数の規模を誇る総合港湾に成長しました。

昭和57年には欧州・コロンボ・中国航路が新たに開設され、特に名古屋港の念願であった欧州航路の開設により、全世界の主要港とのコンテナ航路網が完成され、神戸・横浜港と並んで名実ともに我が国代表的国際港としての地位を確立し、昭和57年の取扱貨物量は、1億300万トン、過去昭和52年の1億トンの大台に達して以来、貨物量では世界の貿易港の中で第6位の水準あります。

我が国の経済も、低成長時代を迎え、従来のような急速な伸展を望めなくなった今日、名古屋港が中部圏の表玄関として、背後地域の産業活動に多大な貢献をしていますことは周知の事実で、今後ともその役割は益々重く産業基盤は一層強化されなくてはならないので、長期的視点に立ち21世紀を指向した新しいプロジェクトを積極的に推進する必要があると思われます。

また、当面は、依然として不確実性の強い内外の情勢下にあって、海運環境の多様な質的变化に対応できる名古屋港の体質づくりも特に大切でありますので、2・3の方策について具体的に述べてみます。

### (1) 流通機能の強化

物質流通の合理化をめざし、量的に質的に多様化した対応が望されます。特に貨物が何でもコンテナ化される傾向にあるためコンテナ専用の施設の増強と、最近のフルコンテナ船の大型化に伴い一部既存施設の再開発をする必要があります。

### (2) アクセス道路と新交通システム

港湾の背後地域またはその都市の産業・経済・文化の諸活動は港に直結する情報網と交通網によって伝達され、特に大量の各種貨物を集散する港湾では背後地域に直結する陸上交通網の整備が不可欠で、貨物はすべてコンテナ化するので、将来は高規格の高速自動車道路交通に依存する

ことが予想されます。

名古屋港では、名古屋環状2号線・名神・東名自動車道アクセス・東海北陸自動車道アクセス・伊勢湾岸道（第2名四国道）アクセスの各道路が重要なものであります。更に臨港地区에서는、以上のアクセス道路の他に、港が働きやすく、親しまれる港湾環境を整えるために人の流動のための効率のよい快適な新しい交通システムが必要となります。

### (3) 市民に親しまれる港づくり

近代都市では港湾が都市機能の重要な部分を占めるようになって、市民の要求は多様化しており、都市機能を積極的に受入れていく必要が高まっています。市民の要求は臨海性のレジャー施設だけでなく、既成市街地で求め難い緑地や、運動施設等の要請があるほか、廃棄物処理用地、市街地再開発用地等、広汎な都市問題の解決が求められています。

### (4) 文化港湾都市づくり

多様な都市問題と調和させながら港湾の特性をもたらした文化都市づくりが将来の港湾に望まれ、ロマンのみならず街づくりとして都市計画事業と港湾の再開発事業を一体的に進める気運がおきつづります。特色としては、国際豪華客船埠頭の整備をはじめとして、市民や一般外来者の海事思想の普及と海事情報網の確立のため、現在建設中のポートビルの中に国際情報センター・海洋博物館等の整備を企画しております。

### (5) 新しいエネルギーの基地の受入れ

エネルギー問題は港湾に課せられた使命で、都市ガス・電力等の需要にこたえていくものであり、近年のエネルギー事情を踏え、脱石油とクリーンエネルギーの長期に亘って安定供給ができるLNG等の受入基地を積極的に準備する必要があります。

### (6) 新しい産業の誘致に必要な土地造成

背後地の新しい重要と貿易構造にこたえて、従来の臨海性工業の他にエレクトロニクス・メカトロニクス・ニューセラミックス・冷熱食品飼料産業等の誘致が必要となります。

### (7) 伊勢湾諸港一体化の中心としての名古屋港

名古屋大都市圏の国際化が進むことによって伊勢湾内の港湾都市は、夫々に特化される傾向にあります。伊勢湾港としての広域港湾機能を高めるために相互の港を連絡する高規格のポートハイウェイを整備する必要があり、また、湾内における航行管制の一元的システム化、危険物取扱施設の集約化、大穀物基地の整備等が新世紀にかけて望まれ、更に進んで伊勢湾港の管理母体の一体化は、今後の大きな課題であります。

以上、名古屋の21世紀への対応について述べましたが、伊勢湾の中核港として著しい躍進を続けていた名古屋港は、今後とも不断の開発を進めることにより中部圏の産業経済のゆるぎない発展に大きく貢献できるものと信じております。

# 挨拶



中部地質調査業協会

理事長 古長孟彦

1 昨年10月20日に挙行されました全地連創立20周年記念事業の記念誌の中表紙には「大地があり、そこに地質調査がある」の一句が用いられております。日の出直後のオレンジ色の太陽の下に、マッターホルンおよびその周辺の山々が映し出された美しいカラー写真の中に組み込まれておりますこの一句は、それが美しい写真とともに用いられているからという単純な理由ではなく、業界をとりまく昨今の厳しい環境下で四苦八苦している今の我々に、何かを考えさせる程の重みのある一句として、私の心に強く残っております。

オイルクライシスに端を発した経済活動の停滞が始ってから10年近くになりますが、この間全国ベースによります地質調査事業量の対前年度伸び率は、昭和52年度～昭和55年度は15～16%台でしたが、昭和56年度は4.8%、昭和57年度に至っては0.8%とほぼゼロ成長へと急激に落ち込んでおります。昭和58年度も恐らく前年度の実績に近い伸び率に留まるものと見込まれますし、ここ数年はこのような状況が続くものと判断する方が妥当なようです。大部分の会員各社は高度経済成長期を経験されており、その人員・設備体制等のいわゆる企業体質は、2ケタの事業量の伸び率を期待したものとして作り上げられていることでしょうから、適切な対策をタイミング良く打たない限り、ゼロ成長は今以上に会社の経営を圧迫し、場合によってはその存続をも脅やかすことになりかねません。

「適切な対策」と一口で云いましても、その意とするところは企業の業績に大きな影響を及ぼすものですから、経営実態の異なる各社間では同一の対策でもその解釈は異なるのが当然であります。実際の適用に当っては自社に十分マッチした内容にしなければならないことは云うまでもありません。むしろ大切なことは、ゼロ成長期における我々の業種に、何が適切な対策となり得るかを十分な情報に基づいて見極めることではないでしょうか。目先の受注に必死になり、採算を無視した不当な価格で競争するなどは、地質調査業の長期にわたる健全な発展を根底から崩すことにもなりかねないので厳に慎しんでいただきたいことは云うまでもありません。

さて、「適切な対策」には各社が独自に実施できるもの、あるいはその方が合理的である場合と、協会を通じて実施した方が良い場合の二種類があるようと考えられます。前者に対しては、企業体質の見直し、社会のニーズを見極めた新技術の開発・導入および技術者の育成、業務分野の拡大などが対策として考えられ、後者に対しては協会内部に設けられた4常設委員会を通じての、発注者に対する陳情活動（事業量の確保、指名業者数の是正、専門業者の活動、分離発注の

徹底等)、技術の開発と向上に関する研究、広報活動関連学会・関連協会への協力と提携などが  
あります。

設立以来20有余年を経てきた協会は、これまでに経験したことのない、経済環境に直面し、今こそその真価が問われる責任重大な状況下に置かれているわけでありますが、このような時こそ叡知を結集しての協会運営が大切なことは申すまでもありません。このような難局に適切な対策がタイミング良く打出される限り、我々業界の中に「大地があり、そこに地質調査がある」の一句は永遠に生きつづけるであろうことを私は確信しております。反面、この厳しい時期に、理事長の大役をお受けし、今更ながらに身の引き締る思いをしておりますが、これまでにはぐくまれてきた協会の社会的地位をより高めるべく努力する所存ですので、協会員皆様の一層の御協力、御支援をお願いいたします。

# 東海地震と震害、防災の問題について

名古屋大学名誉教授  
愛知工業大学教授

飯田汲事

## 1 まえがき

わが国は、世界陸地のわずか 0.249 % を占めるに過ぎないが、世界に発生する全地震の 10 ~ 15 % を受けもつ地震国である。一口に地震といっても大小さまざまな地震があるが、規模 (マグニチュード) M が 7 以上の大地震だけをとると 1900 ~ 1981 年の 82 年間では世界の約 20 % にも達している。このような地震事情のもとで世界のどの国よりも大きな頻度で繰り返し発生する地震からは、逃れることができ難いであろう。

最近数年間においても、M 7 以上の大地震が 4 回発生している。1978 年の伊豆大島近海地震、宮城県沖地震、1982 年の浦河沖地震、1983 年の日本海中部地震にみられるように、いずれも特徴ある地震災害を生じている。災害は忘れないうちに起り、われわれの地震対策に挑戦しているかのようである。1976 年に駿河湾大地震 (東海大地震) 説が発表されてからすでに 7 年を経過した。この間 1978 年 6 月 15 日大規模地震対策特別措置法が公布された。これは、この東海大地震発生の可能性を前提に、巨大地震発生が予想される地域を対象として、事前にとるべきいろいろな措置を取り決めたものである。この措置法により、地震予知計画実用化の推進がはかられ、また 1979 年 8 月 7 日地震防災強化地域の指定も行われ、静岡県を中心に神奈川・山梨・長野・愛知・岐阜など 6 県 170 市町村がその対象となった。これらの市町村が東海地震が発生したときは震度 6 以上となることが予想されるので、地震防災対策の強化が必要であると推定されたのである。

以上のような大地震発生の可能性が東海地方で

叫ばれている現状からみて、既往の東海地方の大震の活動や地震災害の特徴などを回想し、防災上の問題点をさぐることも有意義と思われる所以、それらについて述べようと思う。

## 2 被害地震の分析

わが国の被害を伴った地震は、推古 7 年 4 月 27 日 (西暦 599 年 5 月 28 日) 以来昭和 57 年 (1982 年)までの 1384 年間に約 630 回を数える。このマグニチュード M 7 以上の大地震は 159 回ある。M 8 以上の巨大地震は 26 回となっている。これらの地震数の時代的変遷を表 1 に示した。この表からわかるように時代とともに被害地震の活動はちがい、江戸時代は 199 回と最も多いが、265 年も続いたので、平均年間の発生回数にすると 0.75 回となり、大正時代の平均年間 3.9 回、昭和時代では 57 年までの平均年回数は 3.3 回となるので大正時代は最も活動が盛んであったとも言えよう。なお過去に政治の中心であった京都や鎌倉での被害地震をみると、明治以降その活動はみられない。京都では文政 13 年 (天保 1 年) 7 月 2 日 (1830 年 8 月 19 日) の地震以後 152 年間は被害地震が発生していない。また鎌倉では元禄 10 年 10 月 12 日 (1697 年 11 月 25 日) 以後 285 年間鎌倉の地震として知られた被害地震はない。1923 年の関東地震では鎌倉でも被害は出たが、前記の被害地震はこの種のものではなく、その規模が 1 階級以上も低いものと考えられる地震である。朝鮮半島における地震は表 1 には含まれていないが、そこでは 1727 年 6 月 20 日 (享保 12 年 5 月 2 日) 以降 255 年間被害地震は発生していない。

表1 時代の変遷による被害地震数と巨大地震

西暦年 代	時代	被害地震数		大 地 震 数			地震 M 8 以上 の名称、年		
		京	都	M 7 ~ 8	M 8 以上	合計			
500 - 710	飛 鳥	1	0	0	4 (0.019)	2	1	3	天武 3. 10. 14 (684. 11. 29) M 8.4 南海
710 - 794	奈 良	1	0	0	5 (0.059)	3	0	3	貞觀 11. 526 (869. 7. 13) M 8.6 三陸
794 - 1192	平 安	13	0	0	36 (0.090)	12	4	16	仁和 3. 7. 30 (887. 7. 26) M 8.6 南海
1192 - 1333	鎌 倉	2	6	0	9 (0.064)	4	0	—	嘉保 3 (承長 1) 11. 24 (1096. 12. 17) M 8.2 東海
1333 - 1573	室 町	7	2	0	25 (0.104)	5	2	7	承徳 3 (康和 1) 1. 24 (1099. 2. 22) M 8.2 南海
1573 - 1603	安土桃山	1	0	1	7 (0.233)	1	1	2	天正 13. 11. 29 (1586. 1. 18) M 8.2 東海道 (尾勢)
1603 - 1868	江 戸	6	1	15	199 (0.751)	36	10	46	慶長 9. 12. 16 (1605. 2. 3) M 8.0 東海道
									慶長 9. 12. 16 (1605. 2. 3) M 8.1 南海道
									慶長 16. 10. 28 (1611. 12. 2) M 8.1 三陸
									延宝 5. 3. 12 (1677. 4. 13) M 8.1 三陸
									元禄 16. 9. 23 (1703. 12. 31) M 8.2 房総
									宝永 4. 10. 4 (1707. 10. 28) M 8.3 東海道
									宝永 4. 10. 4 (1707. 10. 28) M 8.4 南海
									天保 14. 3. 26 (1843. 4. 25) M 8.4 根室沖
									嘉永 7 (安政 1) 11.4 (1854. 12. 23) M 8.3 東海
									嘉永 7 (安政 1) 11.5 (1854. 12. 24) M 8.4 南海
1868 - 1912	明 治	0	0	6	109 (2.477)	23	2	25	嘉永 7 (安政 1) 11.5 (1854. 12. 24) M 8.4 南海
1912 - 1926	大 正	0	0	3	55 (3.929)	7	0	7	明治 24 (1891) 10. 28 M 8.1 濃尾
1926 - 1945	昭 和	0	0	1	183 (3.268)	40	6	46	明治 44 (1911) 6. 15 M 8.0 沖縄
1945 - 1982	昭 和	31	9	26	632 (133)	133	26	159	昭和 8 (1933) 3. 3 M 8.3 三陸
500 - 1982	ま で								昭和 19 (1944) 12. 7 M 8.0 東海道

1933年6月20日(昭和18年6月20日)付第256号

主務官は震災害時開示

被害地震と一率に言っても被害の程度はさまざまであるので、死者数及び家屋全壊数を対象として被害規模を示すと表2のようになる。死者数及び家屋全壊数を表2のように分類し、明治以前と以後に分けて示すと、被害地震の大多数は死者数10人以内、家屋全壊数10戸以内に属し、最大死者数である10万人以上となると2回となり、最大家屋全壊数も同じく2回となっている。これらは死者数の方では大火災を発生した1855年安政地震と1923年関東地震であり、家屋全壊数では1891年濃尾地震と1923年関東地震である。なお、表2に示すように、死者1,000～5,000人における地震回数は明治以前に13回、明治以後に7回計20回と多い回数を示すことが注目されるし、家屋全壊数500～1,000戸の場合にもやや地震回数が多く、全体で23回を数えている。家屋全壊の場合でも1,000～5,000戸の回数が明治以前でやや多くなっている。このように1,000人以上の死者、1,000戸以上の全壊家屋を生じた大規模地震は、1384年間で33～34回程度であり、平均すると45～46年に一回くらいの割合となっている。10万人以上の死者、10万戸以上の全壊家屋を生じた地震は平均数百年に1回くらいの割合で、めったに起こるものではないが、高度に近代化された現代の

社会環境においてひとたび大地震が発生した場合には、その震害は計り知れないものになるのではないかと懸念される。

次に、地震被害が時代の推移とともにどう変化するかをみてみよう。死者数や全壊家屋数の記録が多数などの表現では詳しいことは不明であり、年代とともに資料の記録も整ってきていているが、1650年ごろからでもまだ不備を免れない。しかし一応この年から30年ごとに区切り、死者数、全壊家屋数、半壊家屋数、負傷者数を求める表3のようになる。

表3をみると、同じ期間30年においても死者数・全壊家屋数等がかなりちがい、多い期間と少ない期間があり、大規模被害地震がある期間では数が多くなっている。1707年の宝永地震、1792年の温泉岳噴火地震、1854年東海・南海の両安政地震、1855年の江戸地震、1891年の濃尾地震、1923年の関東地震等大きな被害のあった地震を含む期間では前記被害数が多いのは当然といえるが、その被害数が比較的に少ない場合においても1950年以前では、負傷者対死者及び家屋の半壊数対全壊数の比はいずれも1に近いか1以下である。しかし1950年以後では死者数は減少し、負傷者は多くなり、また全壊数が減り、半壊数が

表2 死者及び家屋全壊数の等級別地震回数

死 者 数	地 震 回 数	合 計	家屋全壊数	地 震 回 数	合 計
(人)	1867年(明治)以前	1868年以後	(戸)	1868年(明治)以前	1868年以後
0—10	148	310	458	0—10	190
10—100	20	21	41	10—100	292
100—500	7	3	10	100—500	482
500—1,000	6	3	9	500—1,000	33
1,000—5,000	13	7	20	1,000—5,000	18
5,000—1万	6	1	7	5,000—1万	23
1万—5万	4	1	5	1万—5万	9
5万—10万	0	0	0	5万—10万	10
10万以上	1	1	2	10万以上	2
多 数	22	0	22	多 数	36
不 明	58	0	58		
計	285	347	632	計	285
					347
					632

表3 時代の変遷に伴う被害

年間隔	死者	負傷者	全壊家屋	半壊家屋	負傷者 死者	半壊 全壊
1650 - 1679	2,875	-	10,243	-	-	-
1680 - 1709	35,891	198 *	71,636 *	4,869 *	0.006 *	0.068 *
1710 - 1739	1,160 *	-	4,008 *	459 *	-	0.115 *
1740 - 1769	5,275 *	-	14,922 *	-	-	-
1770 - 1799	24,604	1,531 *	10,551	261 *	0.053 *	0.025 *
1800 - 1829	2,100	2,304	23,066	8,918 *	1.097	0.386 *
1830 - 1859	147,989	10,368	116,035	10,937 *	0.070	0.094 *
全 1860 - 1889	830	857	6,008	6,126	1.032	1.020
1890 - 1919	35,480	29,268	195,347	137,439	0.825	0.704
1920 - 1949	159,485	147,215	725,310	268,364	0.923	0.370
1950 - 1982	393	13,159	9,493	23,136	33.483	2.437

\* 資料不備

増した結果、負傷者対死者の比は 33.5、半壊数対全壊数の比は 2.4 といずれも 1950 年以前の場合に比べて大きく、殊に死者よりも負傷者の数が圧倒的に大きくなっている。これは建物の耐震・耐火性が増大した効果が現われ、全壊数が減じ死者数も減じたが、室内家具の移動・転倒・飛散などのほか窓ガラス破壊や落下、屋外落下物、ストーブ・湯沸器転倒その他により負傷者（火傷を含む）が多くなったことによるものと思われる。なお大規模地震の発生もなかったことにもよるであろう。

わが国の現在までの地震被害のうちで、1855 年の安政地震及び 1923 年の関東地震の火災によるものが最も大きいことは前に述べたが、これらの二つの地震の死者数・家屋全壊数総計はいずれもわが国全地震による死者数・家屋全壊数の約 51 % を占めている。ここで判明分の全死者数は約 53 万人、全壊家屋総数は約 123 万戸と推算される。総体的にみると津波による全死者数は約 18 万人で、家屋倒壊・流失総数もほぼ同様であるから、陸域の地震全体の死者数や全壊家屋数の方がはるかに多い数となっている。海域地震の津波による全死者数は陸域地震の全死者数の約 50 % であり、全壊

戸数の場合は、津波による流失家屋を含んだもので陸域における全壊家屋数総数の約 17 % となっている。

### 3 東海地方の大規模被害地震

愛知・岐阜・三重・静岡の東海地方の 4 県に被害を及ぼした地震を表 1 から選ぶと 1982 年までに約 75 回となる。これらの地震の大部分は震度 5 の強震以上であるが、震度 6 の烈震以上のものは 28 回くらいと少なくなる。したがって、東海の 4 県のいずれかに被害がでるような地震は平均して約 19 年に 1 回くらい起こる割合となっているが、家屋が 30 % 以上も倒れるような震度 7 の激震となるところができる地震は 11 回くらいであるから、約 115 年に 1 回くらいの割合となっている。これらの大被害を出した地震は

745 年 6 月 5 日	天平美濃地震
1096 年 12 月 17 日	永長東海地震 *
1498 年 9 月 20 日	明応地震 *
1586 年 1 月 18 日	天正地震 *
1707 年 10 月 28 日	宝永東海地震 *
1854 年 7 月 9 日	安政伊賀地震
1854 年 12 月 23 日	安政東海地震 *

1891年10月28日 濃尾地震\*

1930年11月26日 北伊豆地震<sup>1)</sup>

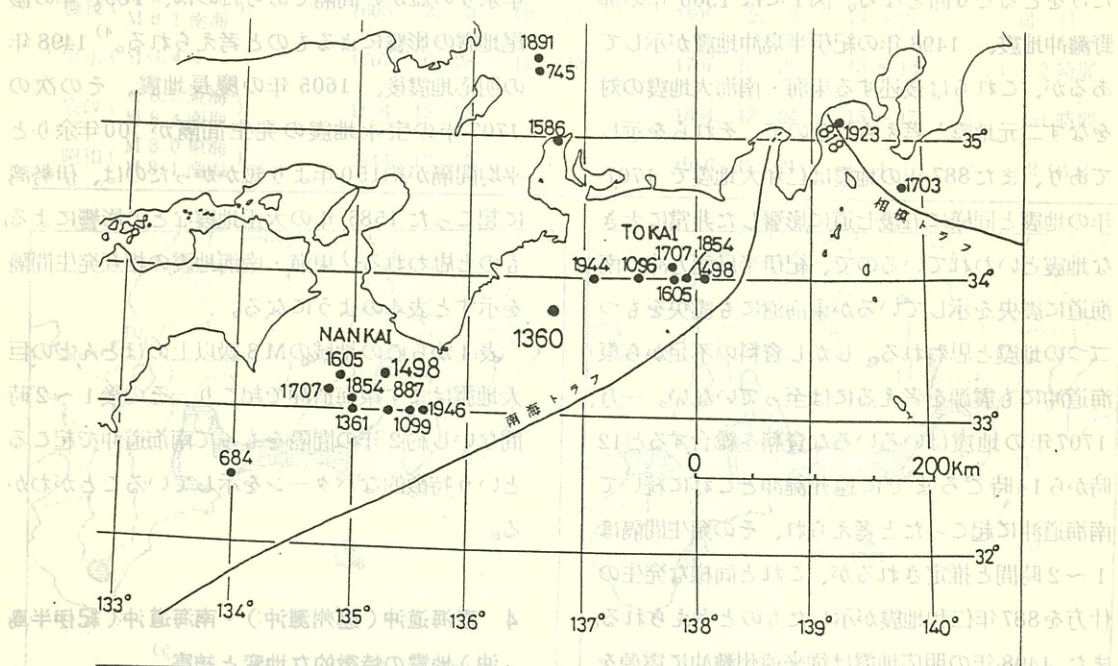
1944年12月7日 東南海地震\*

1945年1月13日 三河地震<sup>2)</sup>

であるが、これらの地震のうち1県のみでなく広域に被害を及ぼした地震は\*印の7回となる。これらはマグニチュードMは8級である。近

年発生が叫ばれている東海地震はこれら広域に被害を及ぼす地震クラスと考えられている。

東海地方における大規模被害地震は以上の通りであるが、マグニチュードM8級の地震の震央を示すと図1のようになる。この図には南海道沖に発生した地震の震央をも示してある。表1に示したM8以上の地震は26回あるが、そのうち東海道



	NANKAI	TOKAI	NOBI	KANTO
1360				
1361	(264)			
1360		(138)		
1498	(138)			
1498		(147)		
1605	(107)			
1605		(102)		
1707	(102)			
1707		(101)		
1854	(147)			
1854		(90)		
1946	(90)			
684	(203)			
887	(209)			
1099	(264)			
1099	(209)			
1498	(138)			
1605	(107)			
1707	(102)			
1854	(147)			
1946	(90)			
1360		(138)		
1361	(264)			
1498	(138)			
1605	(107)			
1707	(102)			
1854	(147)			
1946	(90)			
684	(203)			
887	(209)			
1099	(264)			
1498	(138)			
1605	(107)			
1707	(102)			
1854	(147)			
1946	(90)			

図1 東海道・南海道大地震の震央分布と地震発生間隔

及びその沖に発生した地震は9回、南海道沖発生の地震は8回あり、両者を併せて17回（全体の65.4%）となっている。したがって、巨大地震の多くは東海道・南海道で起こっていることになる。東海道及びその冲合で発生した9回の地震のうち1586年天正地震及び1891年濃尾地震、1703年元禄地震を除いた南海トラフ沿いの遠州灘の地震だけをとると6回となる。図1には1360年の熊野灘沖地震、1498年の紀伊半島沖地震が示してあるが、これらは後述する東海・南海大地震の対をなす二元地震と考えられるので、それらを示してあり、また887年の地震は仁和大地震で1707年の地震と同様に五畿七道に影響した非常に大きな地震といわれているので、紀伊半島南方沖の南海道に震央を示しているが東海道にも震央をもつ二つの地震と思われる。しかし資料の不足から東海道沖にも震源を考えるには至っていない。一方、1707年の地震はいろいろな資料を総合すると12時から14時ごろまでに遠州灘沖とこれに続いて南海道沖に起こったと考えられ、その発生間隔は1~2時間と推定されるが、これと同様な発生の仕方を887年仁和地震が示したものと考えられる。また1498年の明応地震は從来遠州灘沖に震源をもつ地震と考えられていたが、この地震史料に記載される震害のうち熊野本宮・湯の峯温泉の停止、新宮・本宮付近の建物被害は南海道地震に特有なものであり、また津波の高さが和歌山県広川で10m、湊で6m以上にも達し<sup>3)</sup>遠州灘沖の地震ではこれらの地域にそれ程大きな波高の津波が到達するとは考えにくいことから、紀伊半島沖にも地震の発生があったと考えると、東海・南海地震が同時に発生したものと思われる所以、その震央を紀伊半島沖にも示したのである。ただこの地震の四国沿岸における影響が記録にないので地震規模が8級のものではなく、7級の地震であったのではないかと考えられる。こうして東海道・南海道沖大地震の対をなす二元地震は8組となる。これら

地震の発生年と発生間隔年（印）を示したのが図1下段である。東海または南海での大地震間隔の長いのは、東海で264年、南海で262年、間隔の短いのは東海で90年、南海で92年となっている。平均すると、東海で151年、南海で157.8年となる。1854年の安政地震後、1944年の東南海地震、1946年の南海地震の発生がいずれも90年余りの短かい間隔であったのは、1891年の濃尾地震の影響によるものと考えられる。<sup>4)</sup> 1498年の明応地震後、1605年の慶長地震、その次の1707年の宝永地震の発生間隔が100年余りと平均間隔が約150年より短かかったのは、伊勢湾に起きた1586年の天正地震などの影響によるものと思われる。<sup>5)</sup> 東海・南海地震の相互発生間隔を示すと表4のようになる。

表4からこの地域のM8級以上のほとんどの巨大地震はまず東海道沖で起こり、その後1~2時間ないし約2年の間隔をもって南海道沖で起こるという特徴的なパターンを示していることがわかる。

#### 4 東海道沖（遠州灘沖）・南海道沖（紀伊半島沖）地震の特徴的な地変と被害<sup>5)</sup>

南海トラフ沿いの巨大地震には発生パターンのほか地変や被害にも類似性がみられるのである。それらを述べておく。

東海道沖大地震の場合を図2に例示した。

##### (1) 地変

a) 東海道沖特に遠州灘沖の大地震 1498年・1605年・1707年・1854年・1944年の東海地震に共通な地変には次のものがある。

土地隆起(+) 御前崎から掛川付近、遠州灘沿岸横須賀付近

土地沈降(-) 伊勢湾北岸・西岸、浜名湖付近、清水付近（安政東海地震では+）

液状化現象 伊勢湾臨海域、浜名湖付近、天竜川

・菊川・太田川等下流域

表4 東海道—南海道で対をなす二元地震の発生間隔時間

震名	東海道沖	南海道沖	東海→南海間隔
年月日時	年月日時	年月日時	
仁和(M 8.6)	887. 8. 26 16	887. 8. 26 16	同日
永長(M 8.2)	1096. 2. 22 7～9	1099. 2. 22 5～7	2.17年
正平(M 7.0 東海)	1360. 11. 23 0	1361. 8. 3 3～5	0.71年
M 8.4 南海			
明応(M 8.3 東海)	1498. 9. 20 7～9	1498. 9. 20 7～9	同日
M 7.5 南海			
慶長(M 8.0 東海)	1605. 2. 3 19～21	1605. 2. 3 19～21	同日
M 8.1 南海			
宝永(M 8.4)	1707. 10. 28 12～13	1707. 10. 28 13～14	1～2時間
安政(M 8.3 東海)	1854. 12. 23 上第9	1854. 12. 24 15～17	31時間
M 8.4 南海			
昭和(M 8.0 東海)	1944. 12. 7 13	1946. 12. 21 4	2.04年
M 8.1 南海			

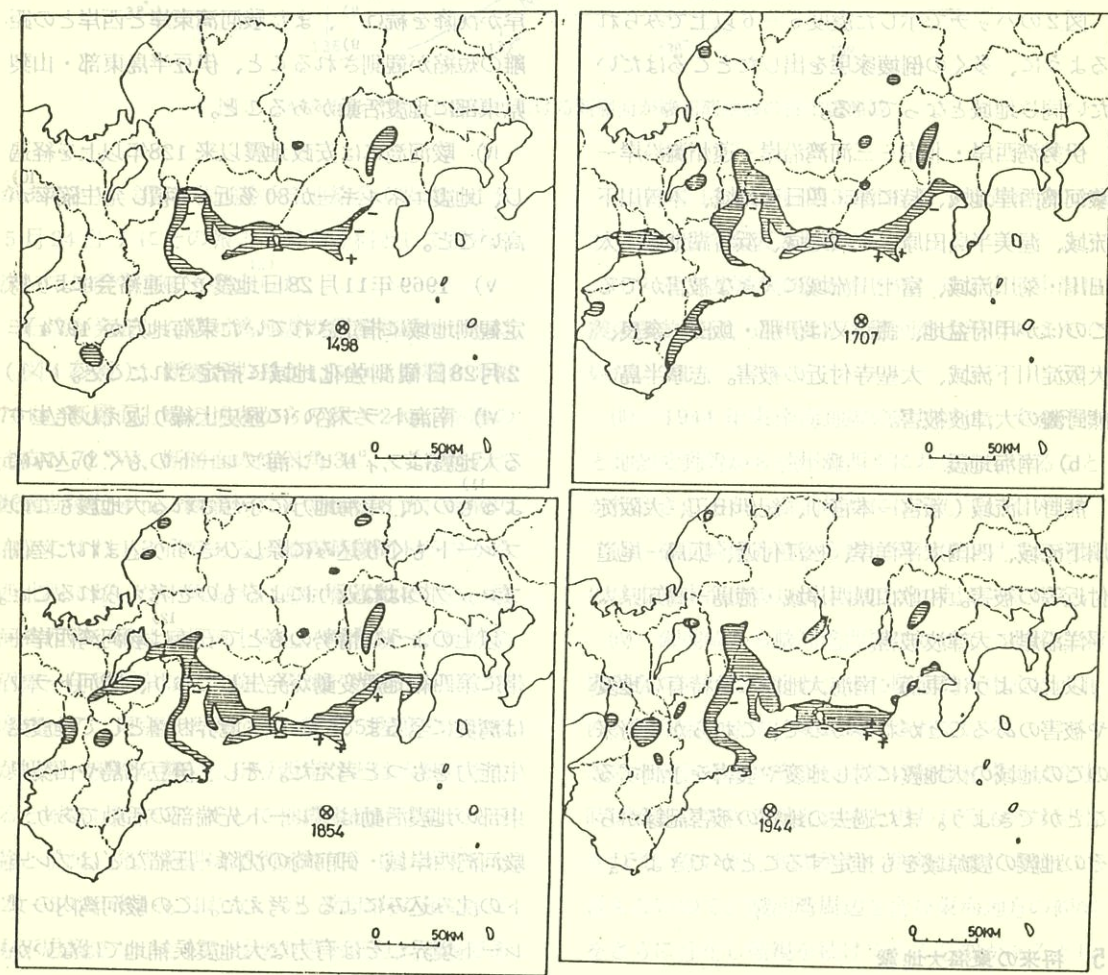


図2 遠州灘沖の東海地震(応明1498年)、宝永(1707年)、安政(1854年)、東南海(1944年)の震度5～6以上の地域と地変(隆起+、沈降-)域分布

## 海底変動 熊野灘・遠州灘

b) 南海道沖大地震、1361年・1408年・1498年・1520年・1707年・1854年・1946年の地震に共通な地変には次のものがある。

土地隆起(+) 室戸岬付近、潮岬付近

土地沈降(-) 高知付近、甲浦付近

液状化現象 吉野川・奈半利川・紀ノ川・淀川等下流域

温泉変化 熊野本宮・湯ノ峯・瀬戸鉛山(白浜)等の温泉湧出停止または減少

海底変動 紀伊半島南西海底—四国太平洋海底

### ② 被害

#### a) 遠州灘地震(東海地震)

図2のハッチで示した震度5—6以上でみられるように、多くの倒壊家屋を出したところはだいたい同じ地域となっている。

伊勢湾西岸・北岸—三河湾沿岸—遠州灘沿岸—駿河湾西岸地域、特に津・四日市地域、木曽川下流域、渥美半島田原・野田地域、浜名湖地域、太田川・菊川流域、富士川流域に大きな被害がでる。このほか甲府盆地、諏訪又は伊那・飯田、奈良、大阪淀川下流域、大聖寺付近の被害。志摩半島・熊野灘の大津波被害。

#### b) 南海地震

熊野川流域(新宮一本宮)、紀伊田辺、大阪淀川下流域、四国太平洋岸、松江付近、広島—尾道付近等の被害。和歌山県西岸域・徳島—高知県太平洋沿岸に大津波被害。

以上のように東海・南海大地震には特有な地変や被害のあることがわかるので、これらから将来のこの地域の大地震に対し地変や震害を予測することができよう。また過去の地震の被害記録からその地震の震源域をも推定することができよう。

## 5 将來の東海大地震

(1) 現在発生の可能性が論じられている東海大地震(駿河湾地震)

まず、この地震が提唱された背景をみてみよう。

i) 東海沖には大地震が繰り返えし起こっていること、その間隔は大体100—200年であること。

ii) 1854年の安政地震の震源域は駿河湾内部にまで及んでいる。<sup>6)</sup> この安政地震後に起きた1944年の東南海地震の震源域は浜名湖付近の南方沖まであって遠州灘東部・駿河湾には及んでいない<sup>7)</sup>。したがって駿河湾からその南部の遠州灘には地震の原因になるひずみエネルギーが残っているので、近いうちに駿河湾に大地震が起こると考えられること(図3 Aの領域参照)。

iii) 伊豆半島から遠州灘沿岸一帯にかけて最近60年間内陸に向って圧縮運動があり、駿河湾沿岸が沈降を続け<sup>8)</sup>、また駿河湾東岸と西岸との距離の短縮が観測されること、伊豆半島東部・山梨県東部に地震活動があること。

iv) 駿河湾には安政地震以来128年以上を経過し、地震エネルギーが80%近く蓄積し発生確率が高いこと。<sup>10)</sup>

v) 1969年11月28日地震予知連絡会により特定観測地域に指定されていた東海地方が1974年2月28日観測強化地域に指定されたこと。

vi) 南海トラフ沿いに歴史上繰り返し発生する大地震はフィリピン海プレートのもぐり込みによるもので、東海地方に予想される大地震もこのプレートもぐり込みに際しひきずり込まれた陸側ブロックのはね返りによるものと考えられること。<sup>11)</sup>

以上のような情勢のもとで石橋は駿河湾西岸一帯に第四紀地殻変動が発生しており、駿河トラフは湾奥に至るまでプレート境界断層として地震発生能力をもつと考えた。そして伊豆半島や山梨県東部の地震活動はプレート先端部の活動であり、駿河湾西岸域・御前崎の沈降・圧縮などはプレートの沈み込みによると考えた。この駿河湾内のプレート境界こそは有力な大地震候補地ではないか

と考え、遠州灘よりも駿河湾の方が大地震発生の可能性が高く、かつその時期は切迫している恐れ

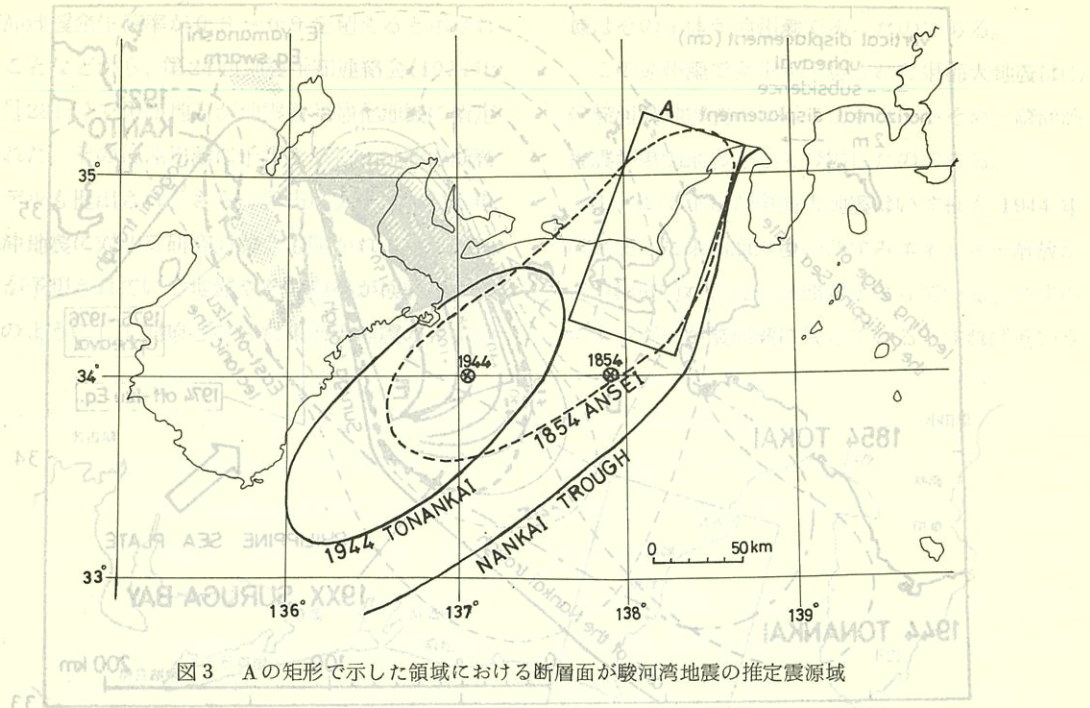


図3 Aの矩形で示した領域における断層面が駿河湾地震の推定震源域

があるとし、第33回地震予知連絡会（昭和51年5月24日）にその報告を参考資料として提出し、次いで地震学会にも発表した。<sup>12)</sup> 石橋が発表した駿河湾地震の震源断層モデルは、（図4参照）、断層面の長さ115km、断層面の幅70km、断層面上端の地表からの深さ2km、断層の走向N72°W、断層面の傾斜角34°、ずり角71°、断層面変位4m、断層のたてずれ3.8m、断層の右よこずれ1.3mである。地震時駿河トラフから西北西に傾いた中角左ずれ逆断層運動を生じ、駿河湾西岸一帯は1m以上隆起、浜名湖～三河湾や沼津～伊豆西岸など沈降、沼津～天竜川河口で震度6～7、東京・大阪などは震度5程度で、津波が紀伊～房総を襲い、伊豆西岸などは大被害となると報告している。そして地震規模Mは7.5～8強と予測、発生時期は予測困難で、もしかすると20～30年後かも知れないが、数年内に起こっても不思議でないといし、最悪の直下型巨大地震であるから直ちに直前監視警戒態勢づくりに着手すべきであると警告している。

1976年11月29日第35回地震予知連絡会の統一見解として発表されたことは

- (i) 古文書等の記録から1854年の安政東海地震の震源域は、遠州灘から駿河湾内部におよんでいた。
- (ii) 1944年東南海地震の震源域は、余震分布と地殻変動等から遠州灘西部におよんでいることが推定されるが、御前崎沖には達していない。
- (iii) 御前崎南方沖から駿河湾内にかけての地域には安政東海地震以後大地震が起こっていない。
- (iv) 御前崎から駿河湾西岸にかけて、明治以来顕著な沈降が認められ、また駿河湾を中心西北西～東南東の水平圧縮が観測されている。

地震防災対策強化地域指定専門委員会の昭和54

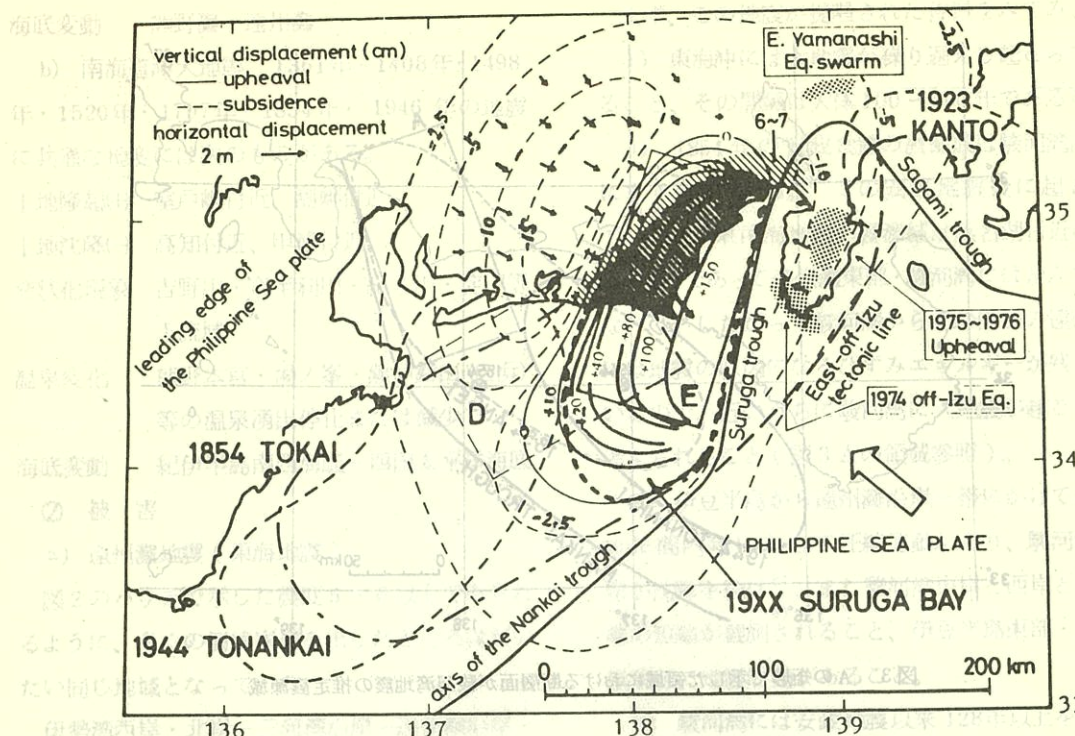


図4 図3で示した断層面で起こると考える駿河湾地震による地変  
(石橋原図による)十隆起、一沈降

年5月12日の見解では

想定される東海地震の断層モデルは、これまでの各種の観測・測量・研究等の成果、歴史地震から得られた事実等をふまえて検討した結果から、その形は南北方向L 100~120 km程度、東西方向W 50 km程度であり、傾斜角 $\delta$  20~30°の逆断層であると推定している。その位置は多少幅をもって考えることが妥当であるとし、東辺は駿河トラフ沿いの線に沿い、北辺は駿河湾奥までと考えている。なおその西辺以西については1944年東南海地震によりひずみエネルギーが既に放出されているものと考えられるので、1854年安政地震のように遠州灘西南方に及ぶ可能性は少ないとし、地震の規模は概ねマグニチュード8程度と考え、破壊は断層面の南部から始まる可能性が大きいと思われるとしている。

また建設省東海地震想定委員会は東海地震の断層モデルとして、石橋モデルよりもやや小さいも

のを考えている。断層面の長さL 100 km・幅W 50 km、断層面の上端深さH 1 km、断層の走向 $\phi$ はN 76.5°W、断層面傾斜角 $\delta$  30°の逆断層、ずり角 $\lambda$  90°、断層面変位D 3 m(たてずれDd 3 m、右よこずれDs 0 m)とし、震源域は御前崎沖から駿河湾内に至るいわゆる駿河トラフ沿いの線から西方にかけて天竜川付近まで、マグニチュードは8程度としている。しかし本想定では具体的な位置・深さ等について言及されていないので、これらについては建設・運輸両省の実務担当者が協議の上決定している(図5参照)。

② 1973~1975年ごろの東海大地震説  
遠州灘地震の可能性がたびたび取り上げられるようになったのは1973年夏ごろからで、遠州灘における大地震の空白域が、北海道東部の問題とともに注目されたが、1973年6月に北海道東部の空白域で根室半島沖の地震が起ったので、遠州灘地震が一層話題に上るようになつた。また東

海沖地震発生確率が0.8～0.9を超えると示されたことなどから、第24回地震予知連絡会(1974年2月28日)で東海地方が地震観測強化地域に指定された。その後遠州灘に予想される大地震の断層モデルも提出され、さらに名古屋大学において東海沖地震に対する研究討論会<sup>15)</sup>も開かれ、東海沖地震が予想されている地域やその根拠が検討された。

このようにして対象となった東海大地震の発生地

名古屋  
伊良湖岬  
赤羽根  
浜名湖  
糸松  
鳥羽  
伊良湖岬  
清水  
野間  
焼津  
沼津  
熱海  
伊東  
下田

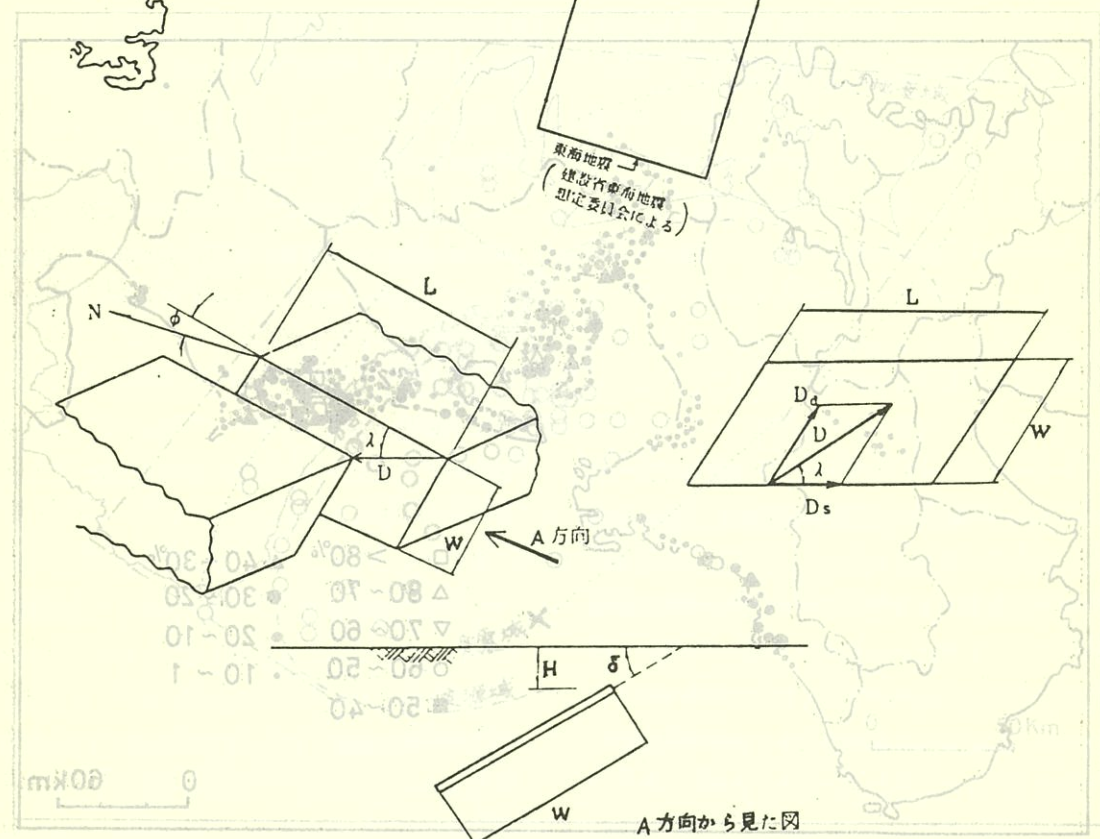


図7 1974 東海地震予想地図  
図5 想定東海地震の断層モデル<sup>13)</sup>

域はその主体が遠州灘であったのである。

この遠州灘で発生が予想された東海大地震は(1)の駿河湾地震説の提唱により影をひそめ、駿河湾地震が東海地震として登場したのである。

(1)、(2)で示した東海大地震はいずれも1944年に発生した東南海地震のひずみエネルギー解放がどの程度行われたかが問題となっている。ひずみエネルギーが駿河湾に残っているとすれば近い



ちに大地震が起こるかも知れない。また遠州灘の一部に大地震未破壊域がある、ひずみエネルギーが残り地震空白域を示しているとすれば遠州灘地震も起こるであろう。東南海地震でひずみエネルギーの解放は一通り終ったとすれば、遠州灘でもすぐには大地震は起きなく、また駿河湾地震も単独には起きないと考えられる。

## 6 1944年の東南海地震と将来の東海地震

東南海地震の地変及び震害は図2に示したように、1707年宝永地震や1854年安政地震の場合とだいたい類似である。したがって、宝永や安政の大地震と同じタイプの地震であったと思われる。ただ駿河湾西岸及び北部地域での影響は、宝永や安政地震ほど大きくなかった点が異なるといえよう。影響の仕方が小さかったとはいものの全然

なかったわけではなかった。<sup>17)</sup> まず住家被害率分布を図6に示す。被害率は全壊戸数に半壊戸数の半分を加えた総戸数で割った百分率であるが、分布図からわかるように、震害は遠州灘が最も大きく、次いで愛知県、三重県となっている。熊野灘沿岸の被害は地震動直接というよりも津波による家屋倒壊によるものである。遠州灘沿岸における家屋被害のパターンは宝永・安政の地震に類似であり、直接地震動による災害で家屋の倒壊率が30%近くになる震度6を示す地点が多い。これはその地域が震源域であったからと考えられる。なお駿河湾の奥の富士郡の吉原や庵原郡の蒲原町・興津町・袖師村などにも被害があり、清水市での被害も大きかった。こうして駿河湾西岸域の一部でもある程度の被害があり、震源域が浜名湖付近ではなく、遠州灘東部域の御

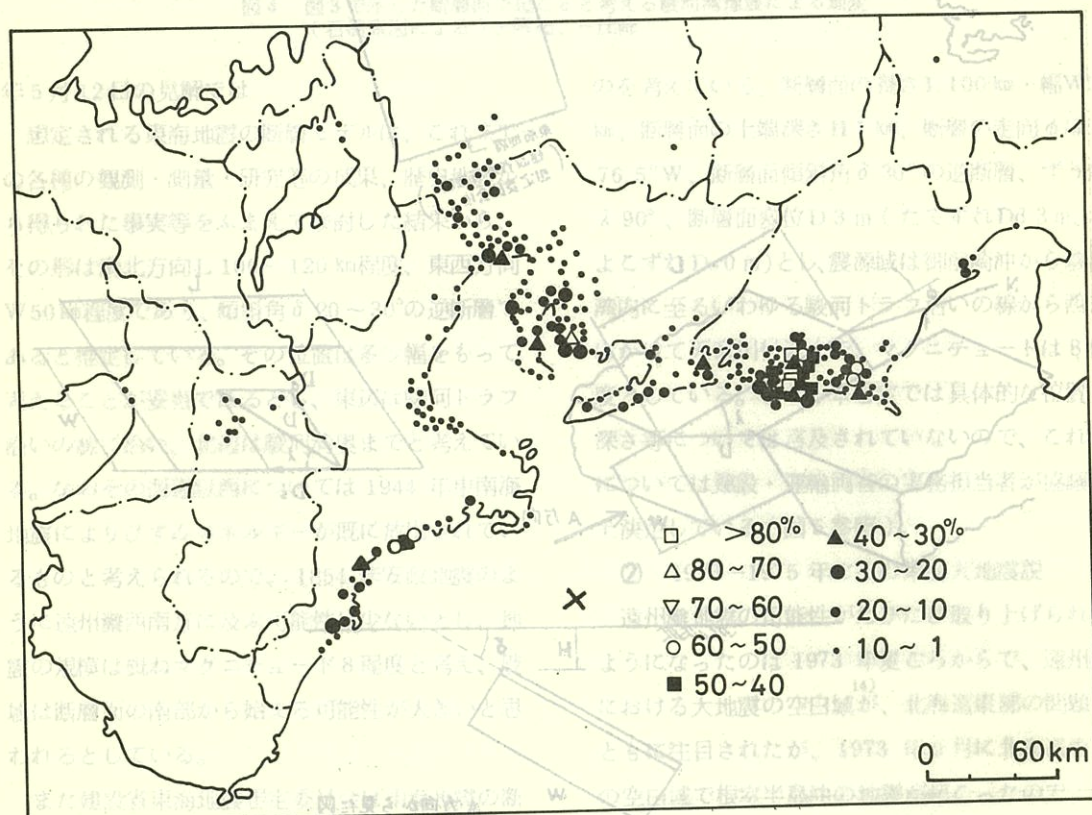


図6 1944年東南海地震による住家被害率分布(×震央)

前崎付近にまで達していたと考えられる。太田川・菊川流域は地盤が弱い地域であるから被害のできるのは当然とは言え、地震力が及ばなかったならば被害は出なかったものと思われる。なお渥美半島などでは宝永・安政・東南海地震で全く同じ地域が被害を蒙っており、これら被害から震源域での地震力の類似性が思考される。

図7は地変の範囲や1カ月間の余震分布の範囲、津波の推定波源域などを示したものである。地変域は駿河湾西岸にまで及んでいるのは地震時に清水で-50cm、相良で+30cm、御前崎で+15cmほど<sup>17)</sup>の土地の昇降があった報告、地理院の報告をもとに作成したが、その後藤井の報告などもこの状態を裏書きしている(図8参照)。茂木も地震時掛川付近の量は小さいながら急な土地上昇を認めている。波源域は駿河湾奥の内浦での津波記録や

土地の人の体験を検討し、駿河湾口近くにまで波源が及んでいたとの考えが妥当であるとの結論から求められたものである。

なお、遠州灘地震の特徴としての地変や被害分布を示し、伊勢湾臨海域・浜名湖付近の沈降、甲府盆地・諏訪・奈良・大阪付近等に震害がみられている。

以上を総括すると、1944年東南海地震と名付けられている地震の震源域は熊野灘から遠州灘へかけての地域であり、地殻変動は御前崎・相良北部にまで達しており、一部駿河湾北部西岸域にも及んでいる。この駿河湾北部西岸域の変動はズルズルと非弾性的すべり運動によるものかも知れない。藤井は震源域西側では破壊が完全に弾性的に行われ、東側では弾性変形とともに時定数のより長いクリープ変形が起ったものと考えている。

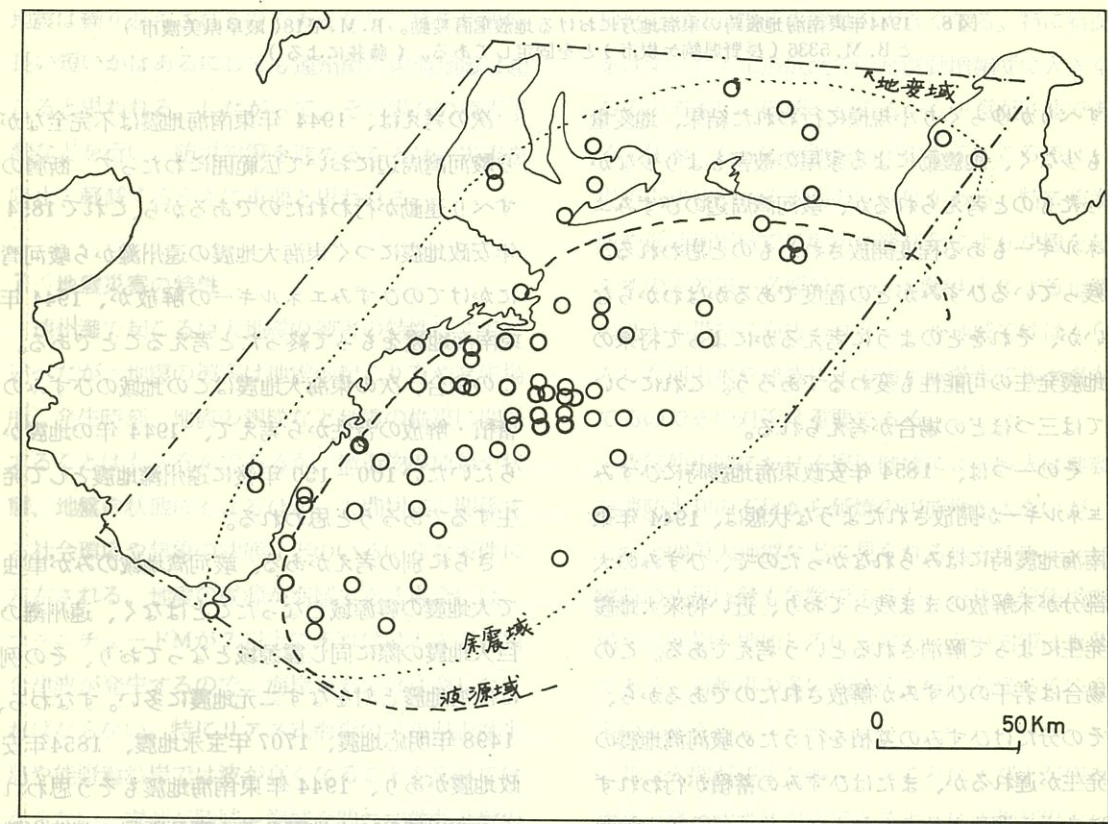


図7 1944年東南海地震の余震分布(1カ月間)、地変域、津波波源域との関係

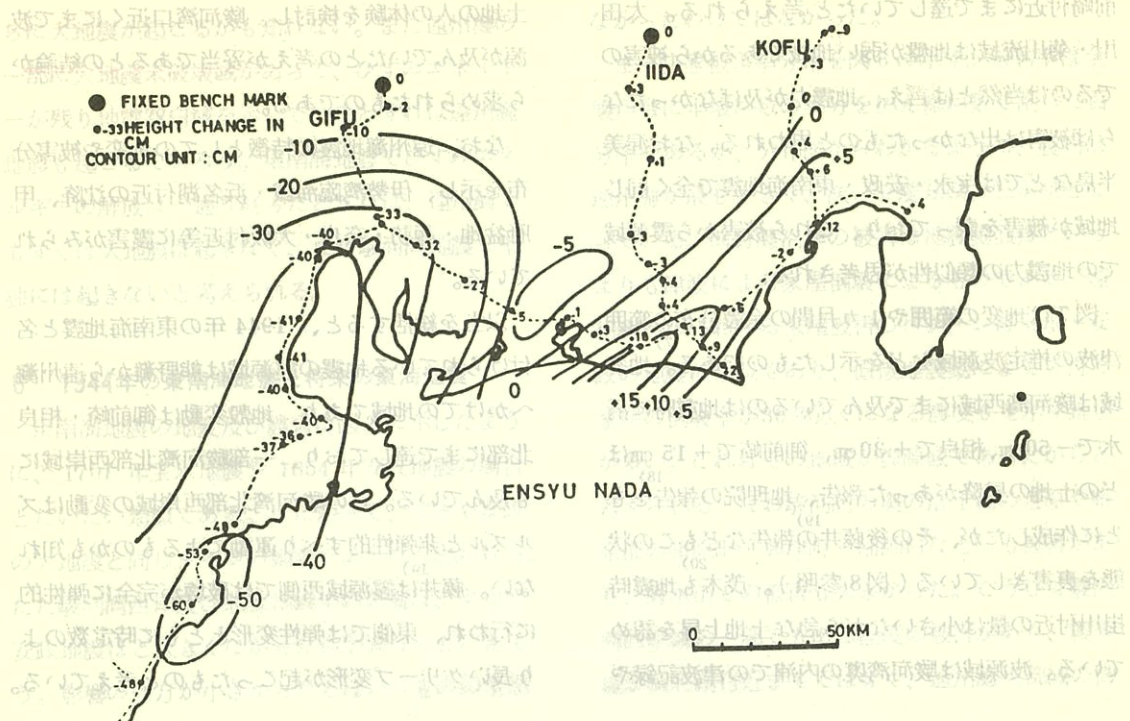


図8 1944年東南海地震時の東海地方における地殻垂直変動。B.M. F18(岐阜県美濃市)とB.M. 5336(長野県駒ヶ根市)とを固定してある。(藤井による)

すべりがゆっくり小規模に行われた結果、地変量も少なく、地震動による家屋の被害もより少なかったものと考えられるが、駿河湾周辺のひずみエネルギーもある程度開放されたものと思われる。残っているひずみがどの程度であるかはわからぬいが、それをどのように考えるかによって将来の地震発生の可能性も変わるであろう。これについては三つほどの場合が考えられる。

その一つは、1854年安政東海地震時にひずみエネルギーが開放されたような状態は、1944年東南海地震時にはみられなかつたので、ひずみの大部分が未解放のまま残っており、近い将来大地震発生によって解消されるという考え方である。この場合は若干のひずみが解放されたのであるから、その分だけひずみの蓄積を行うため駿河湾地震の発生が遅れるか、またはひずみの蓄積が行われずひずみ開放となるのである。後の場合は地震規模は小さくなろう。

次の考えは、1944年東南海地震は不完全ながら駿河湾周辺において広範囲にわたって、断層のすべり運動が行われたのであるから、これで1854年安政地震につぐ東海大地震の遠州灘から駿河湾にかけてのひずみエネルギーの解放が、1944年東南海地震をもって終ったと考えることである。この場合、次の東海大地震はこの地域のひずみの蓄積・解放の習性から考えて、1944年の地震からだいたい100-150年後に遠州灘地震として発生するであろうと思われる。

さらに別の考え方がある。駿河湾地域のみが単独で大地震の震源域となつたことはなく、遠州灘の巨大地震の際に同じ震源域となっており、その例は南海地震と対をなす二元地震に多い。すなわち、1498年明応地震、1707年宝永地震、1854年安政地震があり、1944年東南海地震もそう思われる。遠州灘の巨大地震の道(震源断層)が遠州灘から駿河湾にまで続いているのではないかと思わ

れる。一方駿河湾付近で単独に起こった地震はこれまでに5回ほどで、相良・静岡・清水などの地域で起り、マグニチュードはすべて6級であった。1944年東南海地震の際、駿河湾地域にひずみエネルギーが開放されずに残っているならばその約21年後の1965年静岡地震(M 6.1)、ないしは静岡地震19年後の1974年伊豆半島沖地震(M 6.9)などが弓き金となって大地震が発生してもよいのではないかと思われる。実際は起らなかった。こう考えると駿河湾巨大地震は単独には起らざる遠州灘の巨大地震の際に同時に駿河湾も震源域とならて起こるものと思われる。なお駿河湾の単独地震ではM 6級のものが過去におけると同様に今後も発生する可能性があると考えられる。このほか将来の東海地震発生にはなおいろいろ考えられるであろうが、1944年東南海地震の性質が健となるであろう。いずれの場合にしても大地震は繰り返えされるのであるから発生時間の長い短いかはあるにしても遠州灘の東海地震は起こると思われる。したがって、その場合の震害予測などを行い、防災対策を進めることは、災害を防止・軽減するうえに重要と思われる。

## 7 地震災害の特性

遠州灘で起こる巨大地震の被害の特性はすでに述べたが、地震の被害は地震の起り方や発生場所、発生時刻、地震の規模など地震の性質に関係することはもちろんあるが、構造物の種類や状態、地盤の状態にもよるほか、人間居住に関する社会環境や気象の状態などのいろいろな条件に左右される。地震の震源が海域である場合には、マグニチュードMが7以上であればほとんどの場合津波が発生するので、海岸地方では注意しなければならない。特にリアス式海岸の三重県志摩半島や能野灘沿岸では波が高くなることを忘れてはならない。震源が陸域・海域を問わず軟弱地盤の所は地震動による被害が大きい。しかも臨海域や

旧河川・沼地などの埋立地などでは地面に亀裂、割れ目ができ、地盤の液状化現象が起る場合が多い。液状化現象は前回の地震で起ったから次の地震で起きないとは言えない。東海道地震の宝永・安政・東南海地震でも遠州灘、伊勢湾・三河湾臨海部で液状化現象が起り、噴砂・噴泥水現象がみられている。濃尾・三河地震でも河川流域の平野部、臨海域にも噴泥水があり、泥砂の山や沼ができる。濃尾地震では浸水家屋や死者が出るなどの被害があった。このような状態であるから地盤の不等沈下のため家屋の傾動や転倒なども生ずる。地面の水平移動、地すべりなどの地変も発生する。

山地・丘陵など地形的影響の著しいところは山崩れ、崖崩れなども起きる結果、河川をせきとめ湖沼をつくることもある。時にはその湖沼水がおし出されて山津波となることがある。斜面地・崖地付近では地震時の震動が大きくなる。特に斜面をけずった人工造成地での地震動増幅度は大きくなるので家屋の倒壊も起こるから注意が肝要である。住家より高い溜池や河川のあるところでは、堤防の決壊による水害の危険性がある。特に臨海域や低地河川域では堤防が液状化により決壊を起こすので対策が必要である。地盤沈下による地盤の低下地帯特に海拔ゼロメートル地域でははんらんした河川水や津波による海水が湛水する水害もるのでその対策は重要である。

火気使用時における家屋倒壊による出火は地震時消防水利の不足から延焼の可能性が大きいが、これは関東大地震などに見られる通りである。地震時の火災は最も危険であるが、近年火気使用施設や危険物も増加しているので、その対策は重要である。自動車の多い道路でも危険が満ちているといえよう。

昔は人間が住まなかったところに人びとが住み、活発な経済活動に対応できるように土地利用も行われ、著しく都市化が促進された。こうして高度

に近代化された社会環境では大地震時に建物の崩壊や火災、水災害などの被害が起こる危険性は従来とあまり変わらないであろうが、情報パニック、交通パニック、コンピューターによる都市機能の崩壊に伴うシステムパニックなどソフト面の災害は新しい形態を示すものと思われる。大地震が発生すればその災害を増大させるような要因も、家屋の耐震性の増進とはうらはらに増していることも注意しなければならない。

駿河湾地震の発生が叫ばれてから各所で地震災害の予測が行われた。その1~2の例を示すと次のようになる。

静岡県地震対策課でまとめられた災害は表5のようになる。<sup>21)</sup>

表5 東海地震における静岡県の被害想定

世帯数(53.3)	939,325
人口(〃)	3,374,232
全壊世帯	69,000
半壊世帯	121,000
津波被害	
全壊流出世帯	2,600
半壊・床上浸水世帯	19,400
床下浸水世帯	10,000
出件	
全出火件数	930
火数	660
焼失世帯	275,000
人的被害	
死者	10,900
重傷者	16,700
軽傷者	98,300
罹災世帯	418,000
罹災人口	1,502,000

〔東名、新幹線上の被害を除く〕  
静岡県地震対策課(1979)

愛知県防災会議の資料では<sup>22)</sup>木造家屋全壊13,982棟(全壊率0.6%)、半壊21,947棟(半壊率1.0%)、全半壊合計35,929棟(被害率1.1%)、出火件数669件、そのうち災上火災件数391件。

名古屋市防災会議の資料では<sup>23)</sup>木造家屋全壊2,091棟(全壊率0.39%)、半壊5,638棟(半壊率1.06%)、死者数248人、焼失家屋数852棟、風速3.7 m/sで出火後60分で7,561棟焼失、風速10.0 m/sで出火後60分で14,076棟、河川水浸入面積47 km<sup>2</sup>となつており被害は小さいとはいえない。これらは一例に過ぎないが、さらにいろいろな被害が各所でされることも予想されるので大災害となろう。このように駿河湾においてマグニチュードM8クラスの地震が発生すると、大きな被害でることが予測されるが、前述のようにこれらのほかパニックなどソフト面の災害は大きく、経済的な損失も大きなものとなるであろう。したがって、その対策には従来の考え方や経験にとらわれず新しい発想を必要とすると思われる。

## 8 おわりに

以上東海地震の発生と震害についていろいろ述べたが、過去の地震例からみると予想を越える新しい種類の災害がでてくることも考えなければならない。これは高度に近代化された社会環境において災害を増大させるような要因の多いことによるものと考えられる。この要因を分析し防災の問題点を究明しなければ災害は減じない。東海地震発生に関するいろいろな考え方、問題点を述べたが、いま直ちに起こるという観測上の兆候はないようであるが、将来起こることは否定できない。したがってそれに対処するためには地震予知を推進するとともに、災害要因を究明し、その対策を進めることが先決である。被害が予想される地域に対しては重点措置が必要である。都市では人間にとて大切なのは空間である。個々の構造物の耐震耐火の向上はもちろん必要であるが、それと同時に人間が対応できる空間をもつ都市全体の耐震性を総合的に考えることも重要である。

東海地震の予知のための観測網は世界で最も高

い密度で設定されているといえよう。約70観測点で約90種目の地震発生に關係ある地学現象が観測されているのであるから、その予知の可能性が高まると見える。このような事情のもとで将来発生する大地震が予知されて、災害の軽減・防止に役立つことを期待する次第である。

## 参考文献

- 1) 土隆一：1930年北伊豆地震の地盤災害、自然災害科学資料解析研究、7、8-14頁、1980
- 2) 飯田汲事：昭和20年1月13日三河地震の震害と震度分布、愛知県防災会議地震部会、1-96頁、昭和53年3月
- 3) Y. Tsuji : Study on the earthquake and tsunami of September 20, 1498, Tsunamis - Their Science and Engineering, edited by K. Iida and T. Iwasaki, Terra Publishing Company, Tokyo, 185-204, 1983
- 4) 飯田汲事：東海道・南海道沖地震発生系列と天正・濃尾地震の影響、昭和57年度地震学会秋季大会講演予稿集、205頁、1982
- 5) 飯田汲事：愛知県被害津波史、愛知県防災会議地震部会、1-119頁、昭和56年3月
- 6) 羽鳥徳太郎：東海・南海道沖における大津波の波源、地震、27、10-24、1974
- 7) 羽鳥徳太郎：安政地震（1854年12月23日）における東海地方の津波・地殻変動の記録、地震研究所彙報、51、13-28、1976
- 8) 国土地理院：東海地方の地殻変動、地震予知連絡会会報、19、96-98、1978
- 9) 国土地理院：東海地方1等三角測量結果、地震予知連絡会会報、12、131、1974
- 10) T. Rikitake : Probability of earthquake occurrence as estimated from crustal strain, Tectonophysics, 23, 299-312, 1974.
- 11) H. Kanamori : Tectonic implications of the 1944 Tonankai and the 1946 Nankaido earthquakes, Phys. Earth Planet. Int., 5, 129-139, 1972.
- 12) 石橋克彦：東海地方に予想される大地震の再検討—駿河湾大地震について—、昭和51年度地震学会秋季大会講演予稿集、30-34頁、1976
- 13) 国土庁・水産庁・運輸省・建設省：昭和52年度東海地域震災対策調査、昭和53年3月
- 14) 関谷溥・徳永規一：遠州灘周辺のSeismicity Gapについて、騒震時報、39、83-88、1975
- 15) M. Ando : Possibility of a major earthquake in the Tokai district, Japan and its pre-estimated seismotectonic effects, Tectonophysics, 25, 69-85, 1975.
- 16) 安藤雅孝：東海地方の巨大地震の可能性とそれに伴う地殻変動・津波・震度、昭和48年度地震学会秋季大会講演予稿集、140頁、1973
- 17) 飯田汲事：昭和19年12月7日東南海地震の震害と震度分布、愛知県防災会議、1-122頁、昭和52年3月

- 18) 国土地理院地殻活動調査室：東海地方の地殻変動、地震予知連絡会会報、2、49-53、1970年
- 19) 藤井陽一郎：関東・東海地方の地殻変動と1944年東南海地震の震源域、地震、地震学者と地質学者との対話（杉山隆二・早川正己・星野通平編）、41-63、東海大学出版会、1980年
- 20) 茂木清夫：1944年東南海地震直前・直後の地殻変動の時間的経過、地震予知連絡会会報、28、203-204、1982年
- 21) 静岡県地震対策課：東海地震に備えて、27頁、1979年
- 22) 愛知県防災会議地震部会：東海大地震を想定した愛知県における被害の予測調査報告書（その1）1-177頁、（その2）1-125頁、昭和53年
- 愛知県防災会議：愛知県地域防災計画（地震災害対策計画（昭和55年修正）
- 23) 飯田汲事・正木和明・谷口仁士・多賀直恒・富樫豊：名古屋市における地域別地震被害想定に関する調査研究、その1 木造及び非木造家屋の被害予測、名古屋市防災会議地震対策専門委員会、1-121頁、昭和56年7月
- 飯田汲事・谷口仁士：同上、その2 火災の拡大延焼による被害予測、同上、1-89頁、昭和57年7月
- 飯田汲事・谷口仁士：同上、その3 宅地造成地の被害予測、同上、1-113頁、昭和58年7月
- 飯田汲事・谷口仁士：同上、その4 地震水災害の予測、同上、1-90頁、昭和58年7月

入 口 率 (%)		13.89, 1971
全 域 世 帯	81	36-38, 1978
半 域 世 帯	13	48-54, 1974
全 域 住 戸	80	40-44, 1980
半 域 住 戸	13	19
出 件	33	56-58, 1971
全 出 火 件 数	266-313	1971
火 灾 事 故	14	1971
人 为 灾 害	16-20	1971
被 害 者	16,700	1971
輕 傷 者	98,300	1971
重 傷 者	416,000	1971
死 亡 者	702,000	1971
出 件	33	83-88, 1972
全 出 火 件 数	25, 26-28	1972
火 灾 事 故	14	1972
人 为 灾 害	16-20	1972
被 害 者	16,700	1972
輕 傷 者	98,300	1972
重 傷 者	416,000	1972
死 亡 者	702,000	1972

愛知県防災会議の資料では、1979年の東海地震による損害は、主に建物の倒壊によるもので、そのうちの大部分は、木造建物であるが、それと並んで、土木施設や橋梁の倒壊によるものである。また、電線やガス管の損傷による火災や瓦礫による人身傷害がある。この中で、最も多く見られるのは、木造建物の倒壊によるものである。特に、木造建物の中でも、柱や梁の倒壊によるものが多い。

# 土に学んで30余年

名古屋大学

工学博士 植下 協

1) 中部地質調査業協会機関誌「土と岩」への寄稿依頼をいただいた。私自身、「土木工学」を学び、特に「土の工学」を専攻してから30年余りとなる。その30余年を回顧して、参考になると思われる話を記してみたい。

2) 私が「土」を専攻するようになったきっかけは、京都大学での卒業研究に(旧制)大阪高校の先輩の松尾新一郎先生の指導を受けて、「土の塩基置換に関する研究」を行ったことにある。松尾先生が地すべり現象と土の化学的性質との関係を研究しておられたことに関連してのテーマであった。卒論の審査は、やはり大阪高校先輩の赤井浩一先生があたられた。「土」を専門に選ぶきっかけに、先輩の影響のあったことを思い起こすものである。

3) 30余年取り組んで飽きることのない研究対象としての「土」については、やはり、本質的に、良い専門分野を選んだということで、私の人生に悔いはない。「土」は「母なる大地」を構成し、身近にありながら、複雑な工学的性質を有し、簡単には解明し尽くし難い深奥さをもっている。常に、あるがままの「土」に教えを乞い、そして教えられつつ今日まで歩んできた。

4) 昭和28年の大学院時代、某社の大坂出張所で土質調査業務を手伝ったことがある。土質柱状図の清書をし、実務の苦労をいろいろと身近に聞かせていただいた。よき経験になったとしばしば回顧する。土質調査会社の仕事は、「土質工学」

5) 昭和31年の頃、阪奈道路の路線土質調査を手伝ったことがある。そのときに、現地の土を見ながら記帳をするにあたり、土質分類には大変に苦しんだ。土質分類の合理化に関心をもたされた原体験である。その後、土質分類法については、バーミスター教授の記述的分類法にも注目したが、名古屋地盤図作業の副産物として名古屋土質分類を提案し、その手法が土質工学会に取りあげられて、日本統一土質分類法を基準化する役割を担うことになった。土の種類が、この地上に極めて多いからこそ、土質分類によって、整理して「土」を理解することの重要性を常に思っている。

6) 昭和28年からの5年間、京都大学村山朔郎教授のもとで、大学院生として、「土」の研究をした。その間にまとめた修士論文は「土の毛管性に関する研究—特に土中水の熱力学的考察」であり、博士論文は「路床土の含水状態とその支持力に関する研究」であった。これらの基礎研究は、その後、私が取り組んだ「路床土・路盤・舗装の支持力」、「舗装設計法」、「土質分類」、「濃尾平野の地盤沈下」などの研究に、直接・間接に役に立ったと考えている。

7) 大学院博士課程の頃、村山先生・赤井先生のご指導で、大阪土質試験協会の実験室に出向い

てシンウォールサンプラーによる不攪乱試料や標準貫入試験試料の土質試験を行い、「土質試験報告書」を作成する実務を実習した。この仕事によって、地下数十メートルから採取された多くの土に触ることができた。当時の標準貫入試験は、粘性土であれば、自然含水比、液性・塑性限界試験、粒度分析、砂であれば粒度分析を行い、不攪乱試料による各種土質試験とあわせ、内容の充実した報告書を作成していた。今日の標準貫入試験の実情を見ていると、N値と試料の観察ですませている例が多いようであるが、N値が求まると同時に土質試料の採取できるのが標準貫入試験の本来の特徴であるから、この土質試料に対し、上述したような物理試験を行い、正確な土質分類データを残すことが土質調査の質的向上のために必要であると痛感している。

題8) 昭和35年から1年間、フルブライト交換研究員としてノースウェスタン大学に留学し、オスター・バーグ教授のもとで土質力学の勉強をした。オスター・バーグ教授は、12名の大学院生達に対し、一通りの土質力学特論の授業をしながら、標準貫入試験の現場、各種基礎工事の現場、砂の液状化実験などを見せて下さった。その授業内容と見せていただいた実験室と現場の体験は、その後の私の体の内に生き続けている。「土」の研究に、大型計算機が駆使される時代となってきたが、「土」の勉強に現場と実験が大切であることは20数年を経た今日でも変わらないと考えている。

○9) 昭和39年に新潟地震が発生し、世間は砂地盤の液状化現象に驚いた。私自身は、オスター・バーグ教授の実験室で見せていただいた現象が、新潟市で起っただけで、ゆるい飽和砂地盤に振動が加わったときの当然の現象として理解することが容易であった。先日の日本海中部地震でも、各所に典型的液状化現象が発生し、過日のテレビでそ

の解説と実験を見せていた。感慨無量であった。

10) 昭和39年の夏から16か月、カナダのマイヤホフ教授のところに留学した。多層地盤の弾性的支持力の研究をしながら、マイヤホフ教授の支持力論を学んだ。マイヤホフの支持力論はまことに有名であり、よく利用されている。その理由は、研究に裏づけされながら、使い易い形にまとめられていることである。この態度は土質力学の父テルツィーギの態度でもある。「土」の専門家は常にそうありたいものと思っている。

11) 昭和41年から数年にわたって名古屋地盤図作業グループに協力し、また同時に、伊勢湾北部臨海地域の地盤沈下研究グループにも協力した。この時以来、当地域の地盤関係の研究に、地球科学の飯田汲事教授、地理学の井関弘太郎教授、地質学の桑原徹教授、建築基礎工学の堀内孝英教授などの方々との学際的研究が行われている。地盤に関しては学際的研究が大切であり、各専門家もお互の協力によって、一層その立場が活かされてくる。その学際研究の成果が、「名古屋地盤図」（コロナ社、昭和44年）となり、今日、東海三県地盤沈下調査会の出版物「濃尾平野の地下水と地盤沈下」（仮題、昭和59年出版予定）として結実しつつある。

12) 昭和40年代初期に「名古屋地盤図」をまとめるにあたって、膨大な土質調査資料を収集したが、その整理にあたって、土質分類の仕方がばらばらであったので、統一した整理をするために、名古屋土質分類を粒度試験結果と土質現場名との対応にもとづいて設定した。例えば、礫がほとんど含まれていない場合には、砂（細粒分が20%以下）、砂質土（細粒分20~50%）、細粒土（細粒分50%以上、一般には粘性土）の3分類に明確化して整理することができた。

13) 前述のことは、日本に「土質分類」の基準がないために生じていた混乱であり、土質工学会としては「土の判別分類法」を規格化する必要に迫られていた。名古屋土質分類によって名古屋地盤図作業の大役を終りつつあった私に、土質工学会土の判別分類法委員会への協力要請があり、建設省、運輸省、農水省、国鉄、道路公団、調査業の代表の方々と全国的かつ国際的視野で土質分類法の研究を行い、昭和48年に J S F 規格 M 1 「日本統一土質分類法」を決めることができた。これを決める過程では、地質調査業協会の方々にも時折ご討議いただきお世話になった。この日本統一土質分類によると、砂 { S } (細粒分15%以下)、砂質土 { SF } (細粒分15~50%)となり、砂と砂質土の区分が、前述の名古屋土質分類の場合とは若干異なることとなった。

14) 標準貫入試験結果の N 値を利用する場合に、砂と粘性土で、その工学的解釈がかなり異なる。標準貫入試験は先にも述べたように、どのような「土」であるかを室内判別分類試験できるだけの試料が採取できることが特徴であり、粘性土の場合は、特に、自然含水比測定と液性・塑性限界試験、粒度試験が可能である。これらの試験結果を並べて眺めると「土」の工学的判断は一層高められる。そして、N 値を解釈するためには、最低、前述の砂、砂質土、粘性土の 3 グループとの対応で考えることが大切である。近年、中間土(ここでは砂質土)研究の重要性が主張されつつあるが、上述 3 分類と N 値との対応における研究面の遅れを痛感している。

15) 昭和58年10月に開かれた第15回日本道路会議土工部会の特定課題は「不良土の利用技術と残土処理」ということで、20件近い発表の中で、名古屋市土木局と東邦ガス(株)からは「名古屋市道における石灰改良土の埋戻し実証工事について」と

いう報告がなされた。総合討論で、「何が不良土か」という討議がなされたが、上記の名古屋市道における調査結果と日本統一土質分類とを関連させると、砂 { S } は埋戻し可能土 (CBR 6%以上) であり、粘性土 { C } は CBR 4% 以下で「不良土」、砂質土 { SF } はその中間土で、細粒分が少なく含水比が低いものは CBR 6% 以上、含水比が高いもの(含水比20%程度以上)は CBR 4% 以下の「不良土」となっている。すなわち、「路床土」の評価でも、細粒分15%以下の「良質土」、細粒分50%以上の「不良土」、そして細粒分15~50%の「中間土」という評価になることを説明することができた。

16) 1970年代(昭和45年以降)になってから、廃棄物埋立地盤、へどろの研究を求められるようになり、私の研究室としては、最大限の協力を行った。それらの研究は、「土」の研究よりもむづかしく、「土」よりも下扱いにくい、いやな材料であった。すなわち、化学的に複雑で、有機物が多量に混じり、有害物質の混入しているものもあり、極端に高含水比であったりする。含水比測定のために炉乾燥作業をすると極めて臭いにおいの出るものもある。この経験をしたとき、天然の「土」は良い材料だとつくづく思った。

17) 同じ頃、濃尾平野の地盤沈下現象が激しく起こり、年間20cm以上も沈下する所さえ生じた。この地盤沈下現象は、正に大スケールの圧密実験をしているようなもので、それを近くにいる「土」の専門家が見すごすべきでないと考え、その土質力学的解明に可能な限りの努力を傾注した。私の研究室の佐藤健君が学位論文として「濃尾平野の地下水状態と地盤沈下に関する研究」に取り組んでくれたことも原動力となり、ほぼ所期の研究目的を達成することができた。この研究成果が、地盤沈下対策の環境行政にも利用していただける

状態にまでなったことを喜ばしく思っている。  
上記2種類の環境分野の仕事をした関係から、最近3年間は土質工学会環境地盤工学研究委員会の委員長を仰せつかり、昭和58年8月には東京で「環境保全と地盤工学」に関するシンポジウム（「土と基礎」昭和58年12月号参照）を実施した。発表・討議されたテーマは、宅地開発の環境地盤工学的あり方、地下水環境の変化予測との保全、広域地盤沈下問題、ヘドロの調査法、廃棄物の有効利用と処理・処分などであったが、土質工学の分野で環境保全への貢献を求められることは世界的な傾向である。特に狭い国土に過密人口を有し、高度に開発されつつある我が国では、環境保全への私どもの協力が強く求められつつある。

建設事業における土質・基礎分野の仕事は、目立たない地味な部分であるが、問題や事故が起こるのは見える部分よりもそのような部分である。従来、とかく、問題が生じてから相談を受けることが少なくなかったが、環境影響評価（アセスメント）の精神は、そのような事故防止にも役立つので、積極的に取り組むべきだと考えている。出ていた大企業の土質工学の担当者は、自分の体の内に居き続けている。「土」の研究には、大型計算機が使われる程の複雑な計算も可能である。しかし、建設現場では、土質の調査や試験結果の検討、地盤改良工事の実施、地盤改良工事の監視、地盤改良工事の評価など、多くの手作業が不可欠である。また、建設現場では、地盤改良工事の実施、地盤改良工事の監視、地盤改良工事の評価など、多くの手作業が不可欠である。

名古屋市でも、昭和54年以来、環境影響評価制度をスタートさせており、20名の専門委員を任命している。「地盤沈下」「地下水状態変化」「斜面安定」「廃棄物」などの予測評価を行う。環境地盤工学の分野では、私が協力を行っている。調査業協会の方々には、「環境影響評価書」作成担当者側として苦労しておられることと同情しているか、環境アセスメントを適切・容易に行うために、地盤関係データバンクが、各地域ごとに集積・整理・保管されて、誰にでも利用できるシステムが確立されるとよいのではないかと考えている。

1981年のストックホルムにおける第10回国際土質基礎工学議論で、イタリアのコンサルタントのセンベネリ博士と協力して、「環境地盤工学」の現況報告を行った。共同作業をしながら、海外でフルに活躍しているヨーロッパ人コンサルタントの豊かな教養と語学力、行動力、作文力などの実力に感心した。国内の仕事だけでも多忙な中にあった私にとって、彼との共同作業は骨の折れる仕事であったが、振り返って得るところは極めて大きかった。「土」の分野においても、地元性と国際性の重要であることを痛感させられている昨今である。

# (4) 名古屋東部地域の洪積粘性土の工学的性質

示す結果よりは地盤変動を考慮する場合、  
地盤調査、構造物の基礎構造を合理的に設計、施工するためには、対象とする地層の分布状況およびそれらの土質工学的特性を正確に把握しておく必要がある。しかし、地盤を構成する土質の材料特性に関しては、未だ解明されていない面も多い。特に、洪積層地盤は比較的硬質であり、一般に構造物の支持地盤として十分期待できる地盤であるとの概念から、地盤調査や土質試験は、重要な構造物を建設する場合を除き、ほとんど実施されていないのが現状である。したがって、洪積層地盤における構造物の基礎の設計、施工に必要な地盤の工学的性質を知るための有効な資料は、名古屋地盤図<sup>1)</sup>はもちろん、他にまとまった資料もほとんど得られていないのが現状である。

このような観点から、本報告は、名古屋東部地域に分布する洪積粘性土を対象に、その工学的性質について検討を行ったものである。

## 2 強度特性について

### (1) 一軸圧縮強さ $q_u$ と N 値

従来、標準貫入試験の N 値より、 $q_u = N / 8$  として一軸圧縮強さ  $q_u$  を推定し、その土層の支持能力の判定にしばしば用いられている。この関係を名古屋東部地域の洪積粘性土の実測値と比較すると図-1 のようであり、実測値の関係はきわめてばらついている。

かねがね指摘されているように、貫入試験は粘性土層に対する動的貫入方法の適用自体に問題を

名城大学  
工学博士 堀内孝英

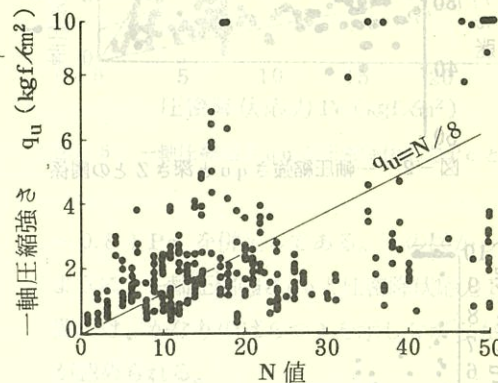


図-1 一軸圧縮強さ  $q_u$  と標準貫入試験 N 値との関係

含んでおり、見掛け上小さな貫入抵抗が得られるだけでなく、多くの場合に大きな変動を持った結果が得られるので、粘性土の力学的性質を標準貫入試験で調べることは無理である。

したがって、粘性土に関しては試料を乱さないように採取し、一軸圧縮試験または三軸圧縮試験を行うことが大切である。もし、試料採取が困難で現場で地盤の強度を直接測定したい場合には、静的コーン貫入試験か現場ペーンせん断試験によるのがよい。

### (2) 一軸圧縮強さ $q_u$ と深さ Z

図-2 は、一軸圧縮強さ  $q_u$  と深さ Z との関係を示したものである。一般に、せん断強さは深さとともに増大し、多くの場合、せん断強さ～深さ関係は直線的である。しかし、図-2 から、名古屋東部地域の洪積粘性土の一軸圧縮強さ  $q_u$  の値は、深度方向に対して顕著な増加が認められず、非常に大きなばらつきのあることは注目すべきである。

次に、図-3 は、一軸圧縮強さ  $q_u$  と破壊ひずみ

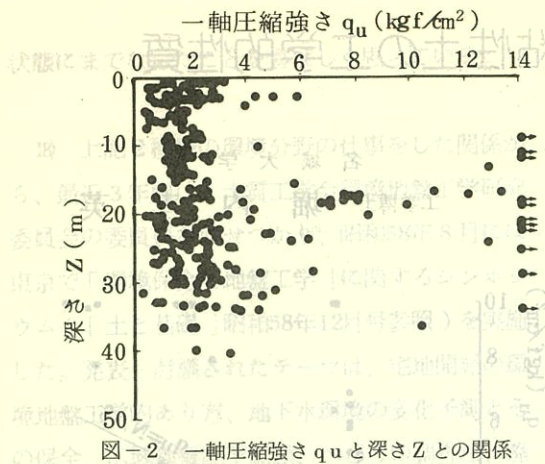


図-2 一軸圧縮強さ  $q_u$  と深さ  $Z$  との関係

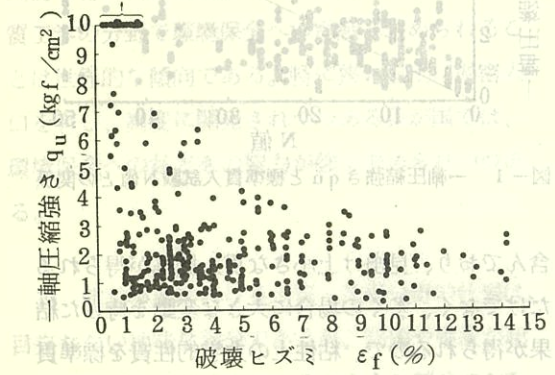


図-3 一軸圧縮強さ  $q_u$  と破壊ひずみ  $\epsilon_f$  との関係

み  $\epsilon_f$  との関係を示したものである。この図から、一軸圧縮強さ  $q_u$  の値は破壊ひずみ  $\epsilon_f$  の増大に伴って小さくなる傾向を示している。また、一軸圧縮強さ  $q_u$  の値は破壊ひずみ  $\epsilon_f$  が小さい範囲、すなわち、 $\epsilon_f$  が 4 %程度以下では、ばらつきの幅が特に大きいのは注目すべきである。

以上のように、洪積粘性土の一軸圧縮強さ  $q_u$  の値が大きくばらつく理由としては、堆積年代や地域的な堆積環境の相違、潜在性キレツの存在、応力解放による強度劣化などの地質的要因および試料採取時のかく乱、運搬、試験などの機械的、人為的要因などが影響を及ぼすものと考えられる。したがって、設計に用いる一軸圧縮強さ  $q_u$  値の決定に当っては、上述した種々の要因を考慮しないと過大または過小設計となる恐れがあるので

十分注意すべきである。

### (3) 一軸圧縮強さ $q_u$ と変形係数 $E_{50}$

一軸圧縮強さ  $q_u$  と変形係数  $E_{50}$  との関係を示したのが図-4である。ここに、変形係数  $E_{50}$  は、一軸圧縮試験で得られる応力～ひずみ曲線上の  $q_u/2$  の点と原点とを結んだ勾配である。名古屋東部地域の洪積粘性土の  $q_u$  と  $E_{50}$  との間には、 $E_{50} = 103.84 q_u - 68.23$  の関係式が得られ、また相関係数  $r$  は 0.80 である。図-4には、この関係式および名古屋地盤図に示されている第三紀層粘土に対する  $E_{50} = (100 \sim 250) q_u$  よりび洪積層粘土の上限を与える  $E_{50} = 105 q_u$  も併記してある。

この図から、名古屋東部地域の洪積粘性土について得られた  $E_{50}$  と  $q_u$  の関係式は、名古屋地盤図に示されている第三紀層粘土の下限値および洪積層粘土の上限値を与える式とほぼ一致していることがわかる。

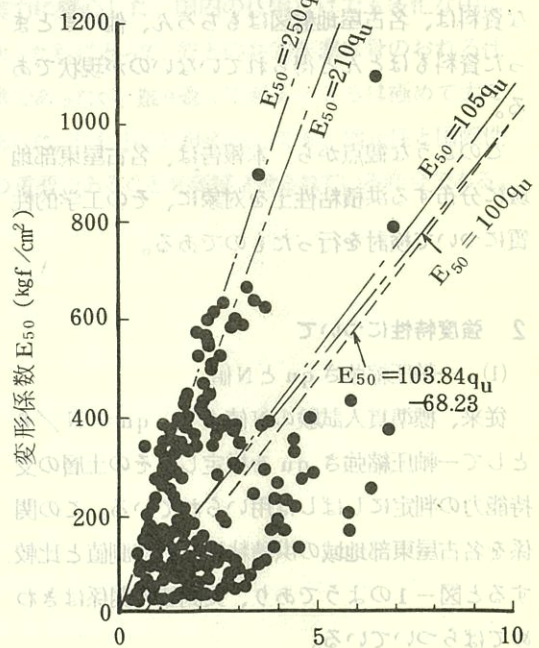


図-4 一軸圧縮強さ  $q_u$  と変形係数  $E_{50}$  との関係

#### (4) 一軸圧縮強さ $q_u$ と含水比 $W_n$

粘性土は含水比により強度が著しく変化するので、その様子を名古屋東部地域の洪積粘性土について調べてみると図-5のようである。一般に、含水比が減少すれば一軸圧縮強さ  $q_u$  は増大する傾向を示すのが普通である。しかし、図-5からは、そのような明瞭な傾向が認められない。また、含水比が同程度でありながら、一軸圧縮強さ  $q_u$  値にかなりのばらつきが見られる。これは、含水状態のみならず、粒度組成や堆積環境などの要因が大きく影響を及ぼしているものと考えられる。

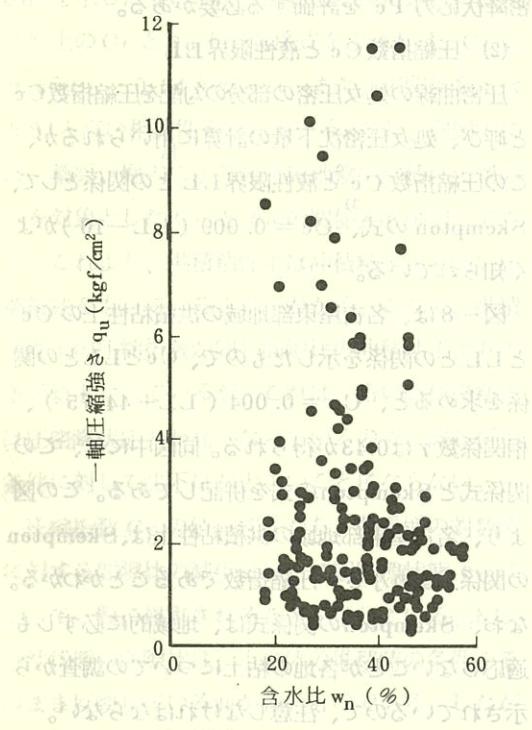


図-5 一軸圧縮強さ  $q_u$  と含水比  $W_n$  の関係

#### (5) 一軸圧縮強さ $q_u$ と圧密降伏応力 $P_c$

図-6は、名古屋東部地域の洪積粘性土の一軸圧縮強さ  $q_u$  と圧密降伏応力  $P_c$ との関係を示したものである。ここに、 $q_u$  と  $P_c$ との関係式を求めれば、 $q_u = 0.19 P_c + 0.88$  が得られ、相関係数  $r$  は0.41である。なお、図-6中には、上記の関係式および  $q_u$  と  $P_c$  の範囲を示す式、 $q_u = (0.1$

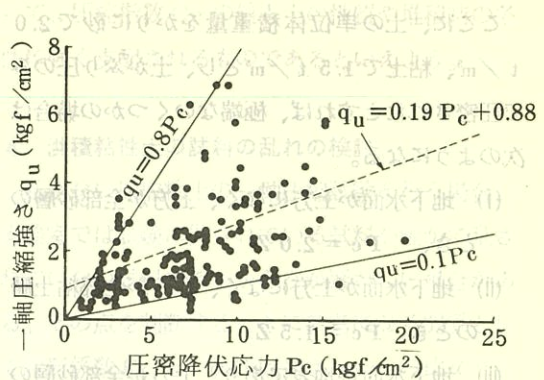


図-6 一軸圧縮強さ  $q_u$  と圧密降伏応力  $P_c$  との関係

$\sim 0.8$ )  $P_c$  を併記してある。この図からわかるように、一軸圧縮強さ  $q_u$  と圧密降伏応力  $P_c$  との間には、かなりのばらつきを示しながらも相関性が認められる。

### 3 圧密特性について

#### (1) 圧密降伏応力 $P_c$ と深さ $Z$

名古屋東部地域の洪積粘性土の圧密降伏応力  $P_c$  と深さ  $Z$ との関係を示すと図-7のようである。一般に、圧密降伏応力は土かぶり圧を大きく受けたものほど大きいと考えるならば、深度の増大とともに圧密降伏応力は増大するはずである。

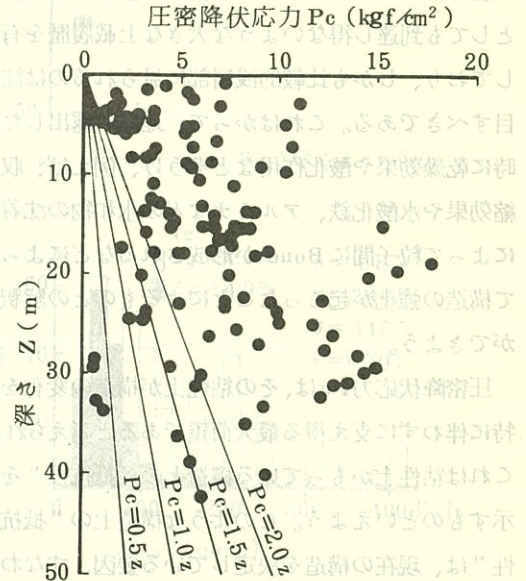


図-7 圧密降伏応力  $P_c$  と深さ  $Z$ との関係

ここに、土の単位体積重量をかりに砂で2.0 t/m<sup>3</sup>、粘土で1.5 t/m<sup>3</sup>とし、土かぶり圧のみで圧密されたとすれば、極端ないくつかの場合は次のようになる。

(i) 地下水面が上方になく、上方が全部砂層のとき、 $P_c = 2.0 Z$

(ii) 地下水面が上方になく、上方が全部粘土層のとき、 $P_c = 1.5 Z$

(iii) 地下水面が地表あり、上方が全部砂層のとき、 $P_c = 1.0 Z$

(iv) 地下水面が地表あり、上方が全部粘性土のとき、 $P_c = 0.5 Z$

これらの関係を一応参考までに図-7に併記してある。

この図から、圧密降伏応力  $P_c$  は深さとともに増大する傾向を示しているが、かなりばらついていることがわかる。特に、ばらつきは比較的浅層部において大きいことは注目すべきである。

洪積粘性土は古い地質年代のため、圧密降伏応力が土かぶり圧よりかなり上まわっており、過圧密の状態となっている。さらに、図-7からわかるように、これら洪積粘性土の圧密降伏応力  $P_c$  の値のほとんどは、かって被覆層を復元してみたとしても到達し得ないような大きな上載履歴を有しており、しかも比較的浅層部に見られるのは注目すべきである。これはかって、地表に露出した時に乾燥効果や酸化作用などをうけ、例えは、収縮効果や水酸化鉄、アルミナなどの水和物の沈着によって粒子間に Bond<sup>2)</sup> が形成されるなどによって構造の強化が起こったことによるものとの解釈ができる。

圧密降伏応力  $P_c$  は、その粘性土が構造の変化を特に伴わずに支え得る最大荷重であると考えられ、これは粘性土がもっている構造上の“抵抗性”を示すものといえよう。このような構造上の“抵抗性”は、現在の構造を決定している要因、すなわち、粘土質粒子の組成、間隙水の量および質、そ

の粘性土が堆積したときの環境条件や応力履歴などによって決まってくるものであろう。したがって、圧密降伏応力  $P_c$  の値のばらつきの原因としては、先づ第一に、地域的による堆積環境の相違による応力履歴が、次に、試料採取による応力解放によって生ずる圧密降伏応力  $P_c$  の低下などが考えられる。

以上のような観点から、構造物の基礎の設計、施工での变形に対する検討に当っては、施工場所での応力履歴やサンプリングの深度、さらに後述する圧縮指数  $C_c$  による乱れの状態をみながら圧密降伏応力  $P_c$  を評価する必要がある。

## (2) 圧縮指数 $C_c$ と液性限界 LL

圧密曲線の処女圧密の部分の勾配を圧縮指数  $C_c$  と呼び、処女圧密沈下量の計算に用いられるが、この圧縮指数  $C_c$  と液性限界 LL との関係として、Skempton の式、 $C_c = 0.009 (LL - 10)$  がよく知られている。

図-8は、名古屋東部地域の洪積粘性土の  $C_c$  と LL との関係を示したもので、 $C_c$  と LL との関係を求めるとき、 $C_c = 0.004 (LL + 44.75)$  、相関係数  $r$  は0.43が得られる。同図中には、この関係式と Skempton の式を併記してある。この図より、名古屋東部地域の洪積粘性土は、Skempton の関係式より小さい圧縮指数であることがわかる。なお、Skempton の関係式は、地域的に必ずしも適応しないことが各地の粘土についての調査から示されているので、注意しなければならない。

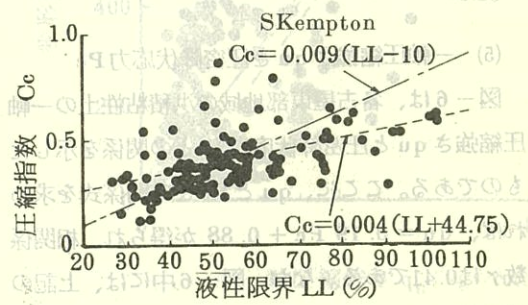


図-8 圧縮指数  $C_c$  と液性限界 LL との関係

また、図-8からわかるように、 $C_c$ とLLとの間にはかなりのばらつきがある。これは、液性限界LLの値などの測定誤差にも起因する面もあるが、おそらく圧縮指数 $C_c$ の値が液性限界LLのような土粒子自体がもっている性質だけでなく、含水状態を決定する堆積時の要因や土粒子のつくる構造などにも関係しているものと考えられる。

### (3) 圧縮指数 $C_c$ と初期間隙比 $e_0$

圧縮指数 $C_c$ は初期間隙比 $e_0$ と相関のあることが西田<sup>4)</sup>や渡辺ら<sup>5)</sup>により指摘されている。図-9は、名古屋東部地域の洪積粘性土の $C_c$ と $e_0$ との関係を示したものである。名古屋東部地域の洪積粘性土の $C_c$ と $e_0$ との関係式を求めれば、 $C_c = 0.66 e_0 - 0.24$ が得られ、また、相関係数 $r$ は0.94と高い相関性を示している。なお、同図中には、桑原、堀内による名古屋地盤の沖積粘土層のみを対象とした $C_c$ と $e_0$ の関係式も併記してある。これより、洪積粘性土は沖積粘土より高い圧縮指数をもっていることがわかる。ここで、洪積粘性土の圧縮指数が同じ間隙比の沖積粘土より大きい値となっているが、これは、古い時代の粘土は圧密降伏応力が高くなっているので、同じ荷重条件に対して沈下量が大きいことにならない。

圧縮指数 $C_c$ の値、すなわち、荷重増の対数値に対する間隙比の減少量は、初期間隙状態 $e_0$ によって一般に規定されることを示している。また、自然状態の間隙比は、土自体の堆積時の条件そのまま反映している面が強いものである。したが

って、圧縮指数 $C_c$ の値も土の性質や堆積時の条件に強く支配されるものであるといえよう。

### 4. 洪積粘性土の試料の乱れの検討

乱さない採取粘土の一軸圧縮試験を行う場合、実験室では試験に供されている試料が確かに乱されていない試料であるかどうか疑わしい場合がある。その点を判断するときに参考になる関係として変形係数 $E_{50}$ と一軸圧縮強さ $q_u$ との比 $\alpha (= E_{50} / (q_u / 2))$ が提案され、この常数 $\alpha$ より小

$$E_{50} / (q_u / 2)$$

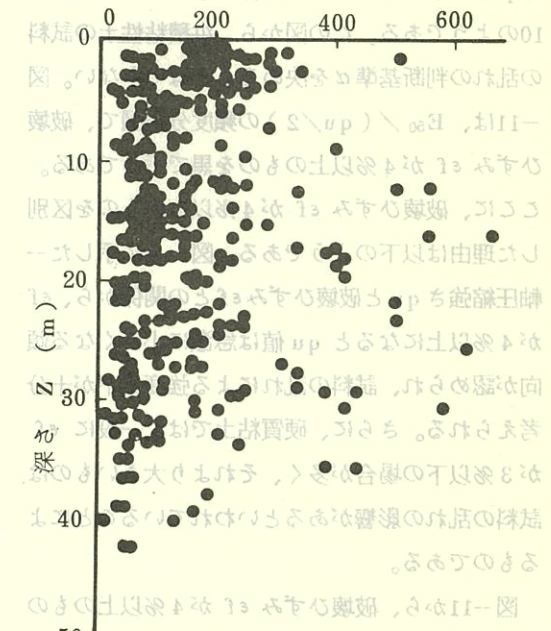


図-10  $E_{50} / (q_u / 2)$  と深さ $Z$ との関係

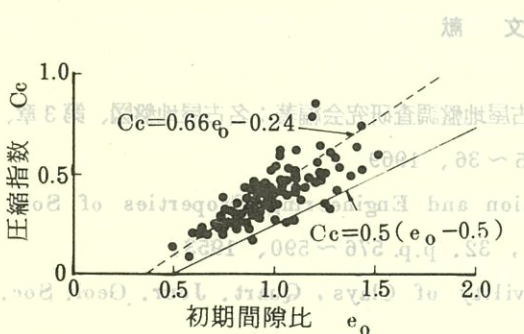


図-9 圧縮指数 $C_c$ と初期間隙比 $e_0$ との関係

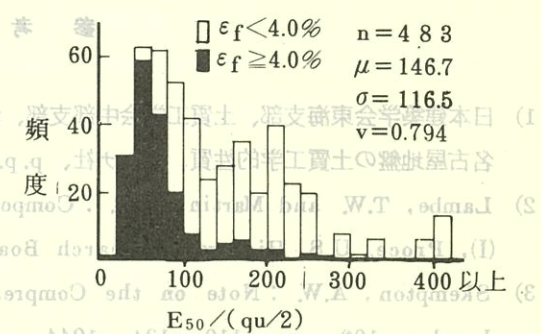


図-11  $E_{50} / (q_u / 2)$  の頻度分布図との関係

さい値をとる場合は、その試料が乱れないと判断している。例えば、竹中は乱されていない土の一軸圧縮試験の初期弾性係数  $E$  と粘着力  $C_u$  との関係、 $E = 210C_u \approx 105 q_u$  が提案されている。

ここに、 $C_u$  としては一軸圧縮強さ  $q_u$  の  $1/2$  がとられている。この  $E$  と  $q_u$  との関係は大阪付近の沖積層および洪積層の粘土にもとづいており、塑性の高い海成粘土など、結合水の構造の発達したものについて成立するといわれている。

名古屋東部地域の洪積粘性土について、 $E_{50} / (q_u / 2)$  と深さ  $Z$  との関係を示してみると図-10のようである。この図から、洪積粘性土の試料の乱れの判断基準  $\alpha$  を決めることはできない。図-11は、 $E_{50} / (q_u / 2)$  の頻度分布図で、破壊ひずみ  $\epsilon_f$  が 4% 以上のものを黒で示してある。

ここに、破壊ひずみ  $\epsilon_f$  が 4% 以上のものを区別した理由は以下のようである。図-3に示した一軸圧縮強さ  $q_u$  と破壊ひずみ  $\epsilon_f$  との関係から、 $\epsilon_f$  が 4% 以上になると  $q_u$  値は急激に小さくなる傾向が認められ、試料の乱れによる強度低下が十分考えられる。さらに、硬質粘土では、一般に  $\epsilon_f$  が 3% 以下の場合が多く、それより大きいものは試料の乱れの影響があるといわれていることによるものである。

して図-11から、破壊ひずみ  $\epsilon_f$  が 4% 以上のものは、 $E_{50} / (q_u / 2)$  の値が 200 以下であること時間がわかる。これは前述した竹中の値とはほぼ等しい。

したがって、洪積粘性土の試料の乱れの判断基準としては、 $E_{50} / (q_u / 2)$  が 200 以下で、破壊ひずみ  $\epsilon_f$  が 4% 以上のものを試料が乱れていると考えることができると思われる。

## 5 まとめ

名古屋東部地域の洪積粘性土を対象にその強度特性および圧密特性について、各種土質諸係数との関連において検討を加えた結果、データのばらつきが非常に大きく、およそ定量的なデータとして扱い得る範囲を越える場合が少なくないことが明らかとなった。このように、洪積粘性土の土質試験結果のばらつきの大きい原因としては、材質が一般にまろく、試験素材として取扱いに高度な技術が要求されるだけでなく、自然状態における潜在的なクラックや局部的な変質などの洪積粘性土自体に内在する材料特性の不均一性が大きく影響しているものと考えられる。勿論、サンプリングから試料の運搬、保存さらに供試体の整形時の乱れなどがばらつきの原因となることはいうまでもないが、これらは人為的なものであって、これらによるばらつきを小さくすることは可能である。しかしながら、洪積粘性土の土質試験結果に大きなばらつきがあることを考えると、単にサンプリングから試験までの問題だけではなく、試験そのものおよびその適用方法についても根本的に考慮する必要があるのではないかと思われる。

## 参考文献

- 日本建築学会東海支部、土質工学会中部支部、名古屋地盤調査研究会編著：名古屋地盤図、第3章、名古屋地盤の土質工学的性質、コロナ社、p.p. 25～36、1969.
- Lambe, T.W. and Martin, R.T. : Composition and Engineering Properties of Soil (I), Proc. U.S. Highway Research Board, 32. p.p. 576～590, 1953.
- Skempton, A.W. : Note on the Compressibility of Clays, Quart. Jour. Geol. Soc. London, 100, p.p. 119～134, 1944.
- 西田義親：土の圧縮性に関する考察、土木学会論文報告集、No.43、p.p. 48～52、1957.

5) 渡辺進、井元美晴：初期間隙比から圧密沈下量を求める方法、土と基礎、No. 57、p. p. 7～11、1962年

6) 桑原徹、堀田孝英：名古屋南部の軟弱粘性土の性質について、名城大学理工学部研究報告、第7号、p. p. 34～59、1966年

7) 竹中準之介：粘土のサンプリングとその信頼度、「土質材料の力学と試験法における最近の問題点」

日本材料試験協会関西支部、1962年

目的的な視野で見た場合、水期の堆積物とし

てよりも生じた砂浜地盤により、礫地盤の下刻作

れている。

### 代田の第4巻

私が個人においても、この時期に記録するが、

第3巻、第2巻、第1巻、お得意の第4巻

がもの。当第4巻の合併は、代田と第4巻

が、ある岩手山地の一部の合併式。代田

あら和歌山地も含む頭尾の主張、おおけず古のこ

ち代田の横濱市、代田、代田、代田、代田、

。みどりは代田の北側の山地を含む古の古の

。代田の主張は、おおきな代田の主張は、

おおきな代田の主張は、おおきな代田の主張は、

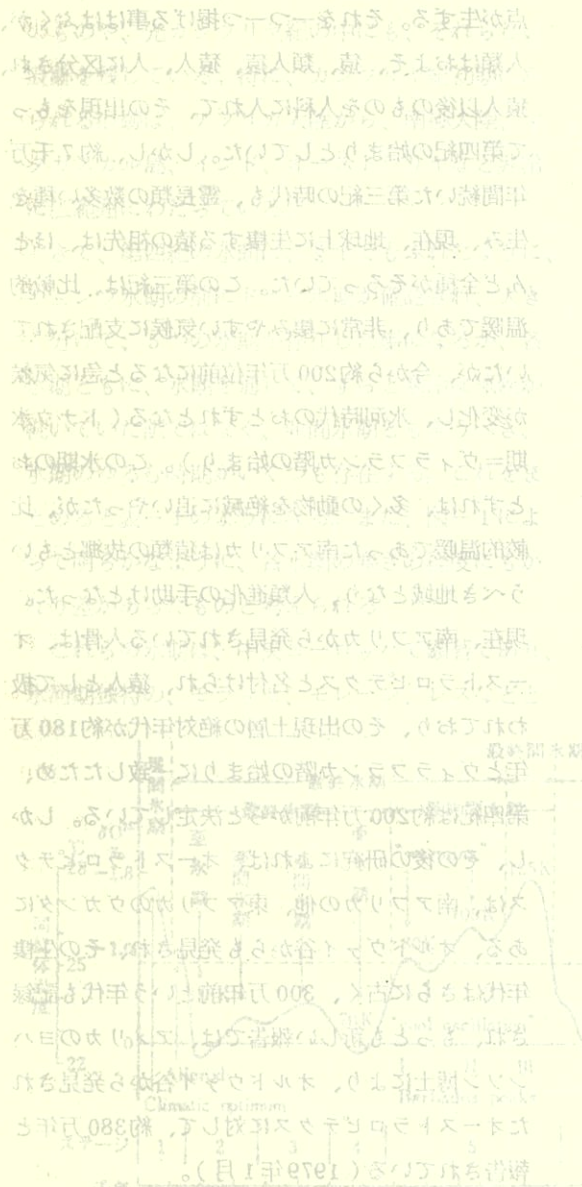


図-1 30万年河床の砂の強度と時間の関係  
（1960年）

（1960年）

# 第四紀

断している。例えば、地中は置きれていないもの

としては、Eso. 3. 19 (2) が 200 万年前と

関係、E = 210°C のもののが後述されている。

東京ソイルリサーチ名古屋事務所

もその間に西暦 1000 年前後で半式の木質

変形のうちでこれまでに見つかってい

とされている。このうち最も古いものは、約 100

万年前のものである。

## 1 第四紀の区分

第四紀の意味は、第一紀、第二紀、第三紀、第四紀と区分した場合の第四紀に当る。このように区分した場合の第一紀は古生代に当るが、ただし、この古生代には、原生代以前も含まれた意味がある。現在では、始生代、原生代、古生代と区分され、古生代はさらに 6 つの紀に区分されている。また、第二紀は生物相から中生代とされ、3 つの紀に区分されている。そもそも、地質時代の区分は、生物相の変化を主体として区分されているので、始生代、原生代、古生代、中生代、新生代、現生代と区分することが妥当とする意見もあるが、地球全体を見わたして区分する場合、中には何千万年もの間、全く生物がいなかった地域、あるいは、その時代を代表する特徴的な生物が存在しなかったりする地域があって、一概に、先の意見を一方的に取り入れる訳にもいかない面がある。しかし、古生代以後の時代には、それ以前の時代と比較すると、著しく生命個体が増え、各時代の小区分も可能となってくる。

ところで、第四紀は、現在第三紀と共に新生代に区分されているが、以前は第四紀を現生代として区別していた。しかし、第三紀と第四紀では、各々の時代に生息していた生物の棲息機能、型態などを比較して、明確に区分するほどの事はないと判断され、統合されたものである。とは言え、第四紀は、人類の出現した時代でもあり、その区分には、充分意味のあることである。

さて、第四紀は人類の出現した時代と一言で言っているが、人類の出現とは、どの時点を指しているかとなると、非常にむづかしい幾つかの問題

がある。それを一つ一つ掲げる事ははぶくが、

人類はおよそ、猿、類人猿、猿人、人に区分され、猿人以後のものを人科に入れて、その出現をもって第四紀の始まりとしていた。しかし、約 7 千万年間続いた第三紀の時代も、靈長類の数多い種を生み、現在、地球上に生息する猿の祖先は、ほとんど全種がそろっていた。この第三紀は、比較的温暖であり、非常に棲みやすい気候に支配されていたが、今から約 200 万年前になると急に気候が変化し、氷河時代のおとずれとなる（ドナウ氷期=ヴィラフランカ階の始まり）。この氷期のおとずれは、多くの動物を絶滅に追いやったが、比較的温暖であった南アフリカは猿類の故郷ともいいうべき地域となり、人類進化の手助けとなった。現在、南アフリカから発見されている人骨は、オーストラロピテクスと名付けられ、猿人として扱われており、その出現土層の絶対年代が約 180 万年とヴィラフランカ階の始まりに一致したため、第四紀は約 200 万年前からと決定している。しかし、その後の研究によれば、オーストラロピテクスは、南アフリカの他、東アフリカのケニアにある、オルドヴァイ谷からも発見され、その生息年代はさらに古く、300 万年前という年代も記録され、もっとも新しい報告では、アメリカのヨハニソン博士により、オルドヴァイ谷から発見されたオーストラロピテクスに対して、約 380 万年と報告されている（1979 年 1 月）。

しかし、第四紀の始まりは、氷河期の始まりとも相まって、約 200 万年前とされている。

## 2 第四紀の気候

第四紀の気候は氷河で代表されるが、地球全体が氷で被われた訳ではない。また、氷河そのものについても、氷河は第四紀のみに発生した気象現象ではなく、古くは、古生代の初期、すなわち先カンブリヤ紀から、カンブリヤ紀の始めにかけてのものや、先カンブリヤ紀の中にも、それらしい痕跡を残している。特に、カンブリヤ紀初期にみられる痕跡は、アフリカ大陸から、南極大陸、マダガスカル島、インド、オーストラリアなど非常に広範囲にわたっている。

さて、第四紀の氷期は、§ 1 でもふれたように、ギュンツ氷期の前にドナウ氷期が確認され、大きく分けて、5つの氷期が存在した事になるが、各氷期ともに、氷期を通じて、ずっと寒冷な気候が続いている訳ではなく、亜間氷期とも言うべき、氷期のゆるむ時期がいくつも存在する。これをまとめる表-1 のようになる。また、図-1 によって明らかなように、各氷期の寒さの程度にもかなり差があったものと考えられる。

これらの氷期は、中央ヨーロッパで顕著であり、氷河期独特の、モラッセ、モレーン、レスなどと

いった特殊な堆積物を多く残している。また、世界的な視野で見た場合、氷期の共通な堆積物としては砂礫層がある。これは、海の水が氷になることにより生じた海退現象により、陸地部の下刻作用が増進したため発生した結果である、と説明されている。

我が国においても、この氷期に対応する砂礫層の存在が多く認められる。

図-1 は、過去30万年間の氷河期と間氷期を通じ、寒冷期と温暖期の変化の状況を示したものである。

一方、洪積世と沖積世の境界の位置について、一般的には、1万年前としているが、これに対して、最終氷期のヴィルム氷期が、その勢力を弱め始めたのは、更に1万年前の約2万年前からであることが、図-1 より読みとれる。そして、この傾向は全世界的に認められる。その証拠として、この氷期の最盛期には、海面が現在より、130 m も下がり、これに伴って、海蝕台が形成され、それにより礫層が堆積した。この礫層と海蝕台は、世界的傾向として、現在の海底のいたる所で発見されている。したがって現在の間氷期は、2万年

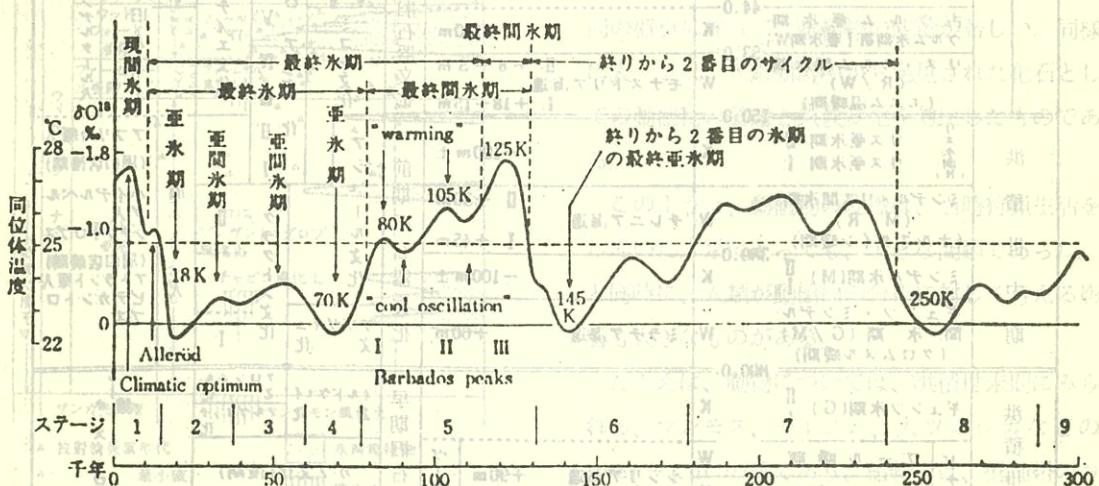


図-1 30万年以来の古水温-氷河量変動曲線と氷河気候変動に慣用・提案されている呼称

下位の数字は EMILIANI のステージ番号：最終氷期・最終間氷期の2案を示す。ステージ5全期間を最終間氷期とする場合。小波動に “cool oscillation” (ZAGWIJN, 1958) または “interwarming” と “warming” (SUGGATE, 1965) をあてる。後氷期変動例としてアレードと気候好転期 (Climatic optimum) を記入。

世界の第四紀 地質学的考察

表-1 第四紀の編年と旧石器文化(井尻正二・湊正 1966)

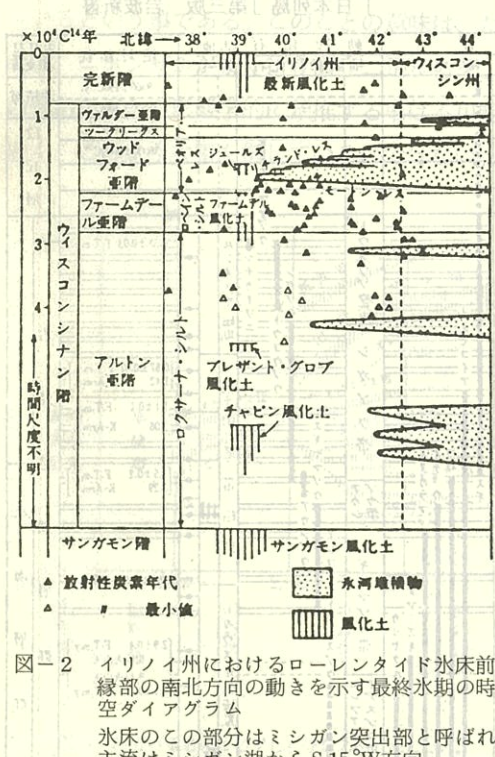
時代区分	編年 10 <sup>3</sup> 年前	気候	バルト海古地理 海進(南欧)水床	海水面 変動±	文化階梯	人類
沖積世	臺アトラント期 2.5	W	マイア海		新石器文化	
	臺ボレアル期 4.0	K	リムネア海		青銅文化	
	4.5				新石器文化	
	アトラント期 7.5	W	リットリナ海	+2 m -13 m	新石器文化	
	ボレアル期 8.0	K	アンシルス湖	-15 m	新石器文化	
	8.5				細石器文化	
	9.0		ヨルジア海	-スカンジナビヤ 水床 2 分		
	先ボレアル期 10.0	K				
	ウルム氷期第Ⅳ氷水期後期 11.0	W	ラ水堆石			
	アレード期 12.0		レニングラード水堆石			
洪積世	田ドリアス期 13.0	K	モスカニ			
	最古期 14.0	K	ラングランド水堆石	-70 m		
	ドリアス期 15.0					
	Wh <sub>2</sub> =WN 16.0		ボンメル水堆石			
	17.0					
	ウルム最盛期 (主ウルム氷期2) 20.0	W	最寒冷期	-130 m	マドレース文化	新人
	ウルム氷期第Ⅲ氷期 Wh <sub>2</sub> =WⅡ 25.0	K				ニヨン人
	26.0					
	バウドルフ間氷期Wh <sub>1</sub> /Wh <sub>2</sub> E.ウルム氷期 ウルム氷期第Ⅱ氷期 Wh <sub>1</sub> =WⅠ 29.0	W			ソリュトレ文化	
	ゲトワイゲル間氷期 WI/WII 44.0				VI	
中期	古ウルム氷期 ウルム氷期第Ⅰ氷期W <sub>1</sub> 53.0	K	ミコキ文化	-100 m	VII	
	リス・ウルム間氷期 (R/W) (エム温暖期) 150.0	W	モナストリア海進	II + 8~5 m I + 18~15 m	VIII	
	リス氷期Ⅱ リス氷期Ⅰ 580.0	K			ムステイエ文化	
	ミンデル・リス間氷期 (M/R) (ホルスタイン暖期)	W	アーリニヤック文化			
	ミンデル氷期(M) 630.0	K	アーリニヤック文化			
	ギュンツ・ミンデル 間氷期(G/M) (クロム・メル暖期) 680.0	W	アーリニヤック文化			
	ギュンツ氷期(G) 730.0	K	アーリニヤック文化			
	ドナウ寒冷期 780.0	W	アーリニヤック文化			
	エプロン寒期 830.0	K	アーリニヤック文化			
	テゲレン暖期 880.0	W	アーリニヤック文化			
前期	ブルエゲン寒期 930.0	K	アーリニヤック文化			
	新世 1000.0					

前から始まったという考え方を根拠として、沖積世も2万年前からとする説が出た。

この説は、地質学的に明瞭な境界を示したため、一時期、大勢を占めたが、第四紀と人類の発展はあくまで切り離せないと考え方により、人類分化の変化などから、現在では、また1万年説が大勢を占めるようになっている。最近では、地質学の方でも1万年説を探る人が増している。

なお、図-2は、氷期には、氷河の発達と共に、モレーンやモラッセなどの堆積物が多くなり、海面が後退する事により、海底が地表に出て、風化土壌を生成する状況を、緯度の変化に合わせて図化したものである。

註：モレーンは、日本では氷堆石あるいは堆石と訳しているが、本来は、地形を表わす言葉であることから、堆積物をティル、ティルでできた地形をモレーンとして区別すべきであるとの意見もある。



### 3 第四紀の生物

第四紀の生物界は、第四紀の特徴である氷河気候と人類によって、それ以前の時代には見られなかった頻繁な変化をみせている。

第四紀は、その期間の大部分に、いわゆる「氷河時代」が含まれる。極地域の生物は、大規模な大陸氷河が発達すると、それに追われるよう南下し、氷河が後退すると再び北上したが、時には北上の代わりに高山地域に隔離されたものを残す。また一方においては、氷河の前進に伴い、その後背地にある氷河作用からまぬかれた土地に一部が止まり、南下したものとの間に隔離を受ける。氷河が後退して再び北上してきたものと混合する。

このような、移動・分布拡大・混合という複雑な生物相の変遷が第四紀の生物地理としての特徴であり、特に温帯北部の生物の移り變りは著しいものがある。

図-3は、日本の第四紀の動植物の変遷を示したものであり、その内容は実に多様を極めている。

たとえば、現在、亜寒帯地域にみられるチョウセンゴヨウマツ、あるいは熱帯地方の動物であるゾウ、サイ、ワニなどの化石が知られており、氷河の盛衰に伴って、動植物の変遷が著しい。同様に表-2は、大阪層群中から発見された化石としての動植物の変遷と気候変化を対比したものである。

このような、動植物の変遷は、当時狩猟生活をしていた人類にとっても、大きな問題であった。と同時に、人類が動植物の分布に対して与える影響も大きなものがある。

たとえば、動物については、洪積世末期にみられる、マンモス、バイソン、大ツノジカなどのover-kill の例であり、植物では、低地帯のヨシ、丘陵・台地のスダシイが、水田文化の発達とともに、イネ・ヒエなどに取って変わられている。一方動物は、ヤギ・ウシなどの家畜化に伴い、その量の増大が、自然における動物の生活空間を狭

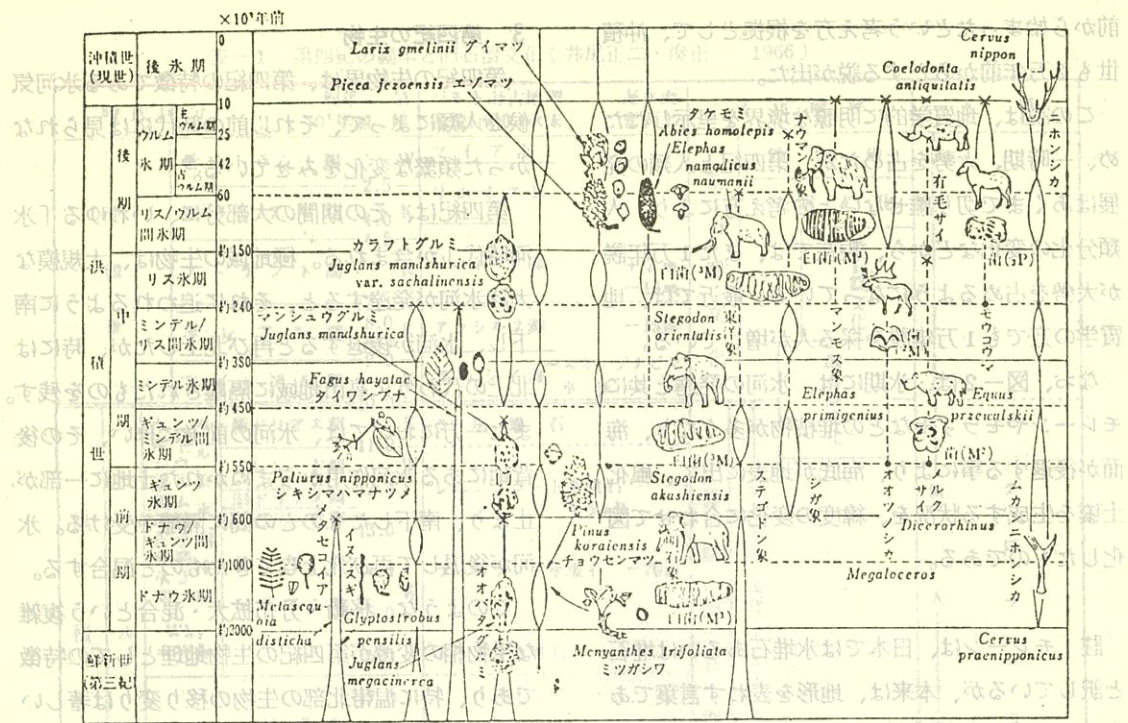


図-3 日本の第四紀の動植物の変遷 地球科学講座11「第四紀」共立出版  
表-2 大阪地域の鮮新・洪積 統の層序表 (市原実、1957年)

「日本列島」第三版 岩波新書

地質年代	層序区分	気候変化	植物化石	石	動物化石	占地	絶対年代	古地図
沖積世	沖積層		ムクノキ					沖積層
後期	低位段丘層	寒冷	エゾイタヤ サワシバ				9.60±1.90 m.y.	
洪積世	中位段丘層						18.8±1.30 m.y.	
中期	高位段丘層						29.00±8.00 m.y.	
洪積世	旧高位段丘層						38.00±3.00 m.y.	
前	大	暖温	マツ					
洪積世	吸水層	温帯	アザクシ					
古	北							
新	湖							
世	海							

●正確な ○推定値 m.y.=100万年 F.T.=フィッシュントラック法 K-Ar=カリウム・アルゴン法

くしていったといえようし、文化の発達に伴い、人間の生活空間の拡がりも大きく影響していくと言える。現在では、その影響は亜高山帯にまで及びつつある。

#### 4 第四紀の人類

人類の歴史が、猿人として始まり、その始まりが約400万年前まで逆のぼりそだという事を§1に述べた。

それでは、人類と他の靈長類とはどのような点で区別されるのであろうか。良く言われているように、直立二足歩行が生活態型であり、道具を使用する事、つまり手で物をつかめる事または道具を造れる事、脳容積が大きい事などが人としての条件として挙げられている。しかし、これらの方が本当に人を人として特徴付けているのだろうか。

直立二足歩行の場合、直立二足歩行ができるという事ではなく、直立二足歩行が生活態型となっているという事である。このことの意味は、たとえば、ニホンザルがよく行う直立二足歩行を、その骨格などから形態学的に類推する事は不可能に近く、このような事を指しているのではない。し

かし、我々はニホンザルが直立二足歩行を行うのを目にして知っているので、話が現代に限られれば、さほど問題はない。しかし、過去に逆のぼると、いったい、いつごろから人類は直立二足歩行をするようになったのであろうか。少なくとも、直立二足歩行が形態学的に確認されたのは、オーストラロピテクス類からであるが、それもかなり不完全なものであった。とは言え、生態学的ないし行動レベルからみて、オーストラロピテクス類の直立二足歩行は、その生活に定着していたとみてよいと結論されている。つまり、人類が本当に人類らしくなったのは、オーストラロピテクス類以後で、それまではかなり類人猿的だったと言えそうである。しかし、この時期になって始めて、類人猿類と人類が分岐したという事ではない(図-4および表-3参照)。

東アフリカとインドで、第三紀中新世後期の地層から発見されたラマピテクスは、ほぼ同時代のドリオピテクスにくらべると、テナガザルくらいの大きさで、小さく貧弱で、切歯・犬歯の大きさが著しく退化している。

また、歯列弓はアーチ型をしており、類人猿より、ずっと人科に近い。したがって、類人猿科と

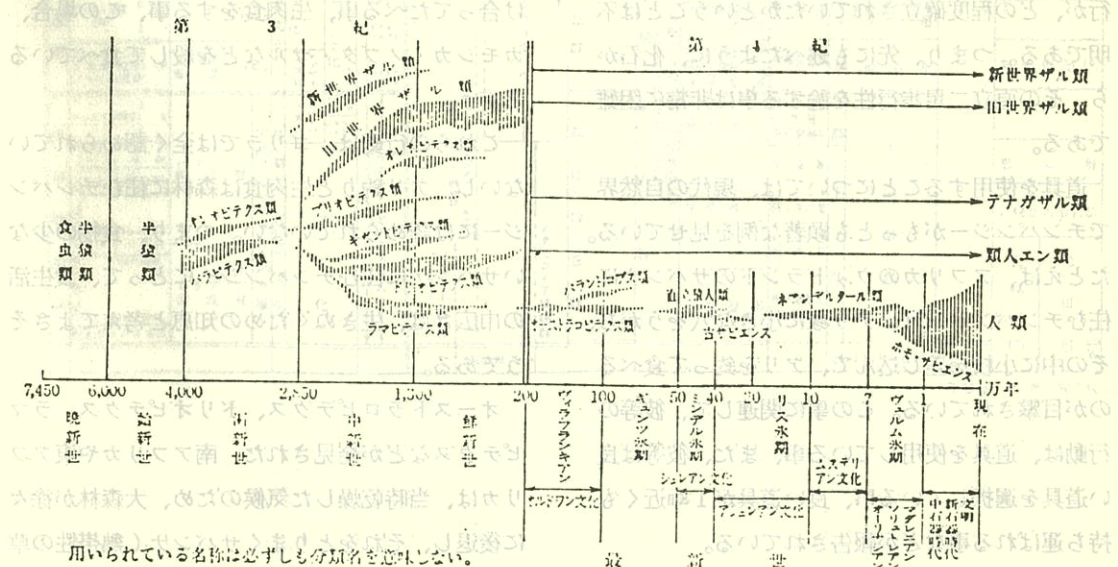


図-4. 出土化石にもとづく系統樹および時代区分図(科学 Vol. 37. No. 4)

表一3 人類進化の編年(科学 Vol. 48, No. 4)

地質時代	年代	文化	人類進化	おもな人類化石
現世(沖積世)	10,000	金属器 新石器	新人 (現代人)	クロマニヨン
更新世(リス氷期)	70,000	後期旧石器	田人 (ネアンデルタール)	ネアンデルタール スピー
洪積世(ミンデル氷期)	300,000	中期旧石器	原人 (ピテカントロpus)	シナントロpus ピテカントロpus
氷河期(ギュンツ氷期)	700,000	前期旧石器	猿人 (オルドワン)	パラントロpus アウストラロピテクス
鮮新世	3,000,000			

人科の分岐は中新世頃とするのが、最近の趨勢となっている。しかし、一方では、ドリオピテクスとラマピテクスは雌雄のちがいであるという説もあるが、いずれにせよ、この段階で、直立二足歩行が、どの程度確立されていたかということは不明である。つまり、先にも述べたように、化石から、その直立二足歩行性を論ずる事は非常に困難である。

道具を使用することについては、現代の自然界でチンパンジーがもっとも顕著な例を見せてている。たとえば、アフリカのウッドランドのサバンナに住むチンパンジーは、アリ塚に小さな穴をうがち、その中に小枝を差し込んで、アリを釣って食べる事が目撲されている。この事に関連して、彼等の行動は、道具を使用している事、また、彼等は良い道具を選択している事、良い道具が1km近くも持ち運ばれる事などが報告されている。

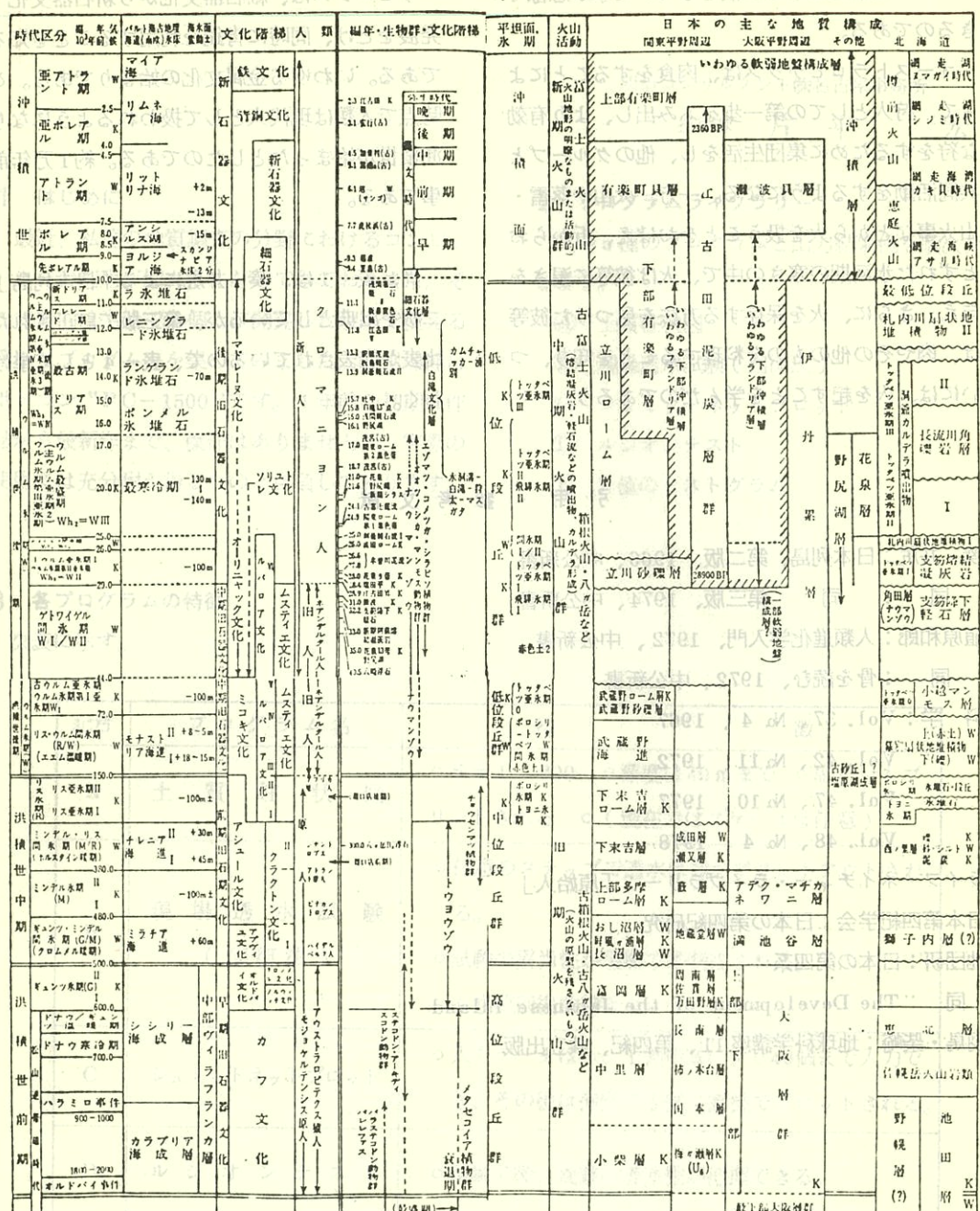
また、チンパンジーについては、いくつかの興

味ある事実が報告されている。餌付けに成功したチンパンジーたちが、餌場に出て来て、お互いにアイツの行動をすること、また、獲物を5~6頭のチンパンジーが、ケンカをする事もなく、分け合ってたべる事、生肉食をする事、この場合、カモシカ・ノブタ・サルなどを殺して食べていると言う。

これらの行動は、ゴリラでは全く認められていないし、アリ釣りと生肉食は森林に住むチンパンジーには認められていない。つまり、食物の少ないサバンナに住むチンパンジーにとって、食生活の巾広さは、生きぬくための知恵と考えてよさそうである。

オーストラロピテクス、ドリオピテクス、ラマピテクスなどが発見された、南アフリカや東アフリカは、当時乾燥した気候のため、大森林が徐々に後退し、それをとりまくサバンナ(熱帯性の草原)が発達しつつあった。

表-4 第四紀対比表(湊・井尻 1974「日本列島」)



したがって、彼等は現代のサバンナに住むチンパンジーと似たような生活をしていた事が想像できるのである。

オーストラロピテクスは、肉食をすることによって、狩人としての第一歩をふみ出し、より有効な狩をするために集団生活をし、他のグループと共同活動をするようになる。一方、火山や落雷・山火事などから火を扱うことをおぼえ、折からおとずれた氷河期の寒さの中で、火は彼等に温さを与える、さらに、火を保存する方法を見つけた彼等は、肉やその他のものを料理することを知り、ついには、火を起すことを学んだのであろう。

洪積世も終りに近づいた頃、当時の人類、ホモ・サピエンスは、細石器文化から新石器文化へと

発展をとげ、同時に青銅を利用することを知るのである。いわゆる金属文化の始まりである。この時点では人類は現代人として扱われるようになり、沖積世が始まったとしたのである。約1万年前の事である。

尚、表-1は、湊・井尻による「日本列島」第二版を出典としているが、第三版で訂正された対比表が発表されているので、表-4として挙げておく。

### 引用・参考文献

湊・井尻：日本列島、第二版、1966、中公新書

同：同 第三版、1974、中公新書

埴原和郎：人類進化学入門、1972、中公新書

同：骨を読む、1972、中公新書

科学：Vol. 37、No. 4、1967

Vol. 42、No. 11、1972

Vol. 47、No. 10、1977

Vol. 48、No. 4、1978

ライフ・ネイチャー・ライブラリー：「原始人」

日本第四紀学会：日本の第四紀研究

地団研：日本の第四系

同：The Development of the Japanese Island

羽鳥・柴崎：地球科学講座 11、第四紀、共立出版

W: X: Y: Z: 各種不<sup>良</sup>の行動が目撃されている。この事に因連して、彼等の行動は、道具を使用している事、また、彼らは扱い道具を選択している事、良い道具が1km近くも持ち運ばれる事などが報告されている。

また、チンパンジーについて、いくつかの興

味ある行動が見つかる。トリオヒーロー、アラカルトなどの名前で発見された。南アフリカや東アフリカでは、熱帯気候のため、大森林が広々と広がり、それをとりまく熱帯性の草原が発達しつつある。

# 現場で使える「ソフト」いろいろ

明治コンサルタント株名古屋事務所

技術課 片 平 宏

## 1 はじめに

最近、私達の地質調査の分野におけるコンピューターの利用が増々多くなってきております。そこで今回は当社で各個人が開発した現場で使える簡単なプログラムを集めてみました。使用機種はポケコン "PC-1500" です。1年前の初期の作品から最新作まで、傑作はありませんが、実際の使用には充分耐え得るものと自負しております。

## 3 各プログラムの特徴

次表に示す。

## 2 プログラムライブラリー

次の5種のプログラムと出力結果例を順次発表します。

- Ⓐ 土質柱状図
- Ⓑ 現場透水試験(回復法)
- Ⓒ シュミットネットプロット
- Ⓓ ルジオントスト
- Ⓔ N値のヒストグラム

記号	プログラム名	特 徴
A	土質柱状図	○ $S = 1 : 200$ ○ 深度は40mまで ○ 副記号もプリントされる + ○(現在ではスケールは任意)
B	現場透水試験 (回復法)	○ 任意のステップで透水係数がプリントアウトされる。 ○ 試験の妥当性が現場で即判定される。 (水位回復曲線より)
C	シュミットネットプロット	○ 入力データは∞、1回のRUNで40個まで入力でき、その後は何回でも同じ座標でプロットされる。
D	ルジオントスト	○ 現場で即、地盤の透水性が把握できる。
E	N値ヒストグラム	○ 調査報告書に採用でき、トレース不要。

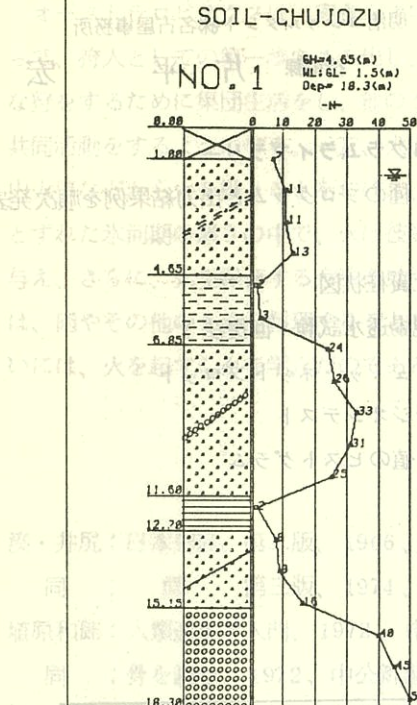
» 次の頁へ

Ⓐ

### 土質柱状図

(出力例)

あるのである。



### (プログラムリスト)

```

1:/*CLEAR
2:WAIT 50:PRINT "CHUJOZU"
3:INPUT "INPUT No.":a:INPUT "SH(
  a)":b
4:INPUT "DEP(a)":d
5:INPUT "WL(GL)":w
6:INPUT "D:DIM AC(1)
7:USING
8:FOR I=1 TO C:WAIT B:PRINT "NC!";*
  */
10:INPUT AC(I):CLS :NEXT I
11:INPUT "CHISOUUU":E:0IM Z(E),Y(E),X(E),K(E)
16:FOR J=1 TO E:WAIT B:PRINT "SHINDO
  (*,1)":*
17:INPUT Z(J):CLS
18:WAIT B:PRINT "S-NAME(C1,M2,S3,
  S5)":*
19:INPUT Y(J):CLS
20:WAIT B:PRINT "SUBMARK?":*
21:INPUT XC1:CLS :NEXT J
58:GRAPH COLOR (48,8):SORGN :
  COLOR 1:GLCURSOR (48,8):LPRINT "
  SOIL-CHUJOZU":COLOR 2
51:GLCURSOR (25,-58):LSIZE 3:LPRINT "
  NO.":a
52:GLCURSOR (120,-30):LSIZE 1:
  LPRINT "WL":b;"("a")
53:GLCURSOR (120,-40):LPRINT "WL:GL
  -":c;"("a")
54:GLCURSOR (120,-58):LPRINT "Dep":
  d;"("a")
56:GLCURSOR (135,-65):LPRINT "-N-
  57:GLCURSOR (25,-78):LPRINT "B"
58:FOR J=1 TO 58STEP 1B
59:GLCURSOR (68,542.5*I,-78):CSIZE
  1:LPRINT J:NEXT J

```

```

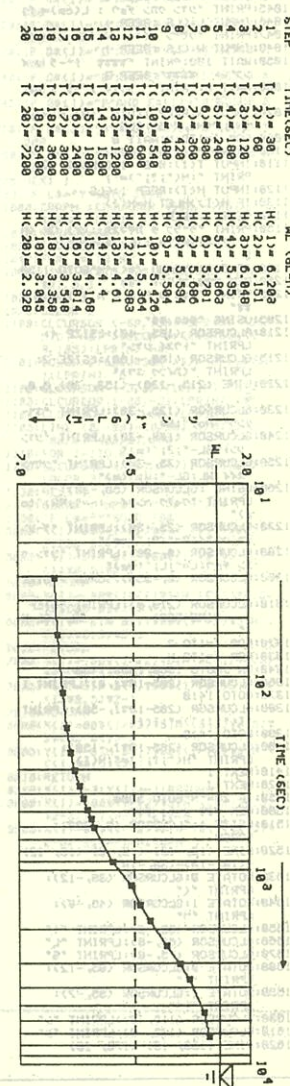
680:LINE (0,-88)-(29,-88):GLCURSOR (
  5,-88):LPRINT "B, 88":GLCURSOR (0
  ,-88):SORGN
681:LINE (28,0)-(282.5,-W*24.6)-(282.5,-W*2
  4.6),0
682:LINE (182.5,-W*24.6)-(182.5,-W*2
  4.6+5)-(187.5,-W*24.6+5)-(192.5,
  -W*24.6)
683:LINE (182.5,-W*24.6-2)-(197.5,-W
  *24.6-2):LINE (198,-W*24.6-4)-(1
  95,-W*24.6-4)
684:COLOR 8
685:IF D<=2860TO 645
618:LINE (28,0)-(285,8):LINE (285,8)
  -(285,-492)-(28,0)
628:LINE (88,8)-(88,-492):LINE (82,-
  588,-82,0)
638:FOR I=1TO 158STEP 58
635:I=J-1:(-1,-492)
648:LINE (I+25,-492)-(I+25,B):NEXT I
  :GLCURSOR (88,0):SORGN
641:IF D>2860TO 988
645:LINE (28,0)-(285,-D*24.6),8,8
646:LINE (88,0),-D*24.6):LINE (8
  ,0)
642:FOR I=1TO 158STEP 58
648:LINE (I,-1)-(-1,-D*24.6)
  :NEXT I
649:LINE (I+25,-D*24.6)-(I+25,B):
  NEXT I
658:GLCURSOR (88,0):SORGN
678:FOR J=1 TO C:GLCURSOR (2.5#A(I)-1
  ,5,-24.6#I-8.5):CSIZE 3:LPRINT "
  :NEXT J
688:FOR J=1 TO C-1:COLOR 2:LINE (2.5#
  A(I))-24.6#I-1.5)-(2.5#A(I+1))-2
  4.6#I-23.1):NEXT J
698:FOR I=1 TO C:COLOR 3:GLCURSOR (2,
  5#A(I)-4.5,-24.6#I):CSIZE 1:
  LPRINT A(I):NEXT J
695:GLCURSOR (-88,0):SORGN :COLOR 8
788:FOR I=1 TO E:LINE (8,-Z(I))COLOR 6-
  (80,-Z(I)*24.6):GLCURSOR (-7,-Z(
  I)*24.6),1,5
718:USING "###.##":LPRINT Z(I):NEXT
  I
888:J=8
885:FOR I=1 TO E
818:ON Y(I)GO5UB 2888,3888,4888,5888
  ,6888
815:J=J
828:NEXT J
821:GOTO 1588
886:FOR I=1 TO 28:GLCURSOR (2.5#A(I)-
  4.5,-24.6#I-8.5):CSIZE 3:LPRINT "
  :NEXT I
985:LSIZE 1
918:FOR I=1 TO 19:COLOR 2:LINE (2.5#A
  (I))-24.6#I+1.5)-(2.5#A(I+1))-24
  .6#I-23.1):NEXT I
928:FOR I=1 TO 28:COLOR 3:GLCURSOR (2
  .5#A(I)-4.5,-24.6#I):CSIZE 1:
  LPRINT A(I):NEXT I
938:GLCURSOR (-88,0):SORGN :COLOR 8
948:J=8:FOR I=1 TO E
958:ON Y(I)GO5UB 2888,3888,4888,5888
  ,6888
955:LSIZE 1
968:LINE (8,-Z(I)*24.6)-(80,-Z(I)*24
  .6),8:GLCURSOR (-7,-Z(I)*24.6+
  1.5)
978:USING "###.##":LPRINT Z(I):NEXT
  I
998:GLCURSOR (8,-492):SORGN
991:COLOR 8
992:LINE (28,0)-(28,-24.6#D+492)-(28
  5,-24.6#D+492)-(285,0)
994:LINE (88,0)-(88,-24.6#D+492):
  LINE (82,-24.6#D+492)-(82,0)
996:FOR I=1TO 158STEP 58
998:LINE (I,-1)-(-1,-D*24.6+492)
1008:LINE (I+25,-24.6#D+492)-(I+25,
  0):NEXT I
1002:GLCURSOR (88,0):SORGN
1004:FOR I=2TO C:GLCURSOR (2.5#A(I)-
  4.5,-24.6#I+491.5):CSIZE 3:
  LPRINT ",":NEXT I
1005:CSIZE 1
1006:FOR I=2TO C-1:COLOR 2:LINE (2
  .5#A(I))-24.6#I+493.5)-(2.5#A(
  I+1))-24.6#I+468.5):NEXT I
1009:USING
1010:FOR I=2TO C:COLOR 3:GLCURSOR
  (2.5#A(I)-4.5,-24.6#I+492):
  LPRINT A(I):NEXT I
1028:GLCURSOR (32,-25#D+485):COLOR
  1:LPRINT "MEIJU CONSULTANT"
1058:END
2000:FOR Q=-J-310-Z(J)*24.6+5STEP
  -5:COLOR 1:LINE (28,0)-(88,0):
  NEXT 0
2005:P=24.6#Z(J)-J
2020:ON X(I)GO5UB 7888,8888,8188,82
  88,8388,8488,8588,8688,
2025:J=Z(I)*24.6
2030:RETURN

```

次頁に続く

③ 現場透水試験（回復法）  
(出力例)

トウヌイニシヤ  
(カイフカホウ)  
トウヌイニシヤ No. 1  
シゲン ジント GL = 12.00(m)  
シセナ スイ WL : GL = 2.64(m)  
ウツカツ ノルケイ : r = 3.3(cm)  
ケーニング : R = 4.35(cm)  
シゲン カン チヨウ:L = 30(cm)



```

3888:FOR Q=J-5TO -Z(J)*24.6+12STEP 1
3818:LINE (28,0)-(88,0),5,J:IF Q=4,
    RC-Z(J)*25THEN 3815
3812:LINE (33,0-5)-(75,0-5),5,J:NEXT J
3815:Q=24.6*Z(J)-J
3838:ON X(J)*60SUB 7988,8888,8188,82
    88,8388,8488,8588,8688
3835:J=Z(J)*24.6
3848:COLOR J:FOR Q=J-5TO -Z(J)*24.
    6+12STEP 1J
4188:FOR H=38TO 24STEP 1J
4280:GLCURSOR (H,0):CSIZE 2:LPRINT
4286:NEXT H
4293:IF Q=4-Z(J)*24.6 THEN 4388
4388:FOR K=36TO 65STEP 1J
4381:GLCURSOR (K,0-5):LPRINT "."
4385:NEXT K:NEXT J
4386:P=24.6*Z(J)-J
4387:ON X(J)*60SUB 7988,8888,8188,82
    88,8388,8488,8588,8688
4385:J=Z(J)*24.6
4388:RETURN
5888:COLOR 1:FOR Q=J-7TO -Z(J)*24.
    6+6STEP 1J
5818:FOR H=38TO 22STEP 6
5820:GLCURSOR (H,0):CSIZE J:LPRINT
    "o":NEXT H:NEXT J
5825:P=24.6*Z(J)-J
5848:ON X(J)*60SUB 7988,8888,8188,82
    88,8388,8488,8588,8688
5845:J=Z(J)*24.6
5848:RETURN
6088:LINE (28,0)-(88,-Z(J)*24.6),8,
    1,1
6028:J=Z(J)*24.6:RETURN
7988:IF P>=38THEN 7358
7918:LINE (28,-Z(J)*24.6)-(88,-J),8
    1,1
7938:LINE (28,-Z(J)*24.6-3)-(24.8,-
    J),8,1
7948:GOTO 7928
7958:LINE (28,-8.5*J-Z(J)*12.3-15)-10CR
    "(88,-8.5*J-Z(J)*12.3+15),8,1
7968:LINE (28,-8.5*J-Z(J)*12.3-3*Z(J)-12)
    -(88,-8.5*J-Z(J)*12.3+15),8,1
7978:RETURN
8888:IF P>=38THEN 8858
8818:LINE (28,-Z(J)*24.6)-(88,-J),5
8828:LINE (28,-Z(J)*24.6-3)-(24.8,-
    J),5,1
8838:GOTO 8828
8858:LINE (28,-8.5*J-Z(J)*12.3-15)
    -(88,-8.5*J-Z(J)*12.3+15),5,1
8868:LINE (28,-8.5*J-Z(J)*12.3-12)
    -(88,-8.5*J-Z(J)*12.3+18),5,1
8878:RETURN
8888:IF P>=38THEN 8858
8218:LINE (28,-Z(J)*24.6)-(88,-J),8
    1,1
8228:LINE (28,-Z(J)*24.6-3)-(24.8,-
    J),1,1
8138:GOTO 8128
8158:LINE (28,-8.5*J-Z(J)*12.3-15)
    -(88,-8.5*J-Z(J)*12.3+15),1,1
8168:LINE (28,-8.5*J-Z(J)*12.3-12)
    -(88,-8.5*J-Z(J)*12.3+18),1,1
8178:RETURN
8208:IF P>=38THEN 8258
8218:LINE (28,-Z(J)*24.6)-(88,-J),8
    1,1
8228:GOTO 8268
8258:LINE (28,-8.5*J-Z(J)*12.3-15)
    -(88,-8.5*J-Z(J)*12.3+15),8,1
8268:RETURN
8288:IF P>=38THEN 8358
8318:LINE (28,-Z(J)*24.6)-(88,-J),5
    1,1
8328:GOTO 8368
8358:LINE (28,-8.5*J-Z(J)*12.3-15)
    -(88,-8.5*J-Z(J)*12.3+15),5,1
8368:RETURN
8408:IF P>=38THEN 8458
8418:LINE (28,-Z(J)*24.6)-(88,-J),1
    1
8428:GOTO 8468
8458:LINE (28,-8.5*J-Z(J)*12.3-15)
    -(88,-8.5*J-Z(J)*12.3+15),1,1
8468:RETURN
8508:U=24+I-28:IF P>29.52THEN 8558
8511:FOR R=-Z(J)*24.6TO -J-4STEP 2
8512:GLCURSOR (6,R):CSIZE 1:COLOR J
    :LPRINT "o"
8513:G=6*(J-8)-(J-24.6)*Z(J)-1-3
8514:G+6*NEXT R
8538:GOTO 8558
8558:R=-8.5*J-Z(J)*12.3-15TO -8
    ,3*J-Z(J)*12.3+15STEP 3
8551:U=U+6:GLCURSOR (U-4,2,R):CSIZE 1
    :COLOR J:LPRINT "o"
8552:U=U+4,2:NEXT R
8598:RETURN
8608:RETURN

```

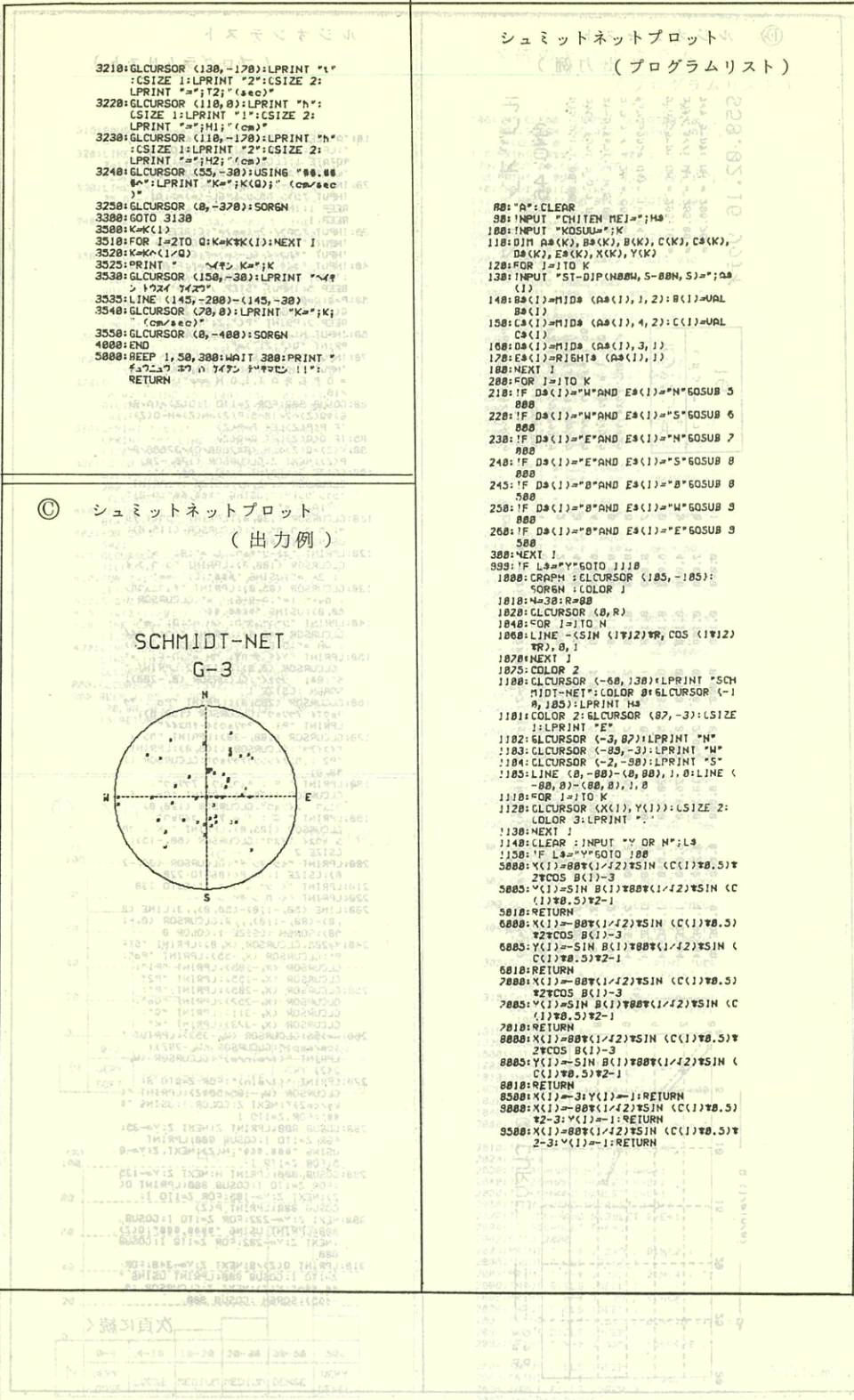
上 計 状 図 現場透水試験(プログラムリスト)

```

10:REM *** ワカ ジカ ***
20:CLEAR :GRAPH :GLCURSOR (0,-180):SORGN
30:SORGN :ROTATE 1
30:WAIT 100:PRINT **** ワカ ジカ ***
35:REM ***:BEEP 3
35:REM ***:BEEP 3
40:WAIT 0:PRINT " ワカ (1) : #"
40:(2) "#":=INKEY$:IF #="":
40:GOTO 40
50:IF #>"1" AND #<"9" THEN 40
52:IF #="2":GOSUB 5000:60TO 35:
55:BEEP 3
60:ON ASC #=48GOTO 1000,5000
1000:REM ***:BEEP 3
1010:WAIT 100:PRINT " ワカ ジカ ***
1010:(1) "#":=INKEY$:IF #="":
1010:GOTO 1010
1020:CLS :WAIT 0:PRINT " ワカ (2) No"
1020:INPUT B:CLS :BEEP 1
1030:PRINT " ワカ ジカ (GL-a) : ";
1035:INPUT Z:CLS :BEEP 1
1037:WAIT 100:PRINT " ワカ ジカ (GL-a) :
ノイズアット ##":BEEP 3
1039:WAIT 0:PRINT " ワカ (3) : #"
1040:INPUT RR:CLS :BEEP 1
1042:INPUT RL:CLS :BEEP 1
1043:PRINT " ワカ (4) : L(cm)= ";
1045:INPUT L:CLS :BEEP 1
1047:PRINT " ワカ (5) : WL(GL-m)= ";
1048:INPUT W:CLS :BEEP 1
1050:WAIT 100:PRINT " ワカ (6) : #"
1050:(7) "#":=INKEY$:IF #="":
1050:GOTO 1050
1060:WAIT 0:PRINT " ワカ (7) : #"
1070:INPUT N:BEEP 1:DIM TN(N),HN(X)
(KN,YKN),KS):CLS
1080:FOR I=1 TO N:WAIT 0
1100:INPUT T(I):BEEP 1:CURSOR 12:
1100:PRINT " MC":T(I)":=":
1120:INPUT H(I):BEEP 1:CLS
1130:IF H(I)=XHLET H(H(I))
1140:NEXT I:BEEP 3
1150:PRINT " ワカ (8) : #":(Y) OR (N):
1150:Z#=INKEY$:IF Z="#":GOTO 115
8
1150:IF Z<>"Y" AND Z<>"N":GOTO 1150
1200:REM *** プリント ***
1200:PRINT "*** O P E R A T I O N S "
1200:PRINT "***"
1200:PRINT " ***"
1200:GLCURSOR (-105,-40):CSIZE 4:
1200:LPRINT " ワカ (9) "
1200:GLCURSOR (-105,-100):CSIZE 2:
1200:LPRINT " ワカ (10) "
1220:LINE (215,-230)-(153,-38),0,B
1230:GLCURSOR (125,-38):LPRINT " ワカ
リゲ No.":B
1240:GLCURSOR (100,-38):LPRINT " ワカ
ジカ (GL-";Z;"cm)"
1250:GLCURSOR (25,-38):LPRINT " ワカ
ジカ (GL-";Z;"cm)"
1260:USING :GLCURSOR (50,-38):
1260:LPRINT " ワカ (11) : #":RR;"(c
m)""
1270:GLCURSOR (25,-38):LPRINT " ワカ
ジカ (12) : #":RR;"(cm)"
1280:GLCURSOR (0,-38):SORGN :CSIZE
1
1310:GLCURSOR (210,0):LPRINT " STEP
TIME(SEC) "WL(GL-M
)#
1320:FOR J=1 TO 3
1330:FOR I=1 TO N
1340:ON J:GOTO 1360,1380,1400
1360:GLCURSOR (280-10*I,0):LPRINT I
1370:GOTO 1410
1380:GLCURSOR (285-10*I,-50):LPRINT
"(C,I;I)":;T(I)
1380:GOTO 1410
1400:GLCURSOR (285-10*I,-150):
1400:LPRINT " HC(I;I)":=H(I)
1410:NEXT I
1420:NEXT J
1430:IF Z="#":N"GOTO 3000
1500:REM *** ワカ ***
1510:CSIZE 1:GLCURSOR (0,-300):
1510:SORGN
1520:LINE (-10,-10)-(15,-8)-(15,-12)
-(10,-10)-(30,-10)
1530:ROTATE 0:GLCURSOR (30,-12):
1530:LPRINT "(
1540:ROTATE 1:GLCURSOR (45,-8):
1540:LPRINT "M"
1550:GLCURSOR (35,-8):LPRINT "P"
1560:GLCURSOR (35,-8):LPRINT "L"
1570:GLCURSOR (25,-8):LPRINT "G"
1580:ROTATE 0:GLCURSOR (85,-12):
1580:LPRINT "(
1590:ROTATE 1:GLCURSOR (85,-2):
1590:LPRINT "P"
1600:GLCURSOR (115,-8):LPRINT "N"
1610:GLCURSOR (135,-8):LPRINT "S"
1620:LINE (150,-10)-(170,-10)

```

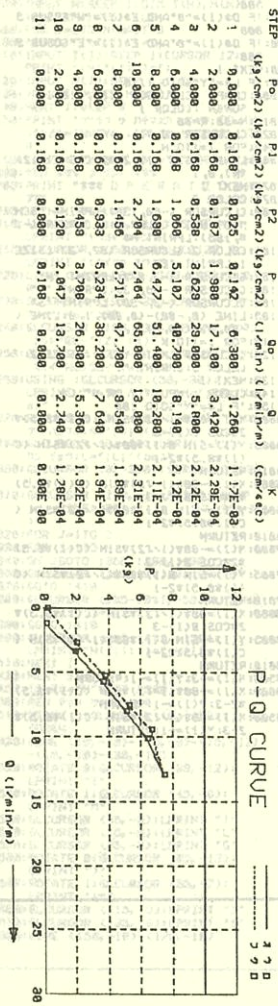
次頁に続く



① ルジョンテスト  
(出力例)

S58.02.16

16  
ルジョンテス



ルジョンテスト

(プログラムリスト)

```

10: "A"CLEAR :TEXT :PAUSE "ルジョン テスト"
20: "LF 2:GRAPH :CSIZE 3:COLOR 8:
30: ROTATE 1:GLCURSOR (195,0):LPRINT
40: "ルジョン テスト":CSIZE 2:GOSUB 980
50: INPUT "入力 カラクリマ GL-(m)":A;
60: BEEP 1:INPUT "スイッチ押す L(m)":B;
70: BEEP 1:INPUT "スイッチ押す R(m)":C;
80: BEEP 1:INPUT "STEP J ハード":D;
90: P=0:0#DIM K(1),N(1),O(1),P(1),
100: Q(1):USING :WAIT 0:FOR Z=1 TO I:
110: BEEP 2:PRINT "(C":Z)":";
120: INPUT N(2):BEEP 1:CURSOR 13:
130: PRINT "(Q":Z)":";
140: INPUT Q(2):CLS :NEXT Z:BEEP 5:
150: "ルジョン テスト":B:PAUSE "ルジョン テスト":H=(E/F)
160:
170: GOSUB 980:FOR Z=1 TO I:(Z)=(A-B*
180: +(Q(Z)*Z/2+0.5)-(Z)=N(Z)+H-O(Z):
190: IF P(P(Z)LET P=P(Z)
200: IF Q(Q(Z)LET Q=Q(Z)
210: K(Z)=Q(Z)*LN ((B72000/C)/37693/B/
220: P(Z):NEXT Z:GLCURSOR (178,-28)
230: CSIZE 2:LPRINT "(N,";I#";":
240: GLCURSOR (155,0):LPRINT "ルジョン テスト":USING "###.##";A-B;
250: "ルジョン":B:PAUSE "ルジョン":H=(E/F)
260:
270: GLCURSOR (130,0):LPRINT "コロナ デモ":
280: "ルジョン":C:GLCURSOR (115,0):
290: USING "###.##"
300: LPRINT "スイッチ:#":L:"ルジョン":B#:
310: GLCURSOR (100,0):LPRINT "ルジョン":C#:
320: "ルジョン":D#:
330: GLCURSOR (85,0):LPRINT "ルジョン":E#:
340: "ルジョン":F#:
350: GLCURSOR (45,0):LPRINT "ルジョン":G#:
360: "ルジョン":H#:
370: LPRINT "ルジョン":I#:
380: GLCURSOR (0,0):CSIZE 2:LPRINT "ルジョン":J#:
390: SORG :CSIZE 1:
400: GLCURSOR (285,0):LPRINT "P = ":
410: "ルジョン":K#:
420: GLCURSOR (195,0):LPRINT "P1 = ":
430: "ルジョン":L#:
440: GLCURSOR (180,-38):LPRINT "ルジョン":M#:
450: GLCURSOR (165,0):LPRINT "P2 = ":
460: "ルジョン":N#:
470: SORG :CSIZE 1:
480: GLCURSOR (285,0):LPRINT "P = ":
490: "ルジョン":O#:
500: GLCURSOR (195,0):LPRINT "P1 = ":
510: "ルジョン":P#:
520: GLCURSOR (180,-38):LPRINT "ルジョン":Q#:
530: GLCURSOR (165,0):LPRINT "P2 = ":
540: "ルジョン":R#:
550: SORG :CSIZE 1:
560: LPRINT "ルジョン":S#:
570: GLCURSOR (38,-2:
580: "ルジョン":T#:
590: GLCURSOR (135,0):LPRINT "P = ":
600: "ルジョン":U#:
610: GLCURSOR (120,0):
620: LPRINT "P = ":
630: "ルジョン":V#:
640: GLCURSOR (105,0):LPRINT "K = ":
650: "ルジョン":W#:
660: CSIZE 2:
670: LPRINT "ルジョン":X#:
680: GLCURSOR (38,-2:
690: "ルジョン":Y#:
700: CSIZE 1:IF P(1850)TO 228
710: LPRINT "( リーフ ):GOTO 238
720: LPRINT "( リーフ ):"
730: LINE (50,-110)-(50,0),3:LINE (0,
740: ,0)-(80,-110),B:GLCURSOR (0,-1
750: 50):CSIZE 1:LPRINT "ルジョン":COLOR 8
760: "ルジョン":X(-55):LPRINT "SIE":
770: GLCURSOR (X,-185):LPRINT "P0":
780: GLCURSOR (X,-155):LPRINT "P1":
790: GLCURSOR (X,-285):LPRINT "P2":
800: GLCURSOR (X,-257):LPRINT "Q0":
810: GLCURSOR (X,-311):LPRINT "Q1":
820: GLCURSOR (X,-373):LPRINT "K"
830: H=195:GLCURSOR (4,-353):LPRINT "
840: "ルジョン":Q4(-287):LPRINT "
850: "ルジョン":Q1(-135):LPRINT "
860: "ルジョン":Q2(-228):LPRINT "
870: "ルジョン":Q3(-287):LPRINT "
880: LPRINT "Q(Z)/B:NEXT Z:Y=-348:FOR "
890: Z=1 TO I:GOSUB 880:LPRINT O(
900: Z:NEXT Z:Y=-232:FOR Z=1 TO I:GOSUB
910: 880:LPRINT USING "###.##";O(Z):
920: NEXT Z:Y=-282:FOR Z=1 TO I:GOSUB
930: 880:LPRINT USING "###.##";O(Z):
940: NEXT Z:Y=-282:FOR Z=1 TO I:GOSUB
950: 880:LPRINT Q(Z)/B:NEXT Z:Y=-348:FOR "
960: Z=1 TO I:GOSUB 880:LPRINT USING "
970: "###.##";K(Z):NEXT Z:GLCURSOR (0,
980: -465):SORGN :GOSUB 980

```

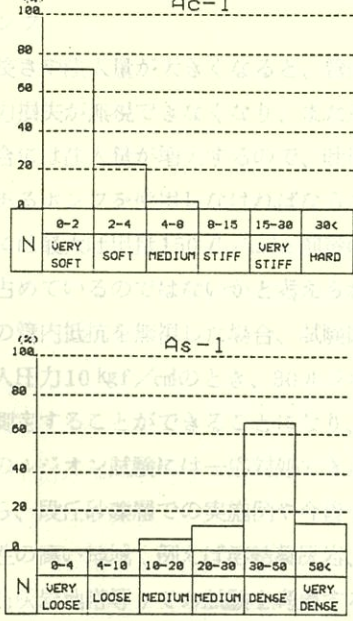
次頁に続く

```

315:PAUSE "***** GRAPHIC ACTION *****"
320:LINE (38,0)-(188,-308),0,B:FOR
Z=1TO 2:X+30+58*Z:Y=-308:LINE (X
-25,B)-(X-25,Y),3,I
330:LINE (X,Y)-(X,B):NEXT Z:LINE (X+
25,B)-(X+25,Y),B:FOR Z=1TO 2:X+1
B:Y+=-308+188*Z
340:LINE (X,Y-58)-(38,Y-58),3:LINE (
38,Y)-(X,Y):NEXT Z:LINE (X,Y-58)
-(38,Y-58):FOR Z=1TO 6
350:GLCURSOR (22,-258)-(22,-288):LPRINT
USING "###":Z=2:NEXT Z:GLCURSOR
(28,2):LPRINT "B":IF B<=3.0
GOTO 356
355:GLCURSOR (28,-48):LPRINT "5":FOR
Z=2TO 6:GLCURSOR (28,10-58*Z):
LPRINT 5#:GOTO 368
356:FOR Z=1TO 6:GLCURSOR (28,13-58*Z
):LPRINT USING "#.##":B,58Z
368:NEXT Z:LINE (5,-268)-(2,-258)-(8
,-258)-(5,-268)-(5,-288),B,8
370:GLCURSOR (8,-128):LPRINT "Q (/m
)P":LINE (5,-188)-(5,-58):Y=3
8:LINE (5,-188)-(5,-88),Y:GLCURSOR (3
,-48)
380:LPRINT "(#)":GLCURSOR (118,Y):
LPRINT "P":LINE (138,Y)-(188,Y)-
(128,Y-3)-(128,Y-3)-(188,Y)
380:CLS:CSIZE 2:GLCURSOR (198,-5
):LPRINT "# CURVE":GLCURSOR (
208,-268):CSIZE 1:LPRINT "3 0"
:GLCURSOR (198,-268)
408:LPRINT "3 0":CSIZE 4:R=1:IF A
B<3,8LET R=18
402:FOR Z=1TO 1:S=0<(Z)>9:IF S>3LET
S=3
403:GLCURSOR (29+12.5*P(Z),-188*R$+6
):LPRINT "#":NEXT Z
410:FOR Z=1TO I-1:J=0:P(Z)>P(Z-1)
LET U=_
412:S=0<(Z)>B:IF T>3LET S=31
415:T=0<(Z+1)>B:IF T>3LET I=31
420:LINE (38+12.5*P(Z),-188*R$)-(-38+
12.5*P(Z+1),-188*R$+1),U,2:NEXT Z
438:LINE (203,-288)-(283,-258),B
:LINE (193,-288)-(193,-258),1:
GLCURSOR (0,-425):TEXT :END
480:GLCURSOR (198-15*Z,Y):RETURN
490:BEEP 1,85,75:BEEP 1,79,88:BEEP 1
,78,88:BEEP 1,65,188:BEEP 1,78,5
15:RETURN

```

### ④ N 値のヒストグラム (出力例)



### N 値のヒストグラム

#### (プログラムリスト)

```

100:***:CLEAR :GRAPH:GLCURSOR (0,-1
):BEEP :ROTATE 1:USING :WAIT
A:COLOR 1
110:PRINT "**** デウ イイ テテ : "
120:INPUT A:CLS :BEEP 1
130:PRINT " ハリウ(1), ジツイ(2) : "
140:INPUT B:CLS :BEEP 1
142:IF B<>"1"AND B<>"2"GO TO 130
150:IF B=>"1"THEN 800
160:IF B=>"2"THEN 1800
800:PRINT " N-# (1), ヨウ (2) : "
801:INPUT X:CLS :BEEP 1
820:IF X<>"1"AND X<>"2"GO TO 888
830:Y=VAL X
840:ON XGOTO 1000,1885
1000:INPUT " *** タイム *** : N = "
1010:PRINT " **** デウ **** "
1018:IF N=100BEEP 3:GOTO 1100
1020:J=1
1030:IF N>=HAND NK4LET A=A+1
1040:IF A>=HAND NK4LET B=B+1
1050:IF B>=HAND NK28LET C=C+1
1055:IF 2BK>HAND NK38LET D=D+1
1060:IF 3BK>HAND NK58LET E=E+1
1070:IF 5BK>HAND F=F+1
1080:GOTO 1000
1085:PRINT " N-# ヨウ , BNK4 : "
1090:INPUT A:CLS :BEEP 1
1092:PRINT " N-# ヨウ , BNK10 : "
1098:INPUT B:CLS :BEEP 1
1099:INPUT C:CLS :BEEP 1
1101:PRINT " N-# ヨウ , 2BNK30 : "
1102:INPUT D:CLS :BEEP 1
1103:PRINT " N-# ヨウ , 3BNK50 : "
1104:INPUT E:CLS :BEEP 1
1105:PRINT " N-# ヨウ , NK50 : "
1106:PRINT " F:CLS :BEEP 3
1107:IF A=0:IF B=0:IF C=0:IF D=0:IF
E=0:IF F=0:GOTO 1100
1108:IF A=0:IF B=0:IF C=0:IF D=0:IF
E=0:IF F=0:GOTO 1100
1109:PRINT " 2# = ?":*: OPERATI
ON **:
1110:GLCURSOR (284,-100):CSIZE 2:
COLOR 8:LPRINT A#
1130:GOSUB 3138
1258:GLCURSOR (35,-12):CSIZE 1:
LPRINT "B-4"
1260:GLCURSOR (35,-48):LPRINT "4-10
"
1270:GLCURSOR (35,-85):LPRINT "10-2
"
1280:GLCURSOR (35,-125):LPRINT "20-
30"
1290:GLCURSOR (35,-165):LPRINT "30-
50"
1295:GLCURSOR (35,-212):LPRINT "50<
"
1301:GLCURSOR (17,-8):LPRINT "VERY"
:GLCURSOR (4,-5):LPRINT "LOOSE"
1302:GLCURSOR (18,-45):LPRINT "LOOS
E"
1303:GLCURSOR (18,-83):LPRINT "MEDI
UM"
1304:GLCURSOR (18,-123):LPRINT "MED
IUM":GLCURSOR (18,-165):LPRINT
"DENSE"
1305:GLCURSOR (17,-208):LPRINT "VER
Y":GLCURSOR (4,-285):LPRINT "D
ENSE"
1310:G=15#AA:100=A=15#BB:100=B=15
#CC:100=L=15#DD:100=M=15#EE
1315:D=15#FF:100
1320:GOSUB 3410
1380:GOTO 100
1381:PRINT " N-# (1), ヨウ (2) : "
1381:INPUT X:CLS :BEEP 1
1382:IF X<>"1"AND X<>"2"GO TO 888
1383:Y=VAL X
1384:ON XGOTO 2000,2085
2080:INPUT " *** タイム *** : N = "
:4BEEP 1
2081:IF N=100BEEP 3:GOTO 2100
2082:J=1
2083:IF B<=HAND NK2LET A=A+1
2084:IF B>=HAND NK4LET B=B+1
2085:IF B>=HAND NK6LET C=C+1
2086:IF B>=HAND NK15LET D=D+1
2087:IF B>=HAND NK38LET E=E+1
2088:IF 3BK>HAND NK58LET F=F+1
2089:GOTO 2000
2095:PRINT " N-# ヨウ , BNK2 : "
2096:INPUT A:CLS :BEEP 1
2097:PRINT " N-# ヨウ , BNK4 : "
2098:INPUT B:CLS :BEEP 1
2099:INPUT C:CLS :BEEP 1
2100:PRINT " N-# ヨウ , BNK15 : "
2101:INPUT D:CLS :BEEP 1
2102:PRINT " N-# ヨウ , 15BNK30 : "
2103:INPUT E:CLS :BEEP 1
2105:PRINT " N-# ヨウ , NK30 : "
2106:INPUT F:CLS :BEEP 3
2107:JA+B+C+D+E+F

```

次頁に続く

## 4 あとがき

地質屋が作成したプログラムですので、プログラムの流れ自体は良くないと思いますが、入力方法や出力結果については及第点をつけられそうです。最後に、B、D、Eのプログラムは当社のボケコンクラブの一員であります古田氏、石井氏が開発したもので、当稿の作成に当り心良く提供していただき、誌上を借りて感謝の意を表します。

```

① ルジオナリスト
　アモルガムの翻訳
　(イヌヌムモモロセ)

2188:00=R-J#100:RR=R-J#100:CC=C/J#1
2189:00=ID=D-J#100:EE=E/J#100:FF=F/
J#100
2195:PRINT "コマ #"; J; :** OPERATI
ON #"
2196:GLCURSOR (284,-100):CSIZE 2:
LPRINT A#
2197:GOSUB 3138
2250:GLCURSOR (35,-12):LPRINT "0-2"
:GLCURSOR (35,-52):LPRINT "2-4"
2260:GLCURSOR (35,-92):LPRINT "4-8"
2270:GLCURSOR (35,-128):LPRINT "8-1"
2280:GLCURSOR (35,-160):LPRINT "15-
30"
2290:GLCURSOR (35,-212):LPRINT "30K
"
2300:GLCURSOR (17,-8):LPRINT "VERY"
:GLCURSOR (4,-8):LPRINT "SOFI"
2310:GLCURSOR (10,-48):LPRINT "SOFT
"
2320:GLCURSOR (10,-83):LPRINT "MEDI
UM"
2330:GLCURSOR (10,-125):LPRINT "STI
FF"
2340:GLCURSOR (17,-160):LPRINT "VER
Y"
:GLCURSOR (4,-165):LPRINT "S
TIFF"
2350:GLCURSOR (10,-288):LPRINT "HAR
D"
2400:G=150#EE/100:4=150#BB/100:1=15
#CC/100:L=158#DD/100:M=159#EE
/100
2485:0=150#FF/100
2410:COSUB 3410
2080:GOTO 100
3080:END
3138:LINE (200,0)-(50,0)-(50,-240)-
(0,-240)-(0,0)
3140:LINE (-30,0)-(30,-240)
3150:FOR Z=1TO 5STEP 2
3160:LINE (50,-200+48*(Z+4))-(50,-20
+48*(Z+4))
3170:LINE (50,-200+48*(Z+5))-(50,-20
+48*(Z+5))
3180:NEXT Z
3185:LINE (50,0)-(50,25)-(0,25)-(0,
0)
3190:GLCURSOR (16,15):CSIZE 2:
LPRINT "N"
3195:FOR Z=1TO 5
3200:LINE (50+38*Z,3)-(50+38*Z,-240
),2,0
3210:NEXT Z
3215:GLCURSOR (210,15):CSIZE 1:
COLOR 8:LPRINT "タ"
3220:FOR Z=1TO 5STEP -2
3230:GLCURSOR (200-38*(100-Z)/20,25
):LPRINT Z
3240:NEXT Z
3250:RETURN
3418:LINE (50,0)-(50+6,0)-(50+6,-40
)-(50,40),0
3420:LINE (50,-80)-(50+80,-80)-(50+8
0,-80)-(50,-80)
3430:LINE (50,-80)-(50+K,-80)-(50+K
-120)-(50,-120)
3440:LINE (50,-120)-(50+L,-120)-(50
+L,-160)-(50,-160)
3450:LINE (50,-160)-(50+M,-160)-(50
+M,-200)-(50,-200)
3460:LINE (50,-200)-(50+O,-200)-(50
+O,-240)-(50,-240)
3470:RETURN

```

## (4) 式出

式	出	式	出	式	出	式	出	式	出
1	1	2	2	3	3	4	4	5	5
6	6	7	7	8	8	9	9	10	10
11	11	12	12	13	13	14	14	15	15
16	16	17	17	18	18	19	19	20	20
21	21	22	22	23	23	24	24	25	25
26	26	27	27	28	28	29	29	30	30
31	31	32	32	33	33	34	34	35	35
36	36	37	37	38	38	39	39	40	40
41	41	42	42	43	43	44	44	45	45
46	46	47	47	48	48	49	49	50	50
51	51	52	52	53	53	54	54	55	55
56	56	57	57	58	58	59	59	60	60
61	61	62	62	63	63	64	64	65	65
66	66	67	67	68	68	69	69	70	70
71	71	72	72	73	73	74	74	75	75
76	76	77	77	78	78	79	79	80	80
81	81	82	82	83	83	84	84	85	85
86	86	87	87	88	88	89	89	90	90
91	91	92	92	93	93	94	94	95	95
96	96	97	97	98	98	99	99	100	100

○ 次頁次  
○ 次頁次

# ルジオン試験をふりかえって —過去4年間の実例より—

（著者：水谷弘）

（監修：水谷弘）

1 まえがき  
ルジオン試験はダム基礎の遮水性を評価するうえで最も一般的な透水試験法である。本試験はその方法及び原理が非常に簡単である反面、その解析・解釈は必ずしも一義的には定まらない。このため昭和52年に建設省河川局監修による「ルジオンテスト施工指針（案）」が出され、以来同指針（案）に基づきルジオン試験を実施してきたわけであるが、それでも試験を重ねるごとに問題点あるいはその解決点がクローズアップされてきた。そこで本報告では現在まで実施してきた試験例（岩盤216回、段丘砂礫80回）を整理検討し、今後試験を考えるうえで必要と思われる事項について述べる。

## 2 使用機器

2-1 ポンプ  
注入管の長さや注入量が大きくなると、管内抵抗による圧力損失が無視できなくなり、また透水性の高い場合には注入量が増大するので、吐出容量に余裕のあるポンプを使用しなければならない。現在一般的には最大吐出量150 ℥/min前後のものが主流を占めているのではないかと考えられ、仮に注入管の管内抵抗を無視した場合、試験区間長5 mで注入圧力10 kgf/cm<sup>2</sup>のとき、30ルジオン程度までは測定することができることになり、通常の岩盤でのルジオン試験には一応対処できる。しかしながら、段丘砂礫層での実施例や今後予想される透水性の高い地域（例えば溶結凝灰岩、自破碎溶岩、石灰岩地帯等）での試験を考慮すると、200～300 ℥/min程度の吐出容量をもったポン

b) 調査部 梶谷調査工事隊

調査部 平本 弘

アドバイスする。試験用機器の選択は、岩盤の性質によっては、孔壁の地質状態に応じた型式のものを選択する。エクスパンションパッカーは取扱いが便利であるが密着面積が少ないため、亀裂の多い岩盤や空隙をもつ未固結層では漏水の危険性が大きい。エアーパッカー（二重管式外管スライド型の場合）は、密着面積が多く、さらには各種孔径での使用範囲が広い反面、エアホース・コンプレッサー・その他の機器が必要とされ煩雑である。また、未固結層でのエアー圧力は、同層の弾性領域内に留める必要がある。即ち降伏圧力以内とし、現場では、ルジオン試験注入圧力+(2~3) kgf/cm<sup>2</sup>を目途にすると良い。

## 2-3 注入管

注入管は、通常のボーリンググロッドでさしつかえない。しかしながら後述するように、流量に対する注入管路の管内抵抗による損失圧力を考慮する必要がある。「ルジオン施工指針（案）」には損失圧力補正式があるものの、やはり損失圧力の実験を行なわなければならない。

## 2-4 圧力・流量測定器

### (1) 圧力計

圧力はブルドンゲージ（15～20 kgf/cm<sup>2</sup>、最小目盛0.5 kgf/cm<sup>2</sup>）を使用する。この問題点としては、流量の増大に伴い圧力が上昇した時点で、乱流・脈動によるハンマー現象のために一定圧力を示さないことがある（場合によっては±2 kgf/cm<sup>2</sup>程度のブレが認められる）。

### (2) 流量計

流量は水道計（目盛単位1 ℥の積算流量計）を

使用する。冬期の凍結防止については水ぬきは行なわず、逆にこの水道計をノッチ等に水没させておけばよい。

### (3) 電磁式圧力流量測定器

近年は上記のブルドンゲージ、水道計にかわり、自記記録型の電磁式圧力流量測定器を使用している。その長所・短所を次に示す。

#### ◎長所

a) 自記記録があるので、圧力と流量との挙動を即座に読みとることができる。このため注入量が多く所定の圧力、例えば $10 \text{ kgf/cm}^2$ に達しない場合等の予想がつき、圧力ステップを任意に変化させる判断がつきやすい(3.試験方法に後述する)。また、限界圧力に達しているか否かの目やすがつきやすい。

b) 時定数システム装備のため、圧力・流量の読み取りブレを小さくできる。

c) 圧力・流量が定常状態になっているか否かを判断しやすい。

#### ◎短所

a) 自記記録部の流量測定最大値が $120 \ell/\text{min}$ のため、それ以上の高透水帶では従来工法となる。

b) 高圧線付近ではノイズの影響を受ける場合がある。

## 3 試験方法

パッカーはエアー型、圧力・流量測定は電磁式自記記録型を使用した場合の操作・試験の留意点について記述する。

a) パッカーエアーワークについて、未固結層では前述の通りであるが、最終的には以下の式を参考されたい。

$P_A = P_g + P_s + P_M + \alpha$   
但し、 $P_A$ ：パッカー必要送気圧力。

$P_g$ ：孔壁に密着するまでのゴム反力  
(地表で自由膨張させ、所定の孔径に必要な圧力)。

$P_s$ ：孔内水位以深のパッカーへかかる

静水圧。

$P_M$ ：ルジオン試験圧力ステップ最大値

(通常は $10 \text{ kgf/cm}^2$ )。

$\alpha$ ： $2 \sim 5 \text{ kgf/cm}^2$ 。

b) 二重管式外管スライド型エアーパッカーはその構造上、膨張に伴いパッカーの有効長が短くなるので、上記の $P_g$ に対応する有効長を地上で測定し、ロッド全長とあわせ、所定の位置にパッカーがセットされるようにしなければならない。

c) ルジオン試験の注入圧力ステップは、例えば $P_0 = 0 \sim 3 \sim 6 \sim 8 \sim 10 \sim 8 \sim 6 \sim 3 \sim 0 \text{ kgf/cm}^2$ である。しかしながら高透水帶では注入量が異常に多く、上記の様に圧力が上がらないケースがある。2-4において述べているが、この様な場合は自記記録のために低圧力レベルから予想できるので、 $P_0 = 0 \sim 1.5 \sim 3 \sim \dots$ と圧力ステップを任意に変化させ、圧力段階を増やす必要がある。

d) 注入圧力 $P_0 = 0 \text{ kgf/cm}^2$ の設定には注意を要する。つまり地下水位が低い場合にはサイホンの原理で流入するわけであるが、このときの圧力は負の圧力である。これを $P_0 = 0 \text{ kgf/cm}^2$ にするには、圧力調整バルブをリターン側に全開し、かつ、ポンプエンジンを低速回転に制御しつつ微調整しなければならない。

## 4 解析

### 4-1 有効注入圧力

有効注入圧力は次式の通りである。

$$P = P_0 + \gamma_w (h_1 - h_2 - h_3) \text{ kgf/cm}^2$$

$P$ ：有効注入圧力( $\text{kgf/cm}^2$ )

$P_0$ ：口元注入圧力( $\text{kgf/cm}^2$ )

$h_1$ ：圧力計から基準面までの標高差(m)

$h_2$ ：地下水位から基準面までの水頭(m)

$h_3$ ：管内抵抗による損失水頭(m)

$\gamma_w$ ：水の単位体積重量

$$\text{（1 t/m}^3 = 0.1 \text{ kg/cm}^3 / \text{m}^3\text{）として} \quad \alpha = 1.301 \times 10^{-4}$$

但し、 $h_3 = \alpha \cdot Q^\beta \cdot L$  とおき、 $\beta = 2.013$   
 $\therefore h_3 = 1.301 \times 10^{-4} \times Q^{2.013} \times L (\text{m})$

Q : 注入量 ( $\ell/\text{min}$ )  
L : 注入管長 (m)

$\alpha$  : ( $\text{min}^2/\ell^2$ )  
 $\beta$  : 補正係数

本報告では、2種類のボーリングロッド（カッピング径の相違）に関し、以下に示す「管内抵抗による損失圧力測定実験」を行ない、次の $\alpha$ 、 $\beta$ を得ている。

a) 管長3m、管内径31mm、継手長110mm、継手内径17.0mmのとき

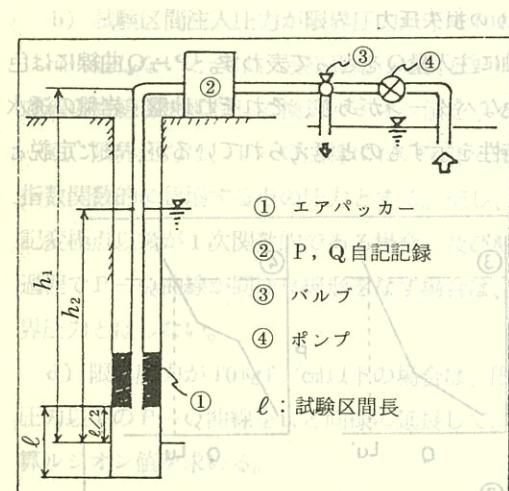


図1 注入圧の求め方と試験概念図

b) 管長3m、管内径31mm、継手長110mm、継手内径22.5mmのとき

として  $\alpha = 2.393 \times 10^{-5}$   
 $\beta = 2.233$

$$h_3 = 2.393 \times 10^{-5} \times Q^{2.233} \times L (\text{m})$$

◎管内抵抗による損失圧力測定実験

### i 実験方法

試験管ロッド（管長3m、管内径31mm）をほぼ水平に継手（継手長110mm、継手内径①17.0mm、②22.5mm）を介して直線につなぎ、ポンプで送水し管の長さを変えながら、一定流量に対する両端での圧力差 ( $P_1 - P_2 = \Delta P$ : 損失圧力) を求めた。

実験方法の概要は図-2の通りである。

### ii 試験結果

継手を含めた試験ロッド全体が一様なものとして、注入量と試験管1m当りの損失圧力を算出した。損失圧力  $P'_{\ell}$  は管両端の圧力差  $\Delta P$  を区間距離  $L$  で除したものである ( $P'_{\ell} = \Delta P / L$ )。1m当りの損失圧力を縦軸に、その時の注入量を横軸にとったものが図-3である。最小2乗法によってその関係を求めるとき式のようになる。

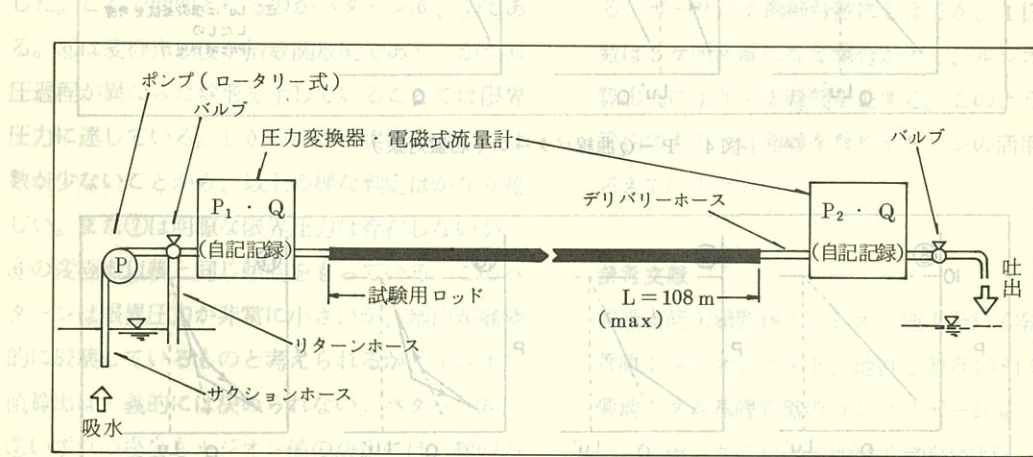


図2 管内抵抗による損失圧力実験模式図

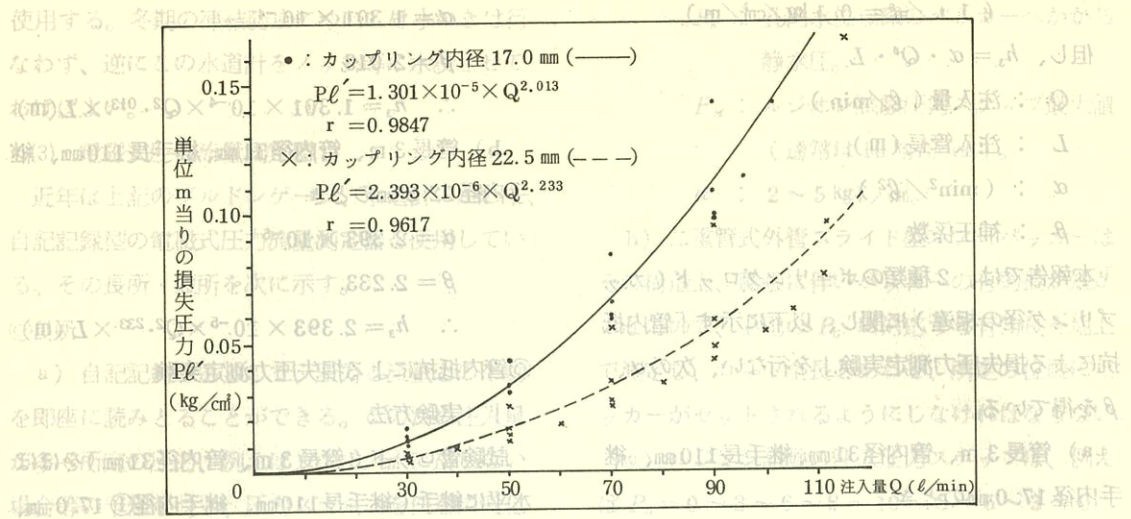


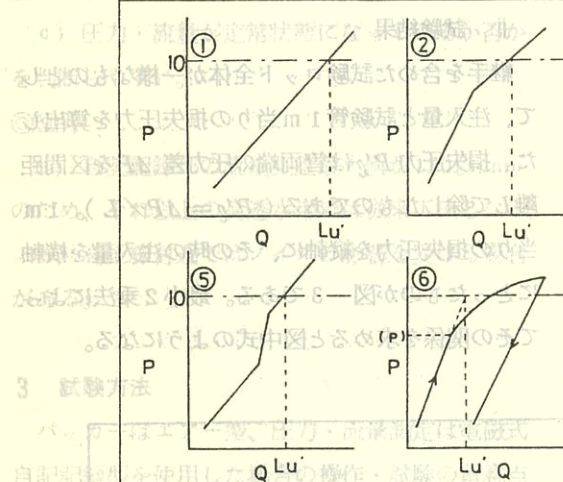
図3 注入量と1m当りの損失圧力

4.2 注入圧力～注入量曲線とルジオン値

注入圧力～注入量曲線は、P-Q曲線と略称されているもので、ふつう縦軸に注入圧力Pを、横

軸に注入量Qをとって表わす。P-Q曲線には色々なパターンがあり、それぞれ地盤・岩盤の透水特性を示すものと考えられているが、まだ定説と

読み取り方の問題のところを解説する



3 試験方法

自記記録器を使用した操作・試験方法

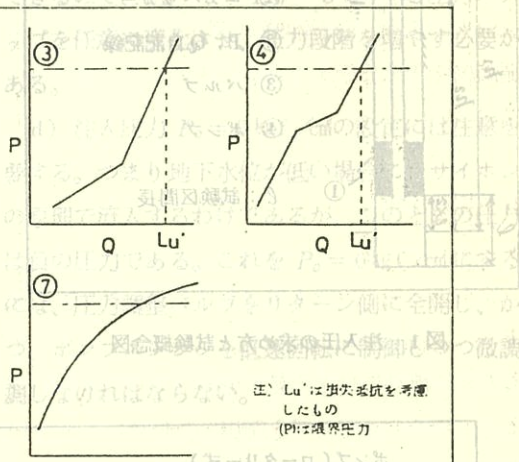


図4 P-Q曲線パターン(岩盤対象)

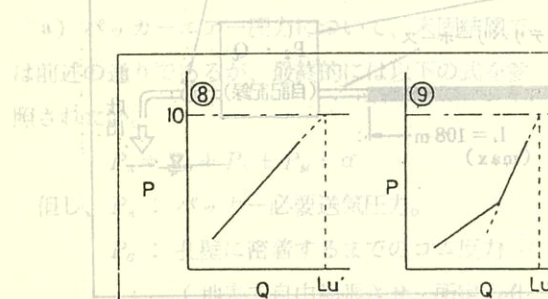


図5 P-Q曲線パターン(段丘砂礫層対象)

はなっていない。ここでは現在まで実施してきたルジオン試験におけるP-Q曲線パターンを示し、それからのルジオン値の算出方法について述べる。

(1) P-Q曲線パターン

図-4に岩盤、図-5に段丘砂礫層での主なP-Q曲線パターンを示す。このことから割合を

ルジオン値の決定基準(案)による。

a) 孔内水位と圧力計の高さの差による水圧、ロッドの管内抵抗を補正した試験区間注入圧力が、 $10 \text{ kgf/cm}^2$  のときの単位長さ当たりの注入量 ( $\ell/\text{min}/\text{m}$ ) をルジオン値 ( $L_u'$ ) とする。但し、管内抵抗を補正しない場合は ( $L_u$ ) とする。

b) 試験区間注入圧力が限界圧力以下で  $10 \text{ kgf/cm}^2$  に達しないときは、最終測定点を含むP-Q曲線の直線部を延長して換算ルジオン値を求める。

c) 限界圧力は、P-Q曲線において注入量が指數関数的に急増する点の圧力とする。但し、上記変極点以後が1次関数的である場合、及び減圧過程でP-Q曲線が同様な線形をなす場合は、限界圧力とはしない。

d) 限界圧力が  $10 \text{ kgf/cm}^2$  以下の場合は、限界圧力以下のP-Q曲線をb)と同様に延長して、換算ルジオン値を求める。

上記a.~d.を基準として、図-4及び図-5のP-Q曲線パターンにルジオン値の求め方を記入した。ここで問題となるのがパターン⑥、⑦である。⑥は変極点以後が指數関数的であり、かつ減圧過程が異なった線形を示していることでは限界圧力に達している。しかしながら実際の測定点は数が少ないとから、以上の様な判定はかなり難しい。

また⑦は明瞭な限界圧力は存在しないが、⑥の変極点以後と同じ傾向をもっている。このパターンは限界圧力が非常に小さいか、地山が継続的に破壊しているものと考えられるが、ルジオン値算出は一義的には決められない。パターン⑥、⑦いずれの場合もルジオン値の決定には、類似の岩盤と比較して確認決定する以外に良い方法はない。

4-3 ルジオンマップ、シラワオ。中海の測定・算出されたルジオン値をもとに、地質及びその構造を考慮しルジオンマップを作製するわけであるが、結果的には非常に個人差の大きい図面となる場合が多い。この欠点を少なくする方法として、電力中央研究所では次の図法を提案しており、ひとつの方法であると考える。

“比例配分法”(岩盤対象)  
a) 仮定：ルジオン値は深度に従い小さくなる。  
b) 方法：試験値を試験区間の中心の値と仮定し、上下左右の値どうしで比例配分を行ない、ルジオン値境界を決定する。そのうち、a)の仮定に従い境界線を引く。

5. あとがき  
ルジオン試験の方法と解析についてその概略的な問題点を述べてきた。更に今後の課題をあげるとすれば現場で得たデータをいかに整理するかである。つまり原位置試験は現場での算出された値からの検討が不可欠であるのは言うまでもない。

ルジオン試験もその例外ではなく、実施された試験に妥当性があるか否かを解析値から即判断しなければならない。今までの経験からすると、測定完了した生データをもとにルジオン値の算出までには、1測定に関し少なくとも30分の時間を要する。ボーリング機械台数にもよるが、1日の測定数は3ヶ所程度になる場合が多く、ルジオン値の算出迄に1.5~2時間要する。このような時間節約にもP-Q曲線を含めボケゴンの活用などを考えていくべき。

参考文献  
建設省河川局監修：ルジオン施工指針(案)  
菅原：ルジオントスト、地質と調査1981年1号  
菊池：ダム基礎岩盤のコジツリデニシヨングラウチングにおける地質工学的評価法。第14回  
岩盤力学シンポジウム1982年2月。

# 15 ふるさと山陰

出雲大社  
0.151  
するす姫井山  
0.9847

図の大きな島人町の昔おはなはりの歌  
0.151

おもむろとひがいの歌  
0.151

おもむろとひがいの歌  
0.151

おもむろとひがいの歌  
0.151

出雲名物 荷物にやならぬ

聞いてお帰り 安来節

安来節、それはユーモラスな所作で笑いを誘う「どじょうすくい」で知られている島根県の代表的な民謡である。この唄の発祥地、安来市が私のふるさとである。

山陰とは文字どおり山の北側にある地域であり山のかげである。山のかげということから山陰のイメージを、暗いと思う人も少なくないだろう。日当りの良い明かるい山の南側に対して、北側にある山かげはどうしても陰うつにならざるをえない。たしかに、北西のきびしい季節風が日本海を渡って吹き寄せてくる冬の間はくもりの日が多く雨や雪もよく降る。もっとも、雪が降るといつても北陸などとは違って積雪量はずっと少ない。どんよりとくもっていても寒くて凍りつくような日は数える程しかない。

むしろ名古屋の伊吹おろしの冷たきの方がこちらに転勤してきた当初の私には厳しく感じられた。

仕事の関係上、この地を離れて十余年。離れてみてはじめてふるさと山陰には数々の名所、旧跡、そして素晴らしい味覚があったことを知った。手前みそになるが、ここで少し我がふるさとを紹介してみたい。

まず縁結びの神として知られる出雲大社がある。例年旧10月11日から17日まで全国の神々がみんな出雲の国に集まってくれるので、他の土地では神様が留守になるため神無月になるが、出雲の国では反対に神在月といっている。

出雲大社より北西に少し行くと、日御碕がある。

中国ボーリング株名古屋営業所

妹尾俊美

日本海の荒波にけずられた海岸線はとても美しい。

その高さ東洋といわれている日御碕灯台に登ると足がすくむようだ。

そして城下町、松江の宍道湖の夕焼け。春夏秋冬、季節の移り変わりの中で宍道湖はまた異なった風情をみせてくれる。

松江と出雲の間に玉造温泉がある。安来のとなみ町米子の皆生温泉とならんで山陰を代表する温泉である。めのうの産地としても知られている。

次に山陰の味覚を紹介しよう。

城下町松江は、茶人殿様、不昧公のゆかりで抹茶をよく飲むところである。茶どころといわれるだけあって和菓子のおいしさと種類の多さで知られている。

かつて甘党であった私は甘いようかんなど好んで食べたものだったが、最近では左党になり甘いお菓子など、とんと縁がなくなってきた。

茶道というと、嫁入り前の花嫁修業のように思われるが、私の生家などでは今でもお客様がみえると薄茶でもてなす。このあたりではどこの家庭でもそうだ。男でも、子供でも作法など関係なく気軽に茶をたてるのだ。そのせいか、広島、大阪、名古屋と転勤してきた時も、茶道具はもってきている。ぶことな手でお茶をたてるが、結構、様にならっていると自分では思っているのだが。

でも、いつしか仕事に追われ、時間に追われて茶道具も押し入れの片すみに入ってしまっている。

この文を書いたのを機に、今度のお正月には、久しぶりにお茶でもたててみようかと思っていく。



## 昭和58年度技術研修会(巡検)開催

10月27日～28日、2日間に亘り会員38名参加、岐阜大学教育学部・関根教授御指導のもとに技術研修会(巡検)を実施した。

研修テーマとして岐阜市北方諏訪山団地～谷汲南方一帯の変動地形の特徴、

フォトリニアメントから推定した活断層地形及びチャートとその堆積環境について第1日目は空中写真より得られた資料のもとに各種の断層変位地形について巡検を行った。

夜は養老公園掬水にて一泊巡検について検討会を開根先生を囲み養老酒のなくなるまで一夜を過した。第2日目は三重県北部に賦存する奄芸層群の巡検、特に奄芸層群の市の原層を牧田川附近で確認、層相状態の区分、断層の生成について現地調査を行った。一方三重用水中里ダム、ゾーン型フィルダム提高46.0m 提体積2,970,000m<sup>3</sup>の貯水池を見学、奄芸層群の最上部米ノ層、大泉層の踏査を行った。これより多度南方一帯に賦存する大泉層、暮明層の現地踏査を行い巡検予定を終了した。

協会会員の若い地質家が多数参加して岐阜市北方の古生層、三重県特有の奄芸層群を巡検したことは、研究委員会としても有意義であったと思う。

2、3の会員より巡検の報文の提出があったので追記する。

ある山かけはどうしても隠うつにならざるをえない。

たしかに、北西のきびしい寒鋸風が日本海を渡って吹き寄せてくる冬の間はくもりの日が多く雨や雪もよく降る。もっとも、雪が降るといつても北陸などとは違って積雪量はずっと少ない。こんなよりも雪が降っていても寒くて雪がつくような日は数える程しかない。

むしろ名古屋の春吹わろしの冷たさの方がこちらに転勤してきた先輩の趣には厳しく感じられた。

仕事の関係上、この辺を離れて十余年来てはじめてふるさとを離すのは数々の名所、旧跡、そして素晴らしい跡見があつたことを知った。手前みそなるが、ここで少し我がふるさとを紹介してみたい。

まず縄結びの神として知られる出雲大社がある。例年10月11日から17日まで全国の神々がみんな出雲の国に集まってくれるので、他の土地では仲間が留守になるため神往月になるが、出雲の国では反対に神往月といっている。

出雲大社より北西に少し行くと、日御疏がある。

ひい食ひいおほ  
出立あいさむす  
。そ思ひいひじゆすむす  
人ひ器容のいとまくいとまく倉田の山の山

いす毛嗜さぬうふさばら毛嗜毛器容、す式へ食の

。寺本正の間。山疊三。五峰頭具。島の

城下町松山研究委員長、不阿公部貞丈雄  
菴をよく飲むところである。菴どころといわれる  
だけあって和菓子のおいしさと種類の多さで知  
られている。

かつて井戸であった私は甘いようかんなど好んで  
食べたものだったが、最近では少々になり甘い  
お菓子など、とんと縁がなくなってきた。

茶道というと、嫁入り前の花嫁嫁葉のように思  
われるが、私の生家などでは今でもお客様がみえる  
と酒茶でもてなす。このあたりではどこの家庭で  
もそうだ。男でも、子供でも作法など関係なく氣  
軽にお茶をたてるのだ。そのせいめい、広島、大阪、  
名古屋を転勤してきた時も、茶道具はもってきてい  
る。がこつな手でお茶をたてるが、結構、様にな  
っていると自分で思っているのだが。

でも、いつしか仕事に追われ、時間に追われて  
茶道具も押し入れの片すみに入ってしまっている。  
この文を書いたのを機に、今度のお正月には、  
久しぶりにお茶でもたててみようかと思ってい  
る。

仕事では九州方面に行くと、必ずといっていい程、

# 技術研修会に参加して

(株)ダイヤコンサルタント名古屋支店

地質課 伊 藤 孝

中部地質調査業協会の主催で実施された技術研修会(地質巡検)に参加する機会を得ましたので、その感想を御報告します。

## 第1日目(10月27日)

第1日目は、まず岐阜市の北方の諏訪山団地、百楽町、長良志段見において、NW-SW系断層の露頭を見学した。特に諏訪山団地における断層鏡肌は、写真-1に示すようにみごとなものである。これらの断層は、地形的にも、直線的な山腹斜面や、鞍部を形成している(写真-2)。又、図-1に示す様に、これらの断層は、ほぼ平行して分布しており位置的には根尾谷断層の延長部にあたる(図-2)。



写真-1 諏訪山団地の鏡肌



写真-2 断層延長上に認められる鞍部、直線的な山腹斜面

次に関根先生は移転した岐阜大学を案内され、災害と宅地について話を始められた。「一旦水害になると、農家の本家は水がつかないが、分家になる程、また最近では新興住宅地程、ひどい水害に見舞われる」ということである。そう言われてみれば、この辺の農家(古くからある家)は、山地のすそ野に発達する扇状地の上に立っているが、新興住宅地はまさに田んぼの中に立っている。おまけにこのあたり一帯は自然堤防が形成されており、一旦浸水すれば、水は逃げ場を失なうであろう。ちなみに、この新興住宅には、岐阜大学のインテリゲンチャーが多く住んでいるという話しがあった。

先生は、オーリフトストライプにて、  
岡崎市立こども文化センターの隣の岐阜市卓球場へ向かう。そこには、砂利と瓦片が散らばる  
川の底に残る断層帶の鏡面(鏡面)を伴った街並みでは新しい駒ヶ谷駅跡地と駒ヶ谷駅舎、倒壊した後に断層で接した

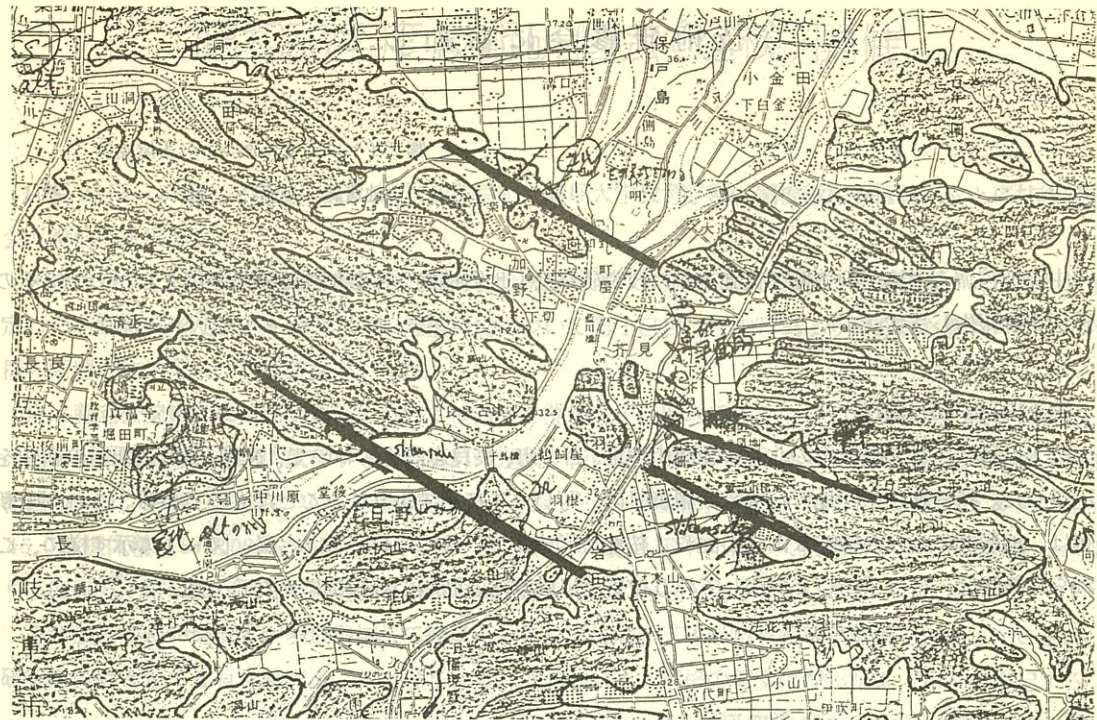


図-1 諏訪山団地周辺に分布するNW-SE系断層

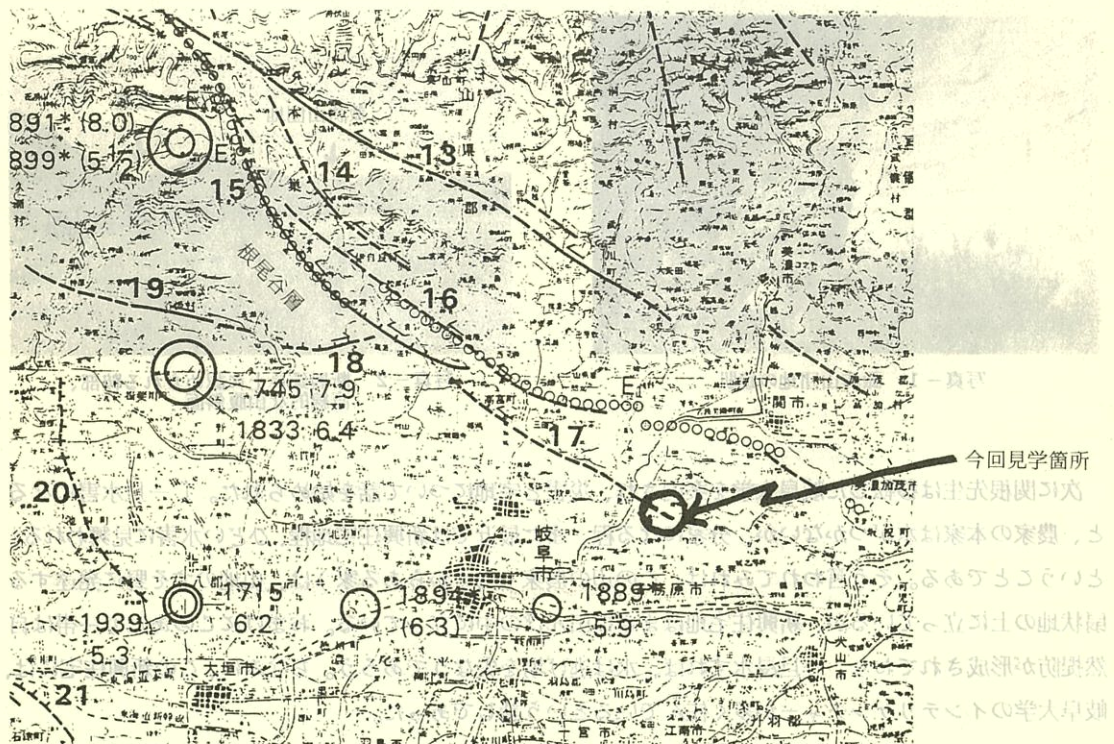


図-2 岐阜市周辺のリニアメント分布図  
15は根尾谷断層

(日本の活断層より)



写真-3

新豊二の谷南谷トマ真谷

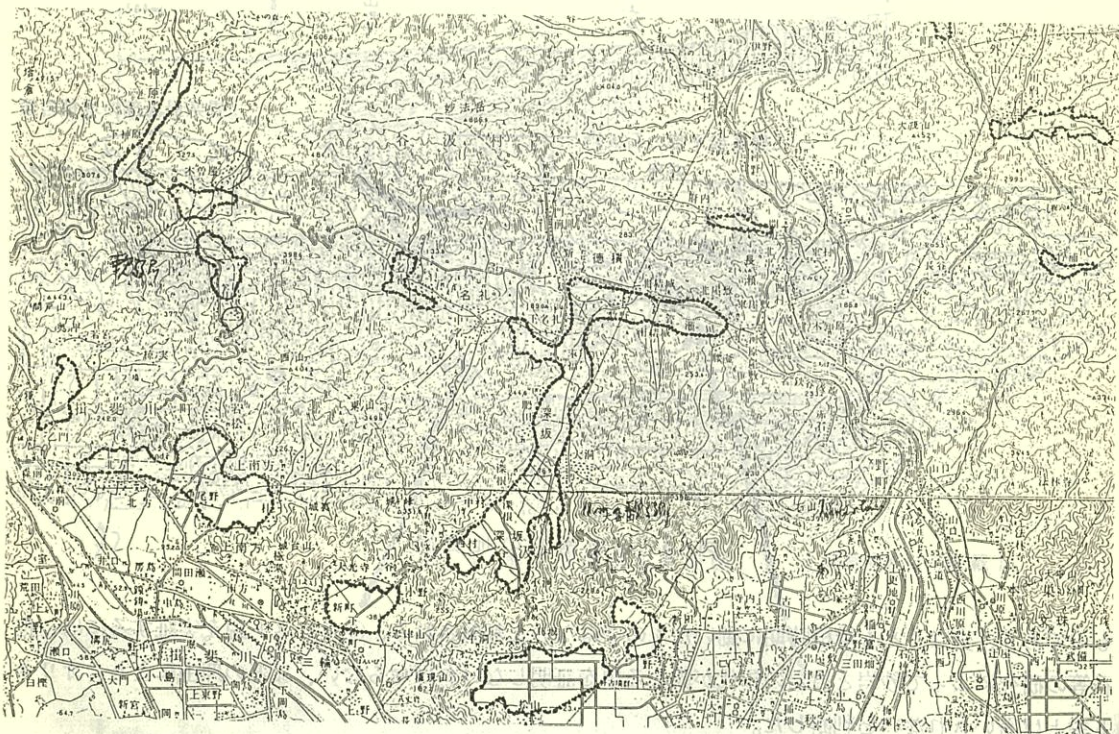


図-3

次に、谷汲周辺の山間小谷底を見学した(図-3)。これらの山間小谷底は、谷底の幅が300～400 mもあり、確かに異様な地形である。これらは、腐植層によって谷地形が埋めもどされた地形であるらしい。この腐植層は、軟弱かつ高含水性なので、道路など土木工事の問題点になっている。

1日目の最後は、谷汲南方において、図-4砂岩と頁岩が複雑に接している露頭を見学した(写真-4)。先生は、オリリストストロームによって解釈できないかと話しておられたが、小生は、①砂岩と頁岩の境界が明境な鏡肌や珪質脈を伴った断層で接している、②從って砂岩と頁岩は、固結した後に断層で接した



写真-4 谷汲南方の二畳系



図-4 谷汲南方の地質図

ものであり、少なくとも堆積時期に動いたものではないと判断される、③オリリスト説を実証するには、化石等の研究によって砂岩と頁岩の年代が異なる事を証明しなければならない、などの理由により、オリリスト説とは言いきれないと判断した。

1日目の夜は、養老に泊まることになり、コンパでは楽しいひと時を過ごすことができました。

第2日目（10月28日）

2日目は、まず上多良において奄芸層群・市之原層と同層を切る断層を見学した。又、先生はリニアメントが、送電線と一致するという「送電線断層論」をさかんに力説されていた。

次に、水資源開発公団の中里ダムを見学した。中里ダムは、三重用水の主水源として建設されたブーン型フィルダムである。

次に、多度の南方力尾付近で桑名層群・大泉層と、同層が西方へは緩傾斜であるが東方へは急傾斜な非

対称の褶曲構造を示している部分を見学した(図-5、写真-6-1、6-2)。

さらに、近くの土壟で見られる大泉累層の傾斜を測定した。東側は約30°、西側は約15°である。

2日目の最後は、多摩川左岸の桑名層群地帯を覗いた。この層群は、山麓部で風化して砂礫層となり、さらに脚部で砂礫層と砂質層が交互に現れる。この段丘堆積物は、河床堆積物よりもより古く、河床堆積物よりもより新しいものである。また、この段丘堆積物は、多摩川左岸の山麓部でもみられる。この起事である。

最後に全体を振り返り、関根先生にこれまでの見学を御報告する。関根先生には、これまでの見学を御報告する。関根先生には、これまでの見学を御報告する。

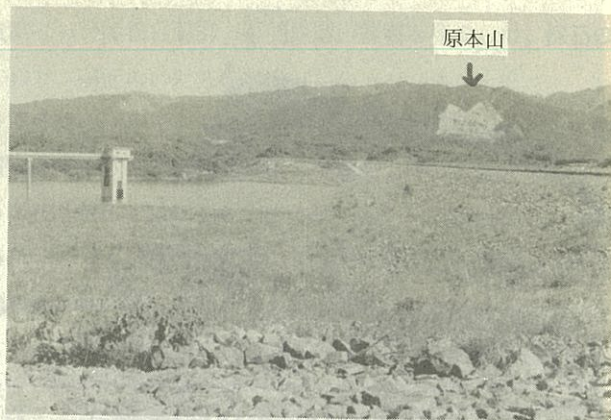
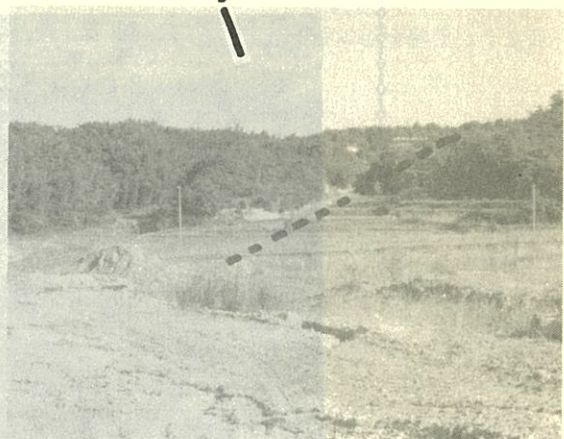
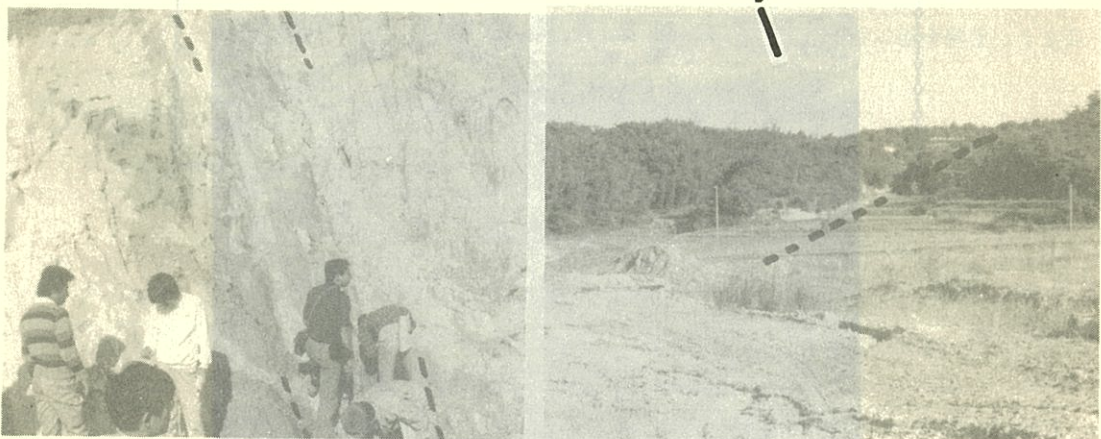
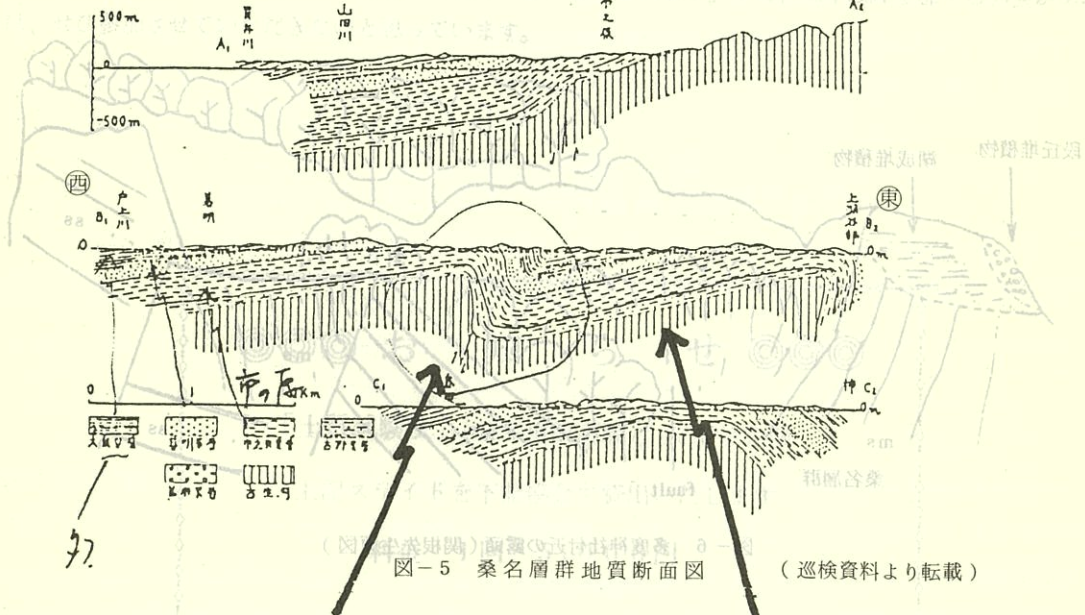


写真-5 中里ダム堤体断面図  
（国土交通省河川局監修）



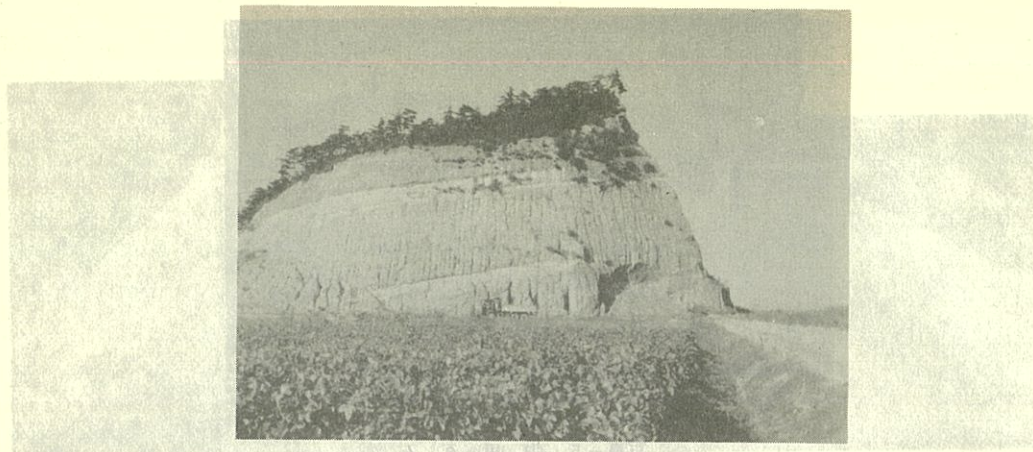


写真-7 暮明累層の礫層

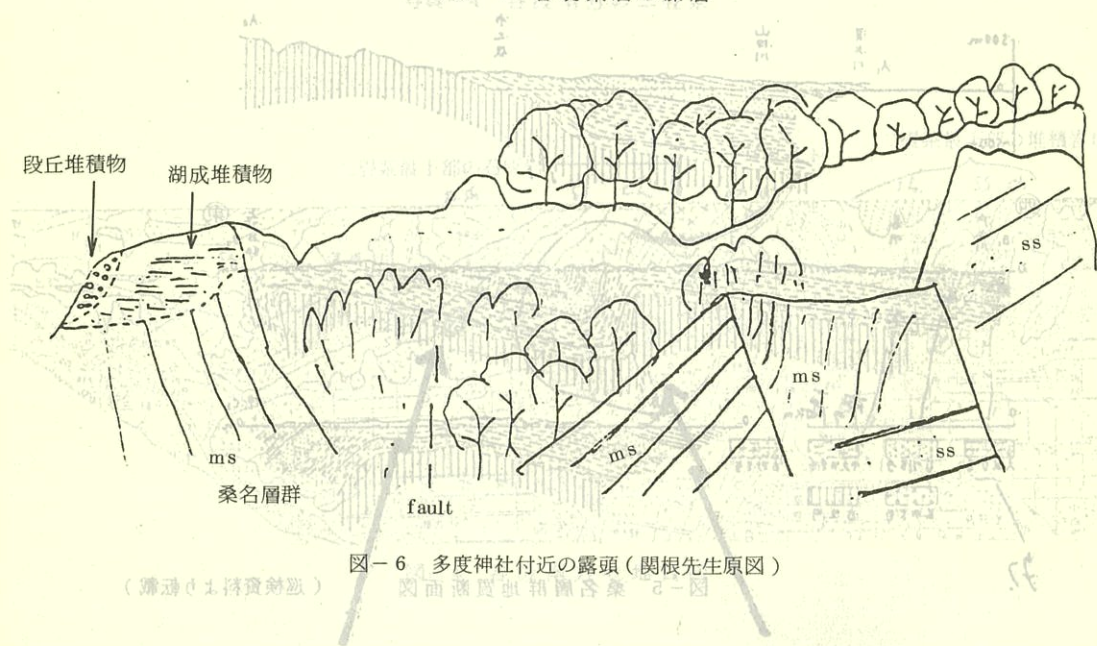


図-6 多度神社付近の露頭 (Quadrangle map of the Muimine Formation at the site of the Manyo Shrine)



写真-7-1 段丘礫層

対称の褶曲構造を示している部分を見学した(図-5、写真-6-1、6-2)。

さらに、近くの土取場において桑名層群・暮明累層の礫層を見学した。採石の結果、写真-7の様に、<sup>くらかみ</sup>急斜面を所々に残しており、斜面のいたる所にガリ侵食が進行している。

2日目の最後は、多度神社の近くで、桑名層群の上に新期の湖成堆積物が不整合で重なり、さらに湖成堆積物の上に段丘堆積物と考えられる礫層が不整合で重なっている露頭を観察した。この段丘堆積物は、礫が風化していわゆるクサリ礫状を呈するが全体の締りは良く、現河床からの比高から考えても、「少なくとも下末吉以前のものではないか」と、関根先生にたずねたところ、「同感、さらに古く多摩ぐらいの可能性もある。」との返事であった(図-6、写真-7-1)。

最後に全体を振り返ってみると、転勤半年目で、名古屋周辺の地質について何も知らない小生にとっては、関根先生にベッタリくつついで歩いた2日間は、実に有意義なものでした。また、今回世話人という大役を仰せ付かったが、それらしき事は何も出来ず、同じ世話人である斎藤善悦氏(川崎地質)や協会の阿部委員長および参加者の皆様に御迷惑をかけ続けた事が悔やされます。また、来年以降参加する機会があれば、ぜひ参加させていただきたいと思っています。

### 〔土と岩 33号〕

○野の○書翰文庫著者

## 原稿募集

〔土と岩 33号〕

1. 論旨 技術発表、現場経験談、土・岩・水に関する論事、その他当協会

に掲載する題目等何でも結構です。

○○○お知らせ○○○

富士山の写真 従来本紙上、応募作品多数の場合は審査を設けます。

4. その他 「土質試験法」(58年度改訂版)土質工学会編。特に紙上署名を

上記スライドを下記協会で貸出いたします。

料金 1回 5,000円

問い合わせ先 土と岩編集部

中部地質調査業協会

電話 262-4828

土と岩発行 別冊付録

(32頁) 販売者: 〒460 名古屋市中区栄二丁目15番1号 日東ビル

中部地質調査業協会編室会員会

TEL 262-4828

。 ( 2 - 0 , 1 - 0 - 真 寿 , 2 - 図 ) お J 半良を代表する J 水多薦曲の森林  
の樹の木一真寿、果樹の口実。技術研修会に参加して、樹脂土の改、さち  
さひすじ日本は食文化の研究と開拓の面臨よりは、J 訓が多面性の  
知識をさち、ひの事で合意不の地質調査協会主催の研修会に参加して、  
東邦地水株式会社の伊藤恒雄  
よへむつ、よりよきと高田の木の木田研修会にて、伊藤恒雄  
初めて巡検に参加させて頂きましたが、講師の関根先生は、巡検の為、1ヶ月も前から現地の予備調査、  
説明資料の準備をされた様で、その御努力には誠に頭の下る思いです。厚く御礼申し上げたいと思います。  
また、受講生の皆様も真摯な態度で終始し、全くすばらしい研修会で、天候にも恵まれ勉強会としては  
申し分ない企画であったと思います。

なお、欲を言えば、小型乗用車1台の先導があると何かと便利で効率もよくなるのではないかと考えま  
す。

末筆乍ら研究委員長はじめ幹事役、世話役の方々の御苦労に対し、心から感謝の意を表する次第です。  
乱筆乱文御許しの程を。

段丘堆積物　湖成堆積物

### 「中部地質調査業協会主催の地質巡検に参加して」

株帝国建設コンサルタント  
地質調査部　磯鷲部見  
邦幸　武富

講会室工賃 ( 姉山支那平 86 ) 著者賃土

今回の巡検はその主題が活断層と地形の関係であり、巡検地もなじみ深い所で、ここで得た知識は今後の仕事に多いに役立つものと思われる。また、地質関係の仕事に従事する多くの人とも語り合うことができて有意義であった。

ただし、個人的に興味のあった“オリリストストローム”に関して、用語の説明程度の解説にとどまることと、巡検を通して、正式な議論の場がなかったことは残念であった。

希望に輝く年を迎え、読者皆様の御多幸を祈り上げます。この「土と岩」は、

過去大いに利用して頂き、感謝にたえません。

御投稿頂きました方々には、厚く御礼申しあげます。次号もどしどし玉稿を賜  
わりますよう御願い申します。

### 広報宣伝委員会

#### 【土と岩 33号】

#### 原稿募集

1. 論旨 技術発表、現場経験談、土・岩・水に関する随筆、その他当協会  
に関する御意見等何でも結構です。
2. 締切日 昭和59年9月末日厳守
3. 発表 次号本紙上、応募作品多数の場合は順次発表致します。
4. その他
  - (イ) 作品には社名、役職名、氏名を明記下さい。特に紙上匿名を  
御希望の方は御指定下さい。
  - (ロ) 応募作品には薄謝を呈します。
  - (ハ) 送り先当協会広報宣伝委員会宛。

土と岩 発行 昭和59年3月

〔32号〕 責任者 〒460 名古屋市中区栄三丁目15番4号 日東ビル

中部地質調査業協会広報宣伝委員会

TEL 262-4828

技術研修会に参加して  
会員名簿

会社名	代表者	住所	電話番号	郵便番号
アオイ地質(株)	鈴木 孝治	名古屋市北区清水1-22-17	(代)(052)951-6371	462
青葉工業㈱名古屋支店	三井 司	名古屋市北区黒川本通4-32+1	(代)(052)915-5331	462
旭谷調査工事(株)	高桑鋼一郎	名古屋市東区徳川1-8-50	(052)935-6762 791-6307	461
飯沼コンサルタント	飯沼 忠道	名古屋市中村区長戸井町4-38	(052)451-8371	453
応用地学研究所 名古屋事務所	内田 豊	名古屋市中村区黄金通2-44 第3コーポ山和1階	(代)(052)482-5161	453
応用地質調査事務所 名古屋事務所	北川 甫	名古屋市守山区大字瀬古字中島 102	(代)(052)798-8321	463
梶谷調査工事(株) 名古屋営業所	今井 修	名古屋市東区樋木町1-2 山吹ビル	(052)962-6678	461
川崎地質㈱名古屋支店	阿部 貞雄	名古屋市名東区藤ヶ丘140-1 日本生命藤ヶ丘ビル	(052)775-6411	465
基礎地盤コンサルタント(株) 名古屋支社	古長 孟彦	名古屋市西区上名古屋1丁目11番 5号	(代)(052)522-3171	451
木村建設㈱名古屋営業所	川合 伸夫	名古屋市中区大須4-14-60 清友ビル	(052)261-6907	460
キンキ地質センター 名古屋事務所	崎川 隆	名古屋市昭和区雪見町1-14	(代)(052)741-3393	466
熊金ボーリング(株)	小林 正四	飯田市大王路1-5	(0265)24-3194	395
京浜調査工事(株) 名古屋営業所	重松 正勝	名古屋市中区正木2-8-4	(052)321-5139 381-4051	460
興亜開発(株)中部支店	堀部 信行	名古屋市天白区天白町大字平針 字下原2630の2	(052)802-3121	468
国際航業(株) 名古屋支店	大里 恭司	名古屋市中区大須4-12-8 東洋殖産ビル	(052)262-7461	460
国土防災技術(株) 名古屋支店	中村 俊彦	名古屋市千種区内山三丁目12番14号 豊島不動産ビル	(052)732-3375	464
栄基基礎調査	鈴木 恵	名古屋市東区新出来2-1-6	(052)935-0702 937-5929	461
サンコーコンサルタント(株) 名古屋支店	野崎 康嗣	名古屋市中村区名駅4-8-10 白川第3ビル	(代)(052)586-2135	450
三祐株式会社名古屋支店	城田 正判	名古屋市中村区名駅南1-1-12	(052)581-7441	450
白石名古屋支店	吉田 静司	名古屋市中区錦1-19-24 名古屋第一ビル	(代)(052)211-5371	460
新東海コンサルタント	中瀬 久	津市江戸橋1-92	(代)(0592)82-2503	514
杉山測量設計(株)	杉山 信行	久居市新町696-2	(05925)5-6564	514-11
西濃建設(株)名古屋支店	榎本 義雄	名古屋市中村区名駅南3-2-11	(代)(052)561-3541	450
大星測量設計	朝倉 邦美	名古屋市瑞穂区弥富町字清水ヶ岡 65	(052)831-9944	467

会社名	代表者	住所	電話番号	郵便番号
玉野総合コンサルタント(株)	小川 義夫	名古屋市中村区竹橋町4-5	(大代)(052)452-1301	453
(株)ダイヤコンサルタント下名古屋支店	春日 明	名古屋市熱田区金山町1-6-12	(代)(052)681-6711	456
中央開発(株)名古屋支店	辻 光	名古屋市中村区牛田通2丁目16番地	(代)(052)481-6261	453
中央復建コンサルタント(株) 名古屋営業所	平手 順夫	名古屋市中区丸の内3-18-12 大興ビル	(052)961-5954	460
中国ボーリング(株) 名古屋営業所	妹尾 俊美	名古屋市名東区猪高町猪子石八前 17-3	(052)773-9281	465
(株)中部ウエルボーリング 社	佐藤 久松	名古屋市千種区東山通5-3	(052)781-2511 781-4131	464
(株)帝国建設コンサルタント	藤岡 俊男	岐阜市青柳町2-10	(0582)51-2176	500
(株)東海地質コンサルタント	鈴木 誠	名古屋市中区栄4-21-17 はやじビル	(052)251-8521	460
東海電気工事(株)	井上丈太郎	名古屋市中区栄1-20-31	(代)(052)221-1111	460
(株)東京ソイルリサーチ 名古屋事務所	開出 尚文	名古屋市中村区名駅2-40-2 名和ビル	(代)(052)571-6431	450
東建地質調査(株) 名古屋支店	野口 文雄	名古屋市南区笠寺町字追間9-2	(代)(052)824-1531	457
東邦地水(株)	伊藤 武夫	四日市市東新町2-23	(代)(0593)81-7311	510
(株)日さく名古屋事業所	川口 義夫	名古屋市中川区富田町大字千音寺 東尼ヶ塚117-2	(代)(052)432-0211	454
日特建設(株)名古屋支店	荒井 勝雄	名古屋市中村区名駅3-21-4 名銀駅前ビル	(代)(052)571-2316	450
日本グラウト工業(株) 名古屋支店	山岸 泰治	名古屋市中村区藤江町2-60	(代)(052)482-3074	453
(株)日本パブリックエンジニアリング名古屋営業所	竹内 増躬	名古屋市中区錦1-6-15 エツワビル	(代)(052)201-5759	460
富士開発(株)	加藤 力三	名古屋市千種区唐山町3-30	(代)(052)781-5871	464
松阪鑿泉(株)	岩本 壽	松阪市五反田町1-1221-5	(代)(0598)21-4837	515
(株)松原工事事務所	松原 英男	名古屋市中区丸の内1-8-9 関山ビル	(代)(052)211-3571	460
松村工業(株)	松村 国夫	岐阜市薮田2-56-1	(0582)71-3912	500
宮本管工(株)	宮本 陽司	四日市市川原町21-12	(代)(0593)81-1291	510
村木鑿泉探鉱(株)	村木 正義	名古屋市熱田区西野町1-2	(052)671-4126	456
明治コンサルタント(株) 名古屋事務所	田村 義雄	名古屋市中区栄1-5-8 藤田ビル	(代)(052)211-2026	460
名峰コンサルタント(株)	谷村 光哉	名古屋市西区花原町59番地	(052)503-1588	452
ライト工業(株)名古屋支店	渡部 啓三	名古屋市中村区畠江通4-22	(代)(052)482-6100	453